

D-262

Природно-математички факултет
Радна заједница заједничких послова
НОВИ САД

Примљено: 10-01-88			
Орг. јед.	Фрм.	Датум	Ст. лист
03	10/2		

UNIVERZITET U NOVOM SADU
PRIRODNO-MATEMATIČKI FAKULTET
INSTITUT ZA FIZIKU

IZRAČUNAVANJE ZONSKE STRUKTURE
"LINEAR MUFFIN-TIN ORBITALS" (LMTO)
METODOM
(Diplomski rad)

BULETINAC KATA

NOVI SAD, 1988.

Ovaj rad je izrađen u
Laboratoriji za teorijsku fiziku
Instituta "Boris Kidrič" u Vinči, pod
rukovodstvom Vukajlović dr Filipa i u
Laboratoriji za teorijsku fiziku
Prirodno-matematičkog fakulteta u
Novom Sadu, pod rukovodstvom Kapor dr
Darka.

Zahvaljujem Kapor dr Darku
i Kapor dr Agneš na podršci i pomoći
koju su mi pružali tokom studija.

SADRŽAJ:

1. Uvod	
2. Schrödinger - ova jednačina za kristal	
2.1. Samousaglašeno rešavanje Schrödinger-ove jednačine	4
2.2. Metodi za izračunavanje zonske strukture	12
3. LMTO metod u ASA sa MTO	
3.1. Konstrukcija MTO	17
3.2. Svojstveni problem u LMTO metodu	26
3.3. Aproksimacija atomskih sfera (ASA)	30
4. Osobine strukturnih konstanti	
4.1. Teorema o razvoju repova MTO	33
4.2. KKR strukturne konstante	34
4.3. Kanonske strukturne konstante	37
4.4. Ewald - ova procedura za izračunavanje strukturnih konstanti	40
5. Programi i rezultati	
5.1. Paket programa LMTO	44
5.2. Program za strukturne konstante STR	44
5.3. Rezultati	49
6. Zaključak	
7. Spisak literature	
Dodatak: Listing programa STR	

U ovom radu se koristi atomski sistem jedinica u kome važi:

$$\hbar = 2m = \frac{e^2}{2} = 1,$$

a jedinica za energiju je $1\text{Ry} = 13.6049 \text{ eV}$ (energija jonizacije atoma vodonika).

1. UVOD

Predmet proučavanja ovog rada je određivanje elektronske zonske strukture kristala. Prvi pokušaji njenog određivanja pojavili su se već nakon zasnivanja kvantne mehanike i kvalitativno dokazivanje postojanja zona preko Schrödingerove jednačine je bio jedan od njenih uspeha, ali se dugo nije dobila kvantitativna teorija.

Bilo je potrebno da prođe više od pola veka da bi se razvile teorije elektronske strukture kakve danas imamo. U tom razdoblju, sve vreme se preplitao razvoj teorije i eksperimentalnih mogućnosti. Dobijani su sve čistiji monokristali, niže temperature, viši pritisci, jača magnetna polja... Razvoj računara danas nam je omogućio računanje zonske strukture sa velikom tačnošću za većinu poznatih kristala. Mogu se čak ispitivati osobine još nesintetizovanih materijala pa tako, i bez eksperimenta, predviđati mogućnosti njihove primene.

Treba naglasiti da se fizika čvrstog stanja dugo razvijala nezavisno od napora usmerenih ka izračunavanju korektne zonske strukture. Pri tome su se, za opisivanje elektronskog sistema, koristili efektivni hamiltonijani sa izvesnim brojem parametara. Izborom određenih vrednosti ovih parametara, opisivane su fizičke osobine konkretnih materijala. U poslednje vreme se radi na ujedinjenju pristupa zasnovanog na konstrukciji efektivnog hamiltonijana i zonskog prilaza. Tako se, zahvaljujući razvoju mnogočestičnih teorija, pojavljuje mogućnost tačnijeg određivanja efektivnog kristalnog potencijala, a prilikom određivanja vrednosti parametara efektivnog hamiltonijana, koriste se rezultati



izračunavanja zonske strukture datih materijala.

Za rešavanje problema elektronske strukture kristala, zbog izuzetno velikog broja interagujućih čestica, potrebno je uvesti niz aproksimacija. Velika razlika u masama elektrona i jona od kojih je izgrađena kristalna rešetka, omogućava nam uvođenje Born-Oppenheimer-ove aproksimacije [1]. Zatim se uvodi model nezavisnih elektrona (jednočestični model), po kome se elektron kreće nezavisno od drugih elektrona u samo-usaglašenom (self-konzistentnom) potencijalu $v(\vec{r})$, koji opisuje interakciju elektrona sa jezgrima i usrednjenu interakciju sa drugim elektronima. Tako se složeni mnogočestični problem sveo na rešavanje Schrödinger-ove jednačine oblika $(-\nabla^2 + v(\vec{r}))\psi(\vec{r}) = E\psi(\vec{r})$. Dva osnovna problema pri rešavanju ove jednačine su kako izabrati potencijal $v(\vec{r})$ i kakav oblik pretpostaviti za talasnu funkciju $\psi(\vec{r})$. Iterativnim postupkom, modifikujući $v(\vec{r})$ u svakom koraku prema rezultatima prethodnog koraka, može se postići dobar stepen usaglašenosti između potencijala $v(\vec{r})$ i talasne funkcije. Takve procedure zahtevaju glomazna računanja koja dugo nisu bila izvodljiva, a u svakom je potreban što realniji potencijal, takav da iteracije budu konvergentne i brze.

Translaciona invarijantnost kristalnog potencijala omogućava nam da izračunavanje zonske strukture svedemo na rešavanje Schrödinger-ove jednačine samo unutar primitivne ćelije realnog, odnosno inverznog prostora. Ta se rešenja spajaju na granicama atomskih poliedara, tako da budu neprekidna i diferencijabilna, čime se dobijaju komplikovani granični uslovi. Slater 1937. [2] uvodi "muffin-tin" (MT)

sferu koju upisuje u svaki atomski poliedar, čime uveliko uprošćava granične uslove.

Pri izračunavanju zonske strukture "linear muffin-tin orbitals" (LMTO) metodom, za rešavanje jednočestične Schrödinger-ove jednačine koristi se MT potencijal koji je sferno simetričan unutar sfera, a u intersticijalnoj oblasti između sfera ima konstantnu vrednost. Talasne funkcije su linearne kombinacije energetski nezavisnih MT orbitala. Počeci razvoja ovog metoda mogu se naći u radovima Andersena [3] iz 1971. godine.

Prve primene LMTO metoda u stvarnim izračunavanjima zonske strukture pojavile su se 1975. u radovima Jepsen-a [4] [5]. Njegovi su rezultati govorili da je tačnost ovog metoda uporediva sa tačnošću ostalih metoda, a vreme računanja je za red veličine manje nego kod drugih. Ovo je učinilo LMTO metod najviše primenjivanim za izračunavanje zonske strukture i najpogodnijim za primenu u našim uslovima.

Cilj ovog rada je proučavanje LMTO metoda u aproksimaciji atomskih sfera (ASA), koji nam je posebno zanimljiv zbog osobine da se može razdvojiti na dva nezavisna dela - strukturni i potencijalni. U radu ćemo ispitivati osobine strukturnih konstanti, koje su nosioci informacija o uticaju konkretne strukture kristala na zonsku strukturu i baviti se njihovim izračunavanjem. Formiraćemo datoteku podataka za proučavanu strukturu, tako da će se podaci iz nje moći koristiti u svim daljim primenama LMTO metoda u ASA.

2. SCHRODINGER-OVA JEDNAČINA ZA KRISTAL

2.1. Samousaglašeno rešavanje Schrödinger-ove jednačine za kristal

Izračunati zonsku strukturu znači pronaći rešenja mnogočestične Schrödinger-ove jednačine koja opisuje ponašanje M elektrona u polju N jezgara:

$$\hat{H} \Phi(\vec{R}_1, \vec{R}_2, \dots, \vec{R}_N, \vec{r}_1, \vec{r}_2, \dots, \vec{r}_M) = E \Phi(\vec{R}_1, \dots, \vec{R}_N, \vec{r}_1, \dots, \vec{r}_M). \quad (2.1)$$

Hamiltonijan ovog problema dat je izrazom:

$$\begin{aligned} \hat{H} = & \sum_{i=1}^N \hat{T}_{\vec{R}_i}^J + \sum_{j=1}^M \hat{T}_{\vec{r}_j}^e + \sum_{i=1}^N \sum_{i'=1}^{i-1} V^{JJ}(\vec{R}_i - \vec{R}_{i'}) + \sum_{j=1}^M \sum_{j'=1}^{j-1} V^{ee}(\vec{r}_j - \vec{r}_{j'}) + \\ & + \sum_{i=1}^N \sum_{j=1}^M V^{eJ}(\vec{r}_j - \vec{R}_i). \end{aligned} \quad (2.2)$$

Ovde smo sa \vec{r}_j i \vec{R}_i obeležili koordinate elektrona i jezgara, respektivno. $\hat{T}_{\vec{R}_i}^J$ je operator kinetičke energije jezgara, $\hat{T}_{\vec{r}_j}^e$ je operator kinetičke energije elektrona, V^{JJ} opisuje interakciju između jezgara, V^{ee} opisuju interakcije između elektrona, a član V^{eJ} interakcije tipa elektron-jezgro.

Elektroni, zbog mnogo manje mase od mase jezgara veoma brzo prate promenu konfiguracije jezgara. Ovo nam omogućava da posmatramo elektronsku strukturu sistema za nepromenljivu konfiguraciju jezgara, što je osnovna ideja Born - Oppenheimer-ove aproksimacije [1]. Tada se prethodni problem svodi na mnogoelektronsku Schrödinger-ovu jednačinu za datu konfiguraciju jezgara:

$$\hat{H}_{el} \psi_{\vec{R}_1, \dots, \vec{R}_N}^+(\vec{r}_1, \dots, \vec{r}_M) = E_{\vec{R}_1, \dots, \vec{R}_N}^l \psi_{\vec{R}_1, \dots, \vec{R}_N}^+(\vec{r}_1, \dots, \vec{r}_M) \quad (2.3)$$

$$\hat{H}_{\text{ext}} = \sum_{j=1}^M \hat{T}_{\vec{r}_j}^2 + \sum_{j=1}^M \sum_{j'=1}^{j-1} v^{ee}(\vec{r}_j - \vec{r}_{j'}) + \sum_{j=1}^M v_{\text{ext}}(\vec{r}_j) \quad (2.4)$$

$$v_{\text{ext}}(\vec{r}_j) = \sum_{i=1}^N v^{eJ}(\vec{r}_j - \vec{R}_i) \quad (2.5)$$

Iako daleko prostiji problem od predhodnog, i ovaj problem zahteva opisivanje ponašanja velikog broja interagujućih čestica ($M \sim 10^{24}$). Ovakvo formulisan, on nije matematički egzaktno rešiv. Zato ćemo ga uprostiti aproksimacijom u kojoj elektron posmatramo kao nezavisnu česticu koja se kreće u polju jezgara i ostalih elektrona. Korišćenjem formalizma funkcionala gustine moguće je dobiti jednoelektronsku sliku za ovakve sisteme. Ovaj formalizam se bazira na dve teoreme Hohenberg-a i Kohn-a [6], koji su razmatrali Hamiltonijam sistema M interagujućih elektrona koji se kreću u spoljašnjem potencijalu $v_{\text{ext}}(\vec{r}_j)$:

$$\hat{H} = \sum_{j=1}^M (-\nabla_j^2) + \sum_{j=1}^M \sum_{j'=1}^{j-1} v^{ee}(\vec{r}_{jj'}) + \sum_{j=1}^M v_{\text{ext}}(\vec{r}_j) \quad (2.6)$$

Prvi član gornjeg izraza predstavlja kinetičku energiju, drugi energiju odbijanja među elektronima, a treći interakciju sa spoljašnjim potencijalom, koja uključuje i elektrostatičku interakciju sa nepokretnim jezgrima.

Prva teorema tvrdi da su spoljašnji potencijal v_{ext} , svojstvena funkcija osnovnog stanja ψ_0 i energija osnovnog stanja $\langle \psi_0 | H | \psi_0 \rangle$ jedinstveni funkcionali elektronske gustine $n(\vec{r})$. Energija osnovnog stanja data je izrazom:

$$\langle \psi_0 | H | \psi_0 \rangle = F[n(\vec{r})] + \int v_{\text{ext}}(\vec{r}) n(\vec{r}) d\vec{r}, \quad (2.7)$$

gde je

$$F [n(\vec{r})] = \langle \psi_0 | \sum_{j=1}^M (-\nabla_j^2) + \sum_{j=1}^M \sum_{j'=1}^{j-1} V^{**} (r_{jj'}) | \psi_0 \rangle. \quad (2.8)$$

U gornjem izrazu može se posebno izdvojiti Hartree-jev član koji opisuje Coulomb-ovu interakciju između elektrona, na sledeći način:

$$F [n(\vec{r})] = \frac{1}{2} \iint \frac{2n(\vec{r}) n(\vec{r}')}{|\vec{r} - \vec{r}'|} d\vec{r} d\vec{r}' + G [n(\vec{r})]. \quad (2.9)$$

Definisali smo još jedan funkcional, $G [n(\vec{r})]$ u koji, pored kinetičke energije elektrona, ulazi i razlika između stvarne energije interakcije i one koja se uračunata u Hartree-jev član. Ta razlika sadrži energiju izmene i korelacije elektrona.

Druga teorema Hohenberg-a i Kohn-a [6] tvrdi da funkcional (2.7) ima minimalnu vrednost kada je $n(\vec{r})$ stvarna elektronska gustina osnovnog stanja i da je ta vrednost jednaka energiji osnovnog stanja. Dakle, kada bismo poznavali funkcional $F[n(\vec{r})]$ bilo bi relativno jednostavno iskoristiti gornju teoremu pa odrediti energije osnovnog stanja i elektronske gustine za bilo koji dati spoljašnji potencijal V_{ext} . Međutim, taj funkcional nije poznat, i sve komplikacije oko rešavanja problema više elektrona vezane su za njegovo određivanje.

Primenom gornjih teorema, izračunavanje zonske strukture kristala svodi se na rešavanje Schrödinger-ove jednačine za elektron koji se kreće u lokalnom potencijalu $V_S(\vec{r})$:

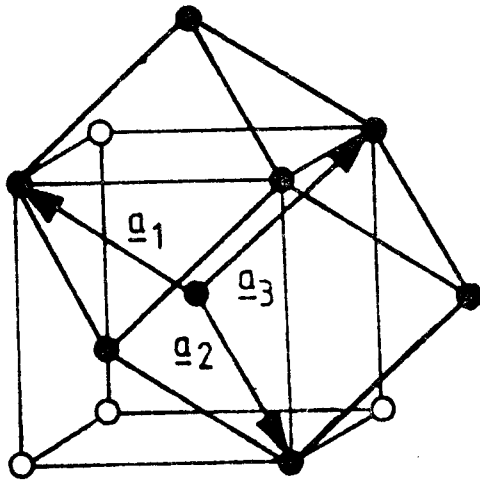
$$(-\nabla^2 + V_S(\vec{r})) \psi_j(\vec{k}, \vec{r}) = E_j(\vec{k}) \psi_j(\vec{k}, \vec{r}). \quad (2.10)$$

Oblik rešenja ove jednačine zavisi od simetrije Hamiltonijana $(-\nabla^2 + V_S(\vec{r}))$, koja je u prvom redu određena članom $V_S(\vec{r})$.

Potencijal u beskonačnom kristalu je invarijantan na translaciju rešetke. Zato se mora primeniti Bloch-ova teorema [8] po kojoj talasna funkcija u trodimenzionalnoj rešetki zadovoljava sledeći uslov:

$$\psi(\vec{r} + \vec{R}) = e^{i\vec{k}\vec{R}} \psi(\vec{r}), \quad (2.11)$$

gde je vektor rešetke $\vec{R} = \sum_i n_i \vec{a}_i$ linearna kombinacija vektora $\{\vec{a}_i\}$ koji definišu primitivnu ćeliju (Sl. 2.1.).



Sl. 2.1.

Translacioni vektori $\{\vec{a}_i\}$ i primitivna ćelija za bcc strukturu

Ovim je problem izračunavanja zonske strukture sveden na traženje svojstvenih vrednosti energije samo unutar primitivne ćelije zapremine $\Omega = \vec{a}_1 \cdot (\vec{a}_2 \times \vec{a}_3)$.

Bloch-ov vektor \vec{k} (2.11) označava jednoelektronska stanja i pripada oblasti recipročnog prostora.

Ako energetske zone i talasne funkcije posmatramo kao funkcije talasnog vektora \vec{k} , videćemo da poseduju translacionu simetriju u recipročnoj rešetki:

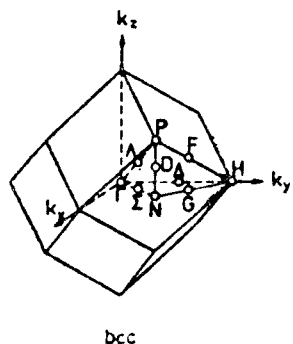
$$E(\vec{k}) = E(\vec{k} + \vec{G}) \quad (2.12)$$

$$\psi(\vec{k}, \vec{r}) = \psi(\vec{k} + \vec{G}, \vec{r})$$

gde je vektor recipročne rešetke $\vec{G} = \sum_j m_j \vec{b}_j$. $\{\vec{b}_j\}$ su trans-

lacioni vektori koji zadovoljavaju uslov $\vec{a}_i \cdot \vec{b}_j = 2\pi \delta_{ij}$.

Posledica ove simetrije je mogućnost ograničenja izračunavanja zonske strukture na primitivnu ćeliju recipročnog prostora (Brillouin-ovu zonu Sl.2.2.). U teoriji grupa se pokazuje da je, zbog postojanja drugih simetrija, dovoljno da se zonska struktura izračuna samo u ireducibilnom delu Brillouin-ove zone.



Sl. 2.2.

Brillouin-ova zona za
bcc strukturu

Pored Bloch-ovog vektora, za opisivanje elektronskih stanja u kristalu koristimo indeks zone j , koji se definiše sledećom relacijom:

$$E_j(\vec{k}) \leq E_{j+1}(\vec{k}) \quad (2.13)$$

Set funkcija $E_j^{\vec{k}}$ zove se energetska zonska struktura datog kristala.

Kohn i Sham [7] su uspeli da odrede jednočestični potencijal $V_S(\vec{r})$ tako da se stvarna gustina elektrona može odrediti znajući rešenja jednoelektronske Schrödinger-ove jednačine (2.10), na sledeći način:

$$n(\vec{r}) = \sum_{j,k}^{\text{occ}} |\psi_j(\vec{k}, \vec{r})|^2 \quad (2.14)$$

Njihova ideja je da se $G[n(\vec{r})]$ predstavi kao:

$$G[n(\vec{r})] = T_S[n(\vec{r})] + E_{xc}[n(\vec{r})], \quad (2.15)$$

gde je $T_S[n(\vec{r})]$ kinetička energija interagujućih elektrona gustine $n(\vec{r})$:

$$T_S[n(\vec{r})] = \sum_{j,k}^{\text{occ}} \int \psi_j^*(\vec{k}, \vec{r}) (-\nabla^2) \psi_j(\vec{k}, \vec{r}) d\vec{r}, \quad (2.16)$$

a $E_{xc}[n(\vec{r})]$ funkcional izmensko - korelacione energije.

Do sada smo izvodili dva izraza, Hartree-jev član u (2.8) i kinetičku energiju u (2.15), koja su važna za jednoelektronsku sliku, ali koji takođe predstavljaju dominantne izraze kod interagujućih sistema.

Razliku između realnih i neinteragujućih sistema predstavlja član $E_{xc}[n(\vec{r})]$. Ako uvedemo aproksimaciju lokalne gustine, koja važi za sporo promenljive gustine i za slučaj velikih gustina, možemo pisati:

$$E_{xc}[n(\vec{r})] = \int \epsilon_{xc}(n(\vec{r})) n(\vec{r}) d\vec{r}. \quad (2.17)$$

Izraz za gustinu izmensko-korelacione energije $\epsilon_{xc}(n(\vec{r}))$ sledi iz teorije homogenog elektronskog gasa gustine $n(\vec{r})$.

Sada se funkcional gustine može napisati u obliku:

$$\langle \psi_0 | H | \psi_0 \rangle = T_S[n(\vec{r})] + \int \left\{ \frac{1}{2} \int \frac{2n(\vec{r}')}{|\vec{r}-\vec{r}'|} d\vec{r}' + v_{\text{ext}}(\vec{r}) + \epsilon_{xc}(n(\vec{r})) \right\} n(\vec{r}) d\vec{r} \quad (2.18)$$

Minimalizacijom izraza (2.18) po $n(\vec{r})$ dobijamo efektivnu jednočestičnu Schrödinger-ovu jednačinu:

$$\left\{ -\nabla^2 + \int \frac{2n(\vec{r}')}{|\vec{r}-\vec{r}'|} d\vec{r}' + v_{\text{ext}}(\vec{r}) + v_{xc}(n(\vec{r})) \right\} \psi_j(\vec{k}, \vec{r}) = E_j(\vec{k}) \psi_j(\vec{k}, \vec{r}) \quad (2.19)$$

Ako ovu jednačinu uporedimo sa jednačinom (2.10), vidimo da se neinteragujući elektroni moraju kretati u efektivnom potencijalu oblika:

$$V_S(\vec{r}) = \int \frac{2n(\vec{r}') d\vec{r}'}{|\vec{r} - \vec{r}'|} + v_{\text{ext}}(\vec{r}) + v_{xc}(n(\vec{r})). \quad (2.20)$$

Ovde je prvi član klasičan Hartree-jev potencijal, drugi je spoljašnji potencijal koji uključuje Coulomb-ovo privlačenje od strane jezgara, a treći je izmensko-korelacioni potencijal dat izrazom:

$$v_{xc}(n(\vec{r})) = \frac{d(n(\vec{r}) \epsilon_{xc}(n(\vec{r})))}{dn(\vec{r})}. \quad (2.21)$$

Spoljašnji potencijal $v_{\text{ext}}(\vec{r})$ u većini slučajeva predstavlja Coulomb-ovo privlačenje od strane jezgara naelektrisanja Z , smeštenih u čvorove rešetke \vec{R} :

$$v_c(\vec{r}) = - \sum_{\vec{R}} \frac{Z}{|\vec{r} - \vec{R}|}. \quad (2.22)$$

Ovome treba dodati potencijal koji potiče od međusobnog odbijanja jezgara:

$$v_n = \frac{1}{2} \sum_{\vec{R}} \sum_{\substack{\vec{R}' \\ \vec{R}' \neq \vec{R}}} \frac{Z^2}{|\vec{R} - \vec{R}'|}. \quad (2.23)$$

U aproksimaciji atomskih sfera (ASA), koju ćemo primeniti pri rešavanju svojstvenog problema (2.19), elektronska gustina je sferno simetrična unutar sfere radijusa S , centrirane u čvoru rešetke. Radijus ove sfere, za kristal sa jednim atomom po primitivnoj ćeliji, definiše se relacijom:

$$\Omega = \frac{4}{3} \pi S^3. \quad (2.24)$$

Gustina elektrona u kristalu u tački \vec{r} tada je:

$$n(\vec{r}) = \sum_{\vec{R}} n(|\vec{r} - \vec{R}|, S) \Theta(|\vec{r} - \vec{R}| - S),$$

gde je $n(r)$ elektronska gustina unutar sfere radijusa S .

U slučaju jednog atoma po primitivnoj ćeliji broj elektrona u atomskoj sferi je Z , pa kada (2.22) i (2.23) uvrstimo u funkcional energije (2.18), nalazimo [9] da se elektrostatičke interakcije redukuju na interakcije sa poljem jezgara $-\frac{2Z}{r}$ koje sada predstavlja spoljašnji potencijal $v_{\text{ext}}(\vec{r})$. Pošto se ova interakcija svela na sferu, možemo minimalizovati funkcional energije (po atomu):

$$\langle \phi | H | \phi \rangle = T_S[n(r)]_{\text{ASA}} + \int \left\{ \frac{1}{2} v_H(r) - \frac{2Z}{r} + \epsilon_{xc}(n(r)) \right\} n(r) d\vec{r}. \quad (2.25)$$

Ovde se integracija vrši po sferi radijusa S , a Hartree-jev potencijal $v_H(r)$ definiše se sledećom relacijom [9]:

$$v_H(r) = \int_S \frac{2n(\vec{r}')}{|\vec{r} - \vec{r}'|} d\vec{r}'. \quad (2.26)$$

Minimalizacijom (2.25) po $n(r)$ dobija se jednoelektronska Schrodinger-ova jednačina oblika (2.10), koja važi unutar svake atomske sfere, a efektivni jednoelektronski potencijal dat je izrazom:

$$V_S(r) = v_H(r) - \frac{2Z}{r} + v_{xc}(n(r)). \quad (2.27)$$

Elektronska zonska struktura za dati kristal dobija se "šivenjem" rešenja (2.10) i (2.27) od sfere do sfere.

Kinetička energija $T_S[n(r)]$, (2.25), dobija se iz (2.10) i (2.27) i ima oblik:

$$T_S[n(r)] = \sum_{j, \vec{k}}^{\text{occ}} E_j(\vec{k}) - \int_S V_S(r) n(r) d\vec{r}. \quad (2.28)$$

Kako efektivni jednoelektronski potencijal (2.27) zavisi

od elektronske gustine koju želimo da nađemo, moramo samo-
 usaglašeno rešiti problem, koristeći jednačine (2.10), (2.14),
 (2.21), (2.26) i (2.27). U početku samosaglasne procedure za
 gustinu elektrona $n(r)$ uzima se elektronska gustina u
 slobodnom atomu normirana na atomsku sferu radijusa S . Sa tom
 gustinom izračunava se zonska struktura pomoću LMTO metoda.
 Zatim se odredi elektronska gustina koju koristimo za
 konstrukciju novog jednoelektronskog potencijala (2.27). Tako
 se zatvara jedna petlja u self - konzistentnom procesu koji se
 prekida kada se, do nivoa dozvoljene greške, usaglase
 elektronske gustine iz dve uzastopne iteracije.

2.2. Metodi za izračunavanje zonske strukture

Pre nego što pređemo na proučavanje LMTO metoda, reći
 ćemo nešto uopšteno o svim metodama za izračunavanje zonske
 strukture i pokušati da objasnimo zašto smo se opredelili baš
 za ovaj metod. Pri tome ćemo imati na umu sledeće osnovne
 zahteve koje ovi metodi treba da ispune:

- a) fizička transparentnost,
- b) numerička preciznost,
- c) primenljivost na sve atome periodnog sistema elemenata
- i d) primenljivost na realne strukture npr. kristale sa vi-
 še atoma po primitivnoj ćeliji, kristale sa nečistoćama...

Svi metodi izračunavanja zonske strukture zasnivaju se na
 razvijanju talasne funkcije po nekom bazu, što se može
 prikazati na sledeći način:

$$\psi = \sum_i a_i \chi_i \quad (2.29)$$

Prvo što pada na pamet je razvoj po ravnim talasima. Ovakav prilaz ima ozbiljan nedostatak. Naime, nemoguće je dobiti korektan oblik talasne funkcije u blizini jezgra bez uvođenja velikog broja ravnih talasa malih talasnih dužina i visokih energija. Ako se ravni talasi ortogonalizuju na stanja atomske kore, ovaj nedostatak se otklanja i dobija se "orthogonalised plane wave" (OPW) metod. Atomsku koru čine jezgro i unutrašnje ljuske popunjene elektronima. Stanja atomske kore definisana su izrazima (3.23). Ortogonalizacija može biti ugrađena u obliku repulzivnog doprinosa potencijalu u oblasti jezgra i tada se OPW metod pretvara u često primenjivanu teoriju pseudopotencijala. Osnovna ideja ove teorije je da valentni elektroni, umesto kristalnog potencijala, osećaju znatno slabiji efektivni potencijal - pseudopotencijal. On je toliko slabiji od kristalnog potencijala da ne uspeva da stvori vezana stanja, zbog čega se na lak način može opisati ponašanje valentnih elektrona. Poslednjih godina postoji velika aktivnost na zasnivanju tzv. "ab-initio" pseudopotencijala. Postoje izračunati ovi pseudopotencijali za skoro sve elemente periodnog sistema. Ipak, za primenu ovog, potrebni su moćni računari tipa Cray, pa za većinu istraživačkih centara u svetu nije ispunjen zahtev br.2.

Prema zavisnosti bazisnih funkcija χ_i od energije, metode za izračunavanje zonske strukture možemo podeliti na linearne i nelinearne. Prva grupa metoda za dobijanje sekularne jednačine obično koristi varijacioni princip za Schrödinger-ovu jednačinu sa fiksnim bazisnim funkcijama koje ne zavise od energije. Sekularna jednačina je linearna po energiji:

$$(\underline{H} - E\underline{Q})_{ij} a_{ij} = 0 \quad (2.30)$$

Nelinearni metodi se uglavnom baziraju na razlaganju talasne funkcije po tzv. parcijalnim talasima, koji zavise od energije. Ovi metodi sekularnu matricu obično dobijaju primenom "tail cancellation" [9] teoreme, i ona ima sledeći oblik:

$$\underline{M}(E)_{ij} a_{ij} = 0 \quad (2.31)$$

Najpoznatiji nelinearni metodi su celularni, "augmented plane wave" (APW) i "The Korringa - Kohn - Rostoker" (KKR) metodi. Svi oni se uspešno mogu koristiti za široki spektar materijala. Ipak, sekularna jednačina (2.31) je zbog svoje nelinearnosti komplikovanija od jednačine (2.30) i njeno rešavanje zahteva vreme za red veličine duže od onog koje je potrebno da se reši sistem (2.30).

Najviše upotrebljavani linearni metodi su "linear APW" i LMTO metod. Od ova dva metoda, prvi je primenljiv na širi spektar materijala, njegova tačnost je velika i može se koristiti na velikim opsezima energija. To je zato što se uz bazisni set, koji se sastoji od ravnih talasa, mogu lako uključiti i doprinosi potencijalu koji nisu uračunati u MT potencijal. Ali, kada su prisutne d zone, ponašanje u intersticijalnoj oblasti ne može se opisati sa manje od 25-30 ravnih talasa po atomu. U ovom slučaju je LMTO metod daleko efikasniji jer je potrebno samo devet s,p i d MT orbitala po atomu, što omogućava veliku brzinu izračunavanja. Ali, pošto metod ima grešku proporcionalnu sa $(E - V_{MTZ})^2$, može se koristiti samo za gusto pakovane rešetke i ograničenu oblast energije.



U LMTO metodu su ujedinjene dobre osobine metoda fiksnih bazisa nezavisnih od energije i metoda parcijalnih talasa. Ovaj metod koristi fiksni bazis u obliku MT orbitala. Te orbitale su svugde neprekidne i diferencijabilne, a konstruisane su od parcijalnih talasa $\phi_l(E_\nu, r)$ i njihovih prvih izvoda po energiji $\phi_l(E_\nu, r) = \left. \frac{\partial \phi_l(E, r)}{\partial r} \right|_{E=E_\nu}$, uzetih u zadatoj vrednosti energije E_ν , koja je za nas od interesa.

LMTO metod ima još jednu izrazitu pogodnost. Njegova sekularna jednačina se može podeliti na dva nezavisna dela: deo koji zavisi samo od potencijala i deo koji zavisi samo od strukture kristala. Potencijal u LMTO metod ulazi samo preko funkcija oblika $\frac{S \phi_l'(E, S)}{\phi_l(E, S)}$, tj. preko parametara koji se formiraju pomoću ovih, energetski zavisnih funkcija, definisanih u Glavi 3. ovog rada.

Struktura kristala opisana je veličinama koje ćemo zvati strukturnim konstantama, o kojima ćemo detaljno govoriti u ovom radu. Strukturne konstante se izračunavaju samo jednom u self - konzistentnom procesu izračunavanja zonske strukture.

Posebna pogodnost LMTO metoda u ASA aproksimaciji, kojim se mi bavimo, je u tome što strukturne konstante postaju nezavisne od energije i od dimenzija primitivne ćelije kristala. Takve strukturne konstante nazivamo kanonskim. Znači da sada, ako imamo izračunate strukturne konstante za određenu kristalnu strukturu, možemo te podatke koristiti u svim izračunavanjima zonske strukture za taj tip strukture kristala. Ovim se uveliko dobija na brzini i jednostavnosti izračunavanja zonske strukture.

U ovom radu će biti izračunate matrice strukturnih konstanti za zapreminski centriranu kubnu (bcc) strukturu. U svim primenama LMTO metoda, ove se matrice mogu koristiti bez ponovnog računanja.

3. LMTO METOD U ASA SA MTO

3.1. Konstrukcija MTO

Pored toga što poseduje tačnu translacionu simetriju, potencijal $V_0(\vec{r})$ poseduje i lokalnu približnu sfernu simetriju, koja je naročito izražena u blizini atoma i slična je kao u slučaju slobodnog atoma. U gusto pakovanim rešetkama, koje ćemo mi proučavati, potencijal $V_0(\vec{r})$ možemo smatrati konstantnim u prostoru između atoma, što znači da se sferna simetrija potencijala proširuje i na prostor izvan atomskog poliedra. Ovo nam omogućava da potencijal $V_0(\vec{r})$ aproksimiramo potencijalom sledećeg analitičkog oblika:

$$V_{MT}(r) = \begin{cases} v(r) - V_{MTZ} & , \quad r \leq S_{MT} \\ 0 & , \quad r \geq S_{MT} \end{cases} \quad (3.1)$$

Ovakav potencijal, koji zovemo "muffin-tin" potencijalom (MT potencijal), prikazan je na Sl. 3.1.

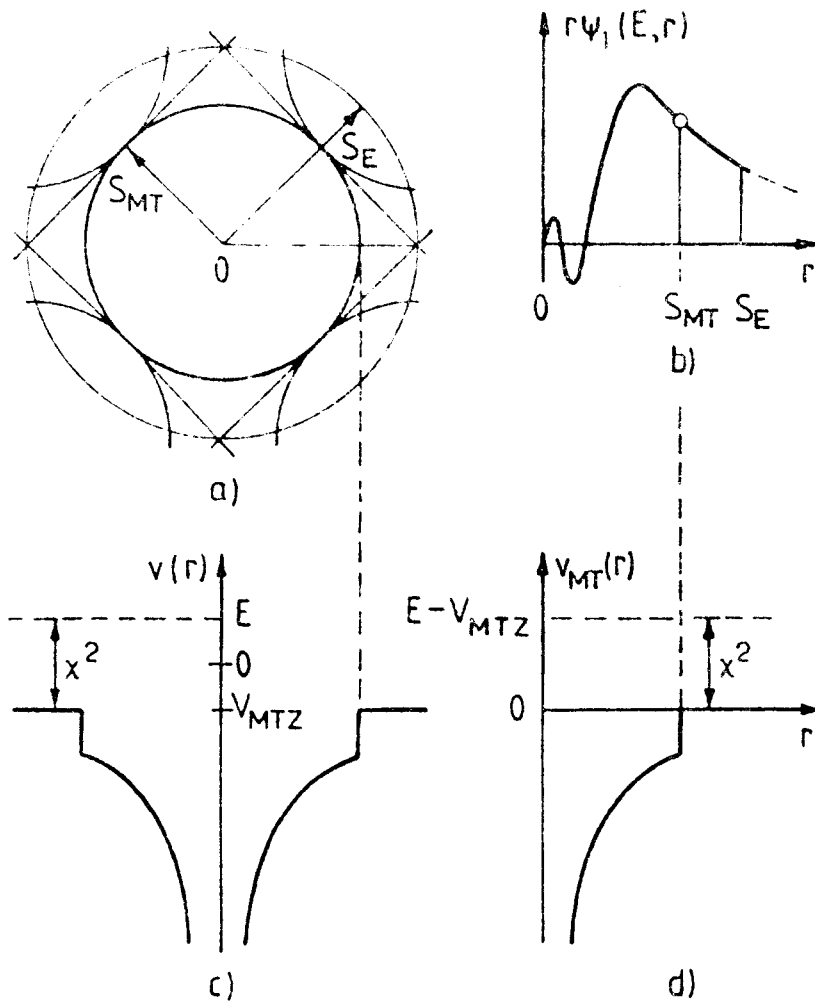
Schrödinger-ova jednačina (2.10) će sada imati sledeći oblik:

$$(-\nabla^2 + \sum_{\vec{R}} V_{MT}(|\vec{r} - \vec{R}|) - \kappa^2) \psi_j(\vec{r}, \vec{r}) = 0 \quad (3.2)$$

pri čemu se sumiranje vrši po svim čvorovima kristala, a kinetička energija u intersticijalnoj oblasti je:

$$\kappa^2 = E - V_{MTZ} \quad (3.3)$$

Ova aproksimacija važi samo ako je talasna dužina $\frac{2\pi}{\kappa}$ velika u poređenju sa rastojanjem $S_{MT} - S_E$ na Sl. 3.1.a), tj. širinom intersticijalne oblasti. Kako su nama interesantni uglavnom elektroni čija je kinetička energija između $-1Ry$ i



Sl. 3.1. "Muffin-tin" aproksimacija

- a) "muffin-tin" sfera radijusa S_{MT} , elementarna ćelija opisana sfera oko nje, radijusa S_E
- b) radijalna talasna funkcija
- c) "muffin-tin" deo kristalnog potencijala $v(r)$
- d) MT potencijal

+1Ry, gornji kriterijum će u svim gusto pakovanim kristalima biti ispunjen.

Aproksimacija MT potencijalom veoma uprošćava traženje rešenja za $r > S_{MT}$ zato što komplikovano "šivenje" rešenja na poliedru sada postaje daleko jednostavnije "šivenje" na sferi.

Za konstruisanje MTO potrebna su nam rešenja Schrödinger-ove jednačine za kretanje elektrona u izolovanom MT potencijalu:

$$(-\nabla^2 + V_{MT}(r) - \kappa^2) \psi_L(E, \vec{r}) = 0 \quad (3.4)$$

za sve vrednosti κ^2 , tj. kontinualna i vezana stanja. U ovom slučaju sferna simetrija važi za ceo prostor, pa ćemo rešenja tražiti u sledećem obliku:

$$\psi_L(E, \vec{r}) = i^l Y_l^m(\hat{\vec{r}}) \psi_l(E, r) \quad (3.5)$$

gde je $\hat{\vec{r}} = \frac{\vec{r}}{|\vec{r}|}$ ort vektora, i^l je fazni faktor sfernih

harmonika u konvenciji Condon-a i Shortley-a. $Y_l^m(\hat{\vec{r}})$ su sferni harmonici. Indeks L je skraćenica za l, m.

Unutar MT potencijalne jame rešenje mora biti regularno u koordinatnom početku i njegov radijalni deo se dobija numeričkim rešavanjem radijalne Schrödinger-ove jednačine:

$$\left(-\frac{d^2}{dr^2} + \frac{l(l+1)}{r^2} + V_{MT}(r) - \kappa^2\right) r \psi_l(E, r) = 0 \quad (3.6)$$

U oblasti konstantnog potencijala rešenja jednačine (3.4) su sferni talasi talasnog broja κ , čiji radijalni delovi zadovoljavaju jednačinu:

$$\left(-\frac{d^2}{dr^2} + \frac{l(l+1)}{r^2} - E \right) r y_l(\kappa r) = 0 \quad (3.7)$$

Ovo je Helmholtz-ova talasna jednačina koja ima dva linearno nezavisna rešenja, za koja možemo uzeti sferne Bessel-ove $j_l(\kappa r)$ i Neumann-ove $n_l(\kappa r)$ funkcije. Navešćemo neke asimptotske osobine ovih funkcija:

$$\left. \begin{aligned} j_l(\kappa r) &\rightarrow \frac{(\kappa r)^l}{(2l+1)!!} \\ n_l(\kappa r) &\rightarrow -\frac{(2l-1)!!}{(\kappa r)^{l+1}} \end{aligned} \right\} \text{ za } \kappa r \rightarrow 0 \quad (3.8)$$

$$\left. \begin{aligned} j_l(\kappa r) &\rightarrow \frac{\sin(\kappa r - \frac{l\pi}{2})}{\kappa r} \\ n_l(\kappa r) &\rightarrow -\frac{\cos(\kappa r - \frac{l\pi}{2})}{\kappa r} \end{aligned} \right\} r \rightarrow \infty \quad (3.9)$$

Rešenja jednačine (3.4) zvaćemo parcijalnim talasima. Formiraćemo ih "šivenjem" rešenja jednačine (3.7) za intersticijalnu oblast sa rešenjem jednačine (3.6) unutar MT sfere na granici sfere:

$$\psi_L(E, \kappa, \vec{r}) = i^l Y_l^m(\hat{r}) \begin{cases} \psi_l(E, r), & r \leq S_{MT} \\ \kappa(n_l(\kappa r) - \cot(\eta_l) j_l(\kappa r)), & r \geq S_{MT} \end{cases} \quad (3.10)$$

Iz asimptotike (3.9) sledi da se parcijalni talas za veliko r ponaša kao sferni talas čija je faza, zbog MT potencijala, pomeren za η_l , tj.:

$$\psi_l(E, \kappa, r) \underset{r \rightarrow \infty}{\sim} - \frac{\sin(\kappa r + \eta_l - \frac{l\pi}{2})}{r \sin(\eta_l)}.$$

Zato se η_l zove fazni pomeraj.

Kako je (3.4) diferencijalna jednačina drugog reda, biramo $\psi_l(E, S_{MT})$ i $\cot(\eta_l)$ tako da parcijalni talas bude svuda neprekidan i diferencijabilan:

$$\cot(\eta_l(E, \kappa)) = \frac{n_l(\kappa r)}{j_l(\kappa r)} = \frac{D_l(E) - \kappa r \frac{n_l'(\kappa r)}{n_l(\kappa r)}}{D_l(E) - \kappa r \frac{j_l'(\kappa r)}{j_l(\kappa r)}} \Bigg|_{r=S_{MT}} \quad (3.11)$$

Ovde je $D_l(E)$ logaritamski izvod funkcije $\psi_l(E, r)$, definisan sledećim izrazom:

$$D_l(E) = \frac{S_{MT}}{\psi_l(E, S_{MT})} \frac{\partial \psi_l(E, r)}{\partial r} \Bigg|_{r=S_{MT}}. \quad (3.12)$$

Rešenja (3.10) još ne možemo koristiti kao bazisne funkcije zato što zavise od energije i zato što se za $\kappa^2 < 0$ mogu normirati samo za svojstvene vrednosti energije u potencijalnoj jami.

Da bi se napravili parcijalni talasi normalizabilni za sve vrednosti κ^2 , dodaje se sferna Bessel-ova funkcija, čime se otklanja deo koji uslovljava divergentnost integrala. Tako se dobijaju energetski zavisne "muffin-tin" orbitale (MTO):

$$\chi_L(E, \kappa, \vec{r}) = i^L Y_L^m(\hat{\vec{r}}) \begin{cases} \psi_l(E, r) + \kappa \cot(\eta_l) j_l(\kappa r), & r \leq S_{MT} \\ \kappa n_l(\kappa r) & , \quad r \geq S_{MT}. \end{cases} \quad (3.13)$$

Važno je primetiti da je funkcija unutar MT sfere regularna u koordinatnom početku, a da je rep $\kappa n_l(\kappa r)$

regularan u beskonačnosti.

Zbog prisustva sferne Bessel-ove funkcije u MT sferi, MT orbitale definisane na ovaj način nisu više svojstvene funkcije za MT potencijal $V_{MT}(r)$, izuzev za vezana stanja i za slučaj kada je konstanta integracije (3.11) jednaka nuli.

Međutim Bloch-ove sume za $\psi_l(E, \kappa, \vec{r})$ i $\chi_l(E, \kappa, \vec{r})$ su identične, jer je njihova razlika jednaka Bloch-ovoj sumi sfernih Bessel-ovih funkcija, koja je jednaka nuli za sve vrednosti osim za parabolu slobodnog elektrona $|\vec{k} + \vec{G}| = \kappa^2$.

Da bi se mogle koristiti u varijacionoj proceduri, pomoću koje se dobija sekularna jednačina linearna po energiji, MTO ne smeju zavisiti od energije. Pored toga, bazisne funkcije moraju biti ortogonalne na stanja kore, kako svojstvene vrednosti ne bi konvergirale na ta stanja. Kako svakve MTO ne ispunjavaju gornje uslove, ne može ih koristiti za bazisne funkcije.

Po definiciji (3.13) amplituda orbitale $\kappa n_l(\kappa S_{MT})$ i njen logaritamski izvod na sferi $\kappa S_{MT} \frac{n_l'(\kappa S_{MT})}{n_l(\kappa S_{MT})}$, kao u ceo njen rep zavise od energije samo preko κ . Ako bismo mogli da zanemarimo vezu (3.3) i da fiksiramo κ na neku pogodnu vrednost, zavisnost repa od energije bila bi potisnuta. Kako sve to važi na sferi, zbog neprekidnosti neće ni "unutrašnja" orbitala na sferi zavisiti od energije, tako da će energetska zavisnost orbitale unutar sfere biti skoro potpuno potisnuta.

Po konstrukciji su parcijalni talas (3.10) i MTO (3.13) svugde neprekidni i diferencijabilni, a fazni pomak (3.11) održava te osobine za svaku vrednost E i κ^2 , nezavisno od

njihove međusobne veze. Štaviše, parcijalni talas je rešenje Schrödinger-ove jednačine (3.4) u celom prostoru ako važi (3.3). U tom slučaju κ^2 je tačna kinetička energija u oblasti konstantnog potencijala, a η_l je funkcija samo od E.

Znači, možemo definisati neprekidne i diferencijabilne talasne funkcije čak i kada (3.3) nije ispunjeno i rep nije tačno rešenje Schrödinger-ove jednačine u oblasti sa konstantnim potencijalom. Nadalje ćemo energiju orbitale E i talasni broj repa κ tretirati kao potpuno nezavisne veličine, fiksiraćemo κ na neku pogodnu vrednost i koristiti linearnu kombinaciju ovakvih orbitala u varijacionoj proceduri.

Sada ćemo proširiti MTO (5.13). Može se pokazati da tako proširene:

$$\chi_L(E, \kappa, \vec{r}) = i^l Y_l^m(\hat{r}) \begin{cases} \psi_l(E, r) + \kappa \cot(\eta_l) J_l(\kappa r), & r \leq S_{MT} \\ \kappa N_l(\kappa r) & , r \geq S_{MT} \end{cases} \quad (3.17)$$

za poseban izbor Bessel-ovih i Neumann-ovih funkcija $J_l(\kappa r)$ i $N_l(\kappa r)$, mogu postati energetski nezavisne oko neke fiksirane energije E_ν sa tačnošću do prvog reda po $(E - E_\nu)$.

Simultano, MTO postaju ortogonalne na stanja kore, čime se osigurava da LMTO metod neće konvergirati na svojstvene vrednosti kore.

Treba obratiti pažnju na to da kada se κ fiksira, sferne Bessel-ove i Neumann-ove funkcije više nisu rešenje Schrödinger-ove jednačine (3.6) za konstantan potencijal. Tako sada one mogu biti proširene pogodnim funkcijama koje im se pridružuju na sferi, održavajući pri tome neprekidnost i diferencijabilnost.

Za konstrukciju energetski nezavisnih MIO koristi se takozvani $(\phi, \dot{\phi})$ formalizam Andersena, detaljno opisan u literaturi [9]. On se, ukratko, sastoji u tvrđenju da se radijalna probna talasna funkcija sa proizvoljnim logaritamskim izvodom D na granici sfere može, sa tačnošću do prvog reda po $(E - E_{\nu})$, predstaviti u obliku:

$$\begin{aligned} \phi_l(D, r) &= \phi_{\nu l}(r) + \omega_l(D) \dot{\phi}_{\nu l}(r) \\ \omega_l(D) &= - \frac{\phi_{\nu} D - D_{\nu}}{\dot{\phi}_{\nu} D - D_{\nu}}, \end{aligned} \quad (3.18)$$

pri čemu smo koristili oznake: $\phi_{\nu} \equiv \phi_{\nu}(S)$ i $\dot{\phi}_{\nu} \equiv \dot{\phi}_{\nu}(S)$.

Veza $\phi_{\nu l}(r)$ i radijalne funkcije $\psi_{\nu l}$ je sledeća:

$$\phi_{\nu l}(E_{\nu l}, r) = \frac{\psi_l(E_{\nu}, r)}{\sqrt{\langle \psi_l^2(E_{\nu l}, r) \rangle}} \quad (3.19)$$

$$(\hat{H} - E_{\nu l}) | \psi_l(E_{\nu}, r) \rangle = 0. \quad (3.20)$$

Pri tome je ϕ_l normirano na jedinicu unutar sfere radijusa S (uzima se da je $S_{MT} \equiv S$), jer je:

$$\langle \psi_l^2(E, r) \rangle = \int_0^S \psi_l^2(E, r) r^2 dr. \quad (3.21)$$

Veličine $\phi_{\nu l}$, $\dot{\phi}_{\nu l}$, $D_{\nu l}$ i $D_{\nu l}^{\cdot}$ definisane su na sledeći način:

$$\begin{aligned} \text{a) } \phi_{\nu l}(r) &= \phi_l(E_{\nu l}, r) & \text{c) } D_{\nu l} &= \frac{S \phi_{\nu l}'(S)}{\phi_{\nu l}(S)} \\ \text{b) } \dot{\phi}_{\nu l}(r) &= \left. \frac{\partial \phi_l(E, r)}{\partial E} \right|_{E=E_{\nu l}} & \text{d) } D_{\nu l}^{\cdot} &= \frac{S \dot{\phi}_{\nu l}'(S)}{\dot{\phi}_{\nu l}(S)} \end{aligned} \quad (3.22)$$

gde je $' \equiv \frac{\partial}{\partial r}$.

Može se pokazati da su ϕ_{ν} i $\dot{\phi}_{\nu}$ međusobno ortogonalne

funkcije, ali i da su ortogonalne stanjima atomske kore $\phi_n(r)$, koja su definisana na sledeći način:

$$\begin{aligned} \hat{H}|\phi_n\rangle &= E_n|\phi_n\rangle \\ D\{\phi_n\} &= D_\nu, \quad n \neq \nu \\ \phi_n(S) &\ll \phi_\nu(S) \end{aligned} \quad (3.23)$$

Pobrojane osobine $(\phi, \dot{\phi})$ formalizma nam dopuštaju da tvrdimo da ćemo, ako dodamo funkciji $\psi_{\nu l}$ funkciju $\dot{\psi}_{\nu l}$ (do na koeficijent), dobiti energetske nezavisne MTO. Detaljan dokaz ovog tvrdjenja može se naći u literaturi [9].

Konačan oblik energetske nezavisnih MTO je sledeći:

$$\chi_L(\kappa, \vec{r}) = i^L Y_L^m(\hat{r}) \begin{cases} \frac{\kappa n_L(\kappa S)}{\phi_L(D\{n_L\}, S)} \phi_L(D\{n_L\}, r), & r \leq S_{MT} \\ \kappa N_L(\kappa r) & , r \geq S_{MT} \end{cases} \quad (3.24)$$

gde je $\phi_L(D\{n_L\}, S)$ definisano izrazom (3.18) tako što je D zamenjeno logaritamskim izvodom sferne Neumann-ove funkcije n_L na sferi radijusa S .

Proširena sferna Neumann-ova funkcija data je izrazom:

$$N_L(\kappa, \vec{r} - \vec{R}) = \begin{cases} 4\pi \sum_{L' L''} C_{LL' L''} J_{L'}(\kappa, \vec{r} - \vec{R}') n_{L''}^*(\kappa, \vec{R} - \vec{R}') \left\{ \begin{array}{l} \text{za } |\vec{r} - \vec{R}'| \leq S_{MT} \\ \forall \vec{R}' \neq \vec{R} \end{array} \right. \\ n_L(\kappa, \vec{r} - \vec{R}) \quad \text{u ostalim slučajevima,} \end{cases} \quad (3.25)$$

a proširena sferna Bessel-ova funkcija ima oblik:

$$J_L(\kappa r) = \begin{cases} \frac{J_L(\kappa S)}{\phi(D\{J_L\}, S)} \phi(D\{J_L\}, r), & r \leq S_{MT} \\ J_L(\kappa r) & , r \geq S_{MT} \end{cases} \quad (3.26)$$

$C_{LL' L''}$ su Gaunt-ovi koeficijenti. O njima ćemo detaljnije

govoriti u sledećoj glavi.

Izrazima (3.24) - (3.26) definisali smo energetski nezavisne MTO koje imaju sledeće osobine:

- a) ne zavise od energije,
- b) svuda su neprekidne i diferencijabilne funkcije i
- c) ortogonalne su na stanja atomske kore.

Prema tome, ove orbitale su pogodan izbor za bazisne funkcije.

3.2. Svojtveni problem u LMTO metodu

Rešenja Schrödinger-ove jednačine (3.2) tražićemo u obliku linearne kombinacije MTO:

$$\psi_j(\vec{k}, \vec{r}) = \sum_L a_L^{\vec{k}} \chi_L^{\vec{k}}(\kappa, \vec{r}), \quad (3.27)$$

gde smo uveli Bloch-ovu sumu MTO:

$$\chi_L^{\vec{k}}(\kappa, \vec{r}) = \sum_{\vec{R}} e^{i\vec{k}\vec{R}} \chi_L(\kappa, \vec{r} - \vec{R}). \quad (3.28)$$

Ovakav, policentrični, razvoj može se predstaviti kao razvoj po talasnim funkcijama centriranim u jednom centru, na sledeći način:

$$\chi_L^{\vec{k}}(\kappa, \vec{r}) = \chi_L(\kappa, \vec{r}) + \sum_{L'} J_{L'}(\kappa, \vec{r}) B_{L', L}^{\vec{k}}(\kappa), \quad (3.29)$$

pri čemu su $B_{L', L}^{\vec{k}}(\kappa)$ tzv. KKR strukturne konstante čije je oblik dat relacijama:

$$B_{L', L}^{\vec{k}}(\kappa) = 4\pi \sum_{L''} C_{LL'L''} \sum_{\vec{R} \neq 0} e^{i\vec{k}\vec{R}} \kappa n_{L''}^*(\kappa, \vec{R}) \quad (3.30)$$

$$\begin{aligned}
C_{LL'L''} &= \int d\Omega Y_l^m(\hat{r}) Y_{l'}^{m'}(\hat{r}) Y_{l''}^{m''}(\hat{r}) = \\
&= \left(\frac{2l''+1}{4\pi}\right)^{1/2} c^{l''}(l'm'; lm). \quad (3.31)
\end{aligned}$$

$$c^{l''}(l'm', lm) = \left(\frac{2l'+1}{2l'+1}\right)^{1/2} A_{\begin{smallmatrix} l'' & l & l' \\ o & o & o \end{smallmatrix}} A_{\begin{smallmatrix} l'' & l & l' \\ m'' & m & m' \end{smallmatrix}}.$$

A su Clebsch - Gordon-ovi koeficijenti.

Detaljno izvođenje gornjeg tvrdjenja može se pronaći u Glavi 4.2. ovog rada.

Primenom Rayleigh - Ritz-ovog varijacionog principa

$$\delta (\langle \psi | H - E | \psi \rangle) = 0, \quad (3.32)$$

na linearnu kombinaciju (3.27) dobija se sledeći, homogen sistem linearnih jednačina:

$$\sum_L \alpha_L^{\vec{k}} \langle \chi_L^{\vec{k}} | H - E | \chi_L^{\vec{k}} \rangle = 0. \quad (3.33)$$

Ovaj sistem ima netrivialna rešenja kada je ispunjen sledeći uslov:

$$\det \left\{ \langle \chi_L^{\vec{k}} | H - E | \chi_L^{\vec{k}} \rangle \right\} = 0. \quad (3.34)$$

Kako su MTO svugde neprekidne i diferencijabilne, možemo integral po celom prostoru, iz (3.33), razbiti na sumu integrala po atomskim poliedrima. Posle primene Bloch-ovog razvoja i preuređenja sume po rešetki, dobija se sledeći rezultat:

$$\frac{1}{N} \langle \chi_L^{\vec{k}} | H - E | \chi_L^{\vec{k}} \rangle = \langle \chi_L^{\vec{k}} | H - E | \chi_L^{\vec{k}} \rangle_0. \quad (3.35)$$

Integracija na desnoj strani provodi se samo po poliedru centriranom u koordinatnom početku.

Sekularna matrica se sada dobija ubacivanjem razvoja (3.29) u gornji izraz. Uz sfernu simetriju potencijala i aproksimaciju atomskog poliedra sferom, dolazi se do sledećeg izraza:

$$\begin{aligned}
 \langle \chi_{L'}^{\vec{k}} | H - E | \chi_L^{\vec{k}} \rangle &= \langle \chi_L | H - E | \chi_L \rangle_0 \delta_{L', L} + \\
 &= \{ \langle \chi_L | H - E | J_{L'} \rangle_0 + \langle J_L | H - E | \chi_L \rangle_0 \} B_{L', L}^{\vec{k}} + \\
 &= \sum_L B_{L', L}^{\vec{k}} \langle J_{L'} | H - E | J_L \rangle_0 B_{L', L}^{\vec{k}}. \quad (3.36)
 \end{aligned}$$

Pri izvođenju gornjeg izraza koristi se osobina ermitovosti matrice strukturnih konstanti. Ova osobina će biti dokazana kasnije.

Gornja matrica se lako može napisati u bazu energetski nezavisnih MTO (3.24) - (3.26). Iz (3.36) se vidi da postoji sedam različitih integrala i njih razvijamo pomoću sledećih formula [10]:

$$\langle \phi_{l', m'}(D') | H - E_{\nu l} | \phi_{lm}(D) \rangle = \omega_l(D) \delta_{l', l} \delta_{m', m} \quad (3.37)$$

$$\langle \phi_{l', m'}(D') | \phi_{lm}(D) \rangle = \delta_{l', l} \delta_{m', m} (1 + \omega_l(D') \omega_l(D) \langle \phi_{\nu l}^2 \rangle).$$

U ovim formulama ćemo izvršiti smene $D \rightarrow D\{n\}$ i $D' \rightarrow D\{j\}$. Dalje ćemo radijus MT sfere S_{MT} zameniti radijusom atomske sfere S , koristićemo oznake $\phi\{n\} = \phi(D\{n\}, S)$, $\phi\{j\} = \phi(D\{j\}, S)$ i sledeće formule [9]:

$$D\{n\} - D\{j\} = \frac{1}{\kappa S n(\kappa S) j(\kappa S)} \quad (3.38)$$

$$S \phi\{n\} \phi\{j\} = - \frac{\omega\{n\} - \omega\{j\}}{D\{n\} - D\{j\}},$$

gde je funkcija ω definisana izrazom (3.18).

Izvršićemo renormiranje strukturne konstante (3.30) na

sledeći način:

$$S_{L'L}^{\vec{k}}(\alpha) = \frac{B_{L'L}^{\vec{k}}(\alpha)}{\frac{\alpha^2 S}{2} n_{L'}(\alpha S) n_L(\alpha S)} \quad (3.39)$$

da bi ceo formalizam mogao da važi i za $\alpha^2 = 0$.

LMTO sekularna matrica se sada može pisati u obliku $\underline{H} - E \underline{Q}$, koji odgovara svojstvenom problemu:

$$\sum_L (H_{L'L}^{\vec{k}} - E^{j\vec{k}} O_{L'L}^{\vec{k}}) \alpha_L^{j\vec{k}} = 0 \quad (3.40)$$

i koji se može efikasno rešiti numerički da se dobiju svojstvene vrednosti $E^{i\vec{k}}$ i svojstveni vektori $\alpha_L^{j\vec{k}}$. Matrica hamiltonijana data je sledećim izrazom:

$$\begin{aligned} H_{L'L}^{\vec{k}} = & \left[\frac{\omega\{n\} + E_\nu(1 + \omega^2\{n\} \langle \phi^2 \rangle)}{\sum_S \phi^2\{n\}} \right]_l \delta_{L'L} + \\ & + \left\{ \left[\frac{\omega\{j\} + E_\nu(1 + \omega\{j\} \omega\{n\} \langle \phi^2 \rangle)}{\omega\{j\} - \omega\{n\}} \right]_{l'} + [\dots]_{l'} - 1 \right\} S_{L'L}^{\vec{k}}(\alpha) + \\ & + \sum_{L''} S_{L'L''}^{\vec{k}}(\alpha) \left[\frac{\omega\{j\} + E_\nu(1 + \omega^2\{j\} \langle \phi^2 \rangle)}{2(D\{j\} - D\{n\})^2 S \phi^2\{j\}} \right]_{l''} S_{L''L}^{\vec{k}}(\alpha), \end{aligned} \quad (3.41)$$

dok matrica prekrivanja MTO ima oblik:

$$\begin{aligned} O_{L'L}^{\vec{k}} = & \left[\frac{1 + \omega^2\{n\} \langle \phi^2 \rangle}{\sum_S \phi^2\{n\}} \right]_l \delta_{L'L} + \\ & + \left\{ \left[\frac{1 + \omega\{j\} \omega\{n\} \langle \phi^2 \rangle}{\omega\{j\} - \omega\{n\}} \right]_{l'} + [\dots]_{l'} \right\} S_{L'L}^{\vec{k}}(\alpha) + \\ & + \sum_{L''} S_{L'L''}^{\vec{k}}(\alpha) \left[\frac{\omega\{j\} + E_\nu(1 + \omega^2\{j\} \langle \phi^2 \rangle)}{2(D\{j\} - D\{n\})^2 S \phi^2\{j\}} \right]_{l''} S_{L''L}^{\vec{k}}(\alpha). \end{aligned} \quad (3.42)$$

U gornjim formulama koristili smo oznaku $[\dots]_{l'}$ kojom smo

skratili zapis. Ona znači da sve funkcije u zagradi imaju indeks l i oblik kao u zagradi sa indeksom l' .

Jednačine (3.41) - (3.42) imaju izrazitu pogodnost da je deo koji zavisi od strukture kristala odvojen od parametara koji zavise od potencijala, a to su $\omega\{j\}$, $\langle \phi^2 \rangle$, ϕ^2 i $\omega\{n\}$. Delom koji zavisi od potencijala nećemo se u ovom radu detaljnije baviti. Deo LMTO metoda koji zavisi od strukture kristala su strukturne konstante, koje smo definisali relacijom (3.39). Kasnije ćemo videti da će pogodnom aproksimacijom ove strukturne konstante postati invarijantne na uniformnu promenu skale rešetke. To nam omogućava da ih za jedan tip kristalne rešetke izračunamo, tabeliramo i koristimo bez obzira na veličinu parametara elementarne ćelije te rešetke. U literaturi ovakve strukturne konstante zovu kanonskim. Osobine strukturnih konstanti, kao i kompjutersko izračunavanje njihovih matrica detaljno ćemo opisati u sledeće dve glave ovog rada.

3.3. Aproksimacija atomskih sfera (ASA)

U ASA se pretpostavlja sledeće:

a) $S_{MT} = S$

b) $\kappa^2 = 0$.

Znači, MT sferu zamenjujemo atomskom sferom koja ima istu zapreminu kao atomski poliedar, pa intersticijalna oblast nestaje. Tada možemo proizvoljno birati kinetičku energiju κ^2 . U ASA se uzima $\kappa^2 = 0$. Ovakav izbor kinetičke energije obezbeđuje da strukturne konstante postanu invarijantne na

uniformnu promenu skale kristalne rešetke. U LMTO - ASA integracije se vrše po atomskoj sferi, pri čemu se doprinos integralima koji potiče od oblasti između MT sfere i atomske sfere obračunava posebno.

Kada pređemo u limes $\kappa^2=0$, fazni pomeraj (3.11) divergira, pa MTO više nisu dobro definisane relacijama (3.24) - (3.26). Ovde ćemo predstaviti proširene, energetski nezavisne MTO koje se mogu koristiti u LMTO metodu u ASA aproksimaciji. One su date sledećim izrazima [9]:

$$\chi_L(\vec{r}) = i^l Y_l^m(\hat{r}) \begin{cases} \frac{\phi_l(-l-1, r)}{\sqrt{\frac{S}{2}} \phi_l(-l-1)} & , \quad r \leq S \\ \frac{N(\frac{r}{S})}{\sqrt{\frac{S}{2}}} & , \quad r \geq S \end{cases} \quad (3.43)$$

$$J_l(r) = \begin{cases} \frac{\phi_l(l, r)}{\sqrt{\frac{S}{2}} \phi_l(l)} & , \quad r \leq S \\ \frac{(\frac{r}{S})^l}{\sqrt{\frac{S}{2}}} & , \quad r \geq S \end{cases} \quad (3.44)$$

Vidimo da je normiranje funkcija $\chi_l(r)$ i $J_l(r)$ takvo da im je amplituda na granici sfere jednaka $\sqrt{\frac{2}{S}}$. Ovakvo normiranje potrebno je da bi se iz MT orbitala u ASA dobila LMTO matrica konzistentna matrici (3.40) - (3.42) u ASA. Proširenu sfernu Neumann-ovu funkciju, koja se pojavljuje u (3.43) za $\kappa^2=0$, definišemo na sledeći način [9]:

$$N_l \left(\frac{|\vec{r} - \vec{R}|}{S} \right)^l Y_l^m(\vec{r} - \vec{R}) = \begin{cases} - \sum_{L'} \frac{\phi_{L'}(l', \vec{r} - \vec{R}')}{2(2l'+1)\phi_{l'}(l')} g_{L'L} \left(\frac{S}{|\vec{R} - \vec{R}'|} \right)^{l'+1} \times \\ \times [4\pi i^{l'} Y_{l'}^{m'}(\hat{\vec{R} - \vec{R}'})]^* & \left\{ \begin{array}{l} \text{za } |\vec{r} - \vec{R}'| \leq S \\ \forall \vec{R}' \neq \vec{R} \end{array} \right. \\ \left(\frac{|\vec{r} - \vec{R}|}{S} \right)^{-l-1} & \text{u ostalim slučajevima} \end{cases} \quad (3.45)$$

U ovim formulama korišćene su skraćene oznake, pa $\phi_l(l, r)$ označava funkciju $\phi_l(D, r)$ za $D=l$ itd. Koeficijenti $g_{L'L}$ ulaze u definiciju kanonskih strukturnih konstanti.

4. OSOBINE STRUKTURNIH KONSTANTI

4.1. Teorema o razvoju repova MTO

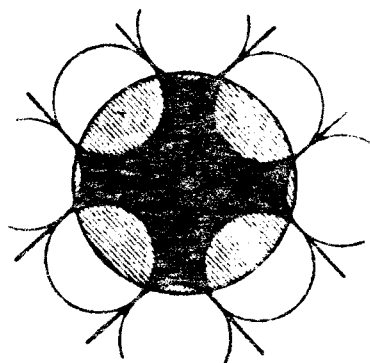
U ovom poglavlju ćemo se upoznati sa teoremom koju ćemo koristiti pri objašnjavanju osobina strukturnih konstanti.

Jedan od razloga što smo repove MTO birali kao rešenja translaciono invarijantne Helmholtz-ove jednačine (3.7) je jednostavna teorema o razvoju koju ove funkcije zadovoljavaju [11]. Ova teorema tvrdi da se rep MTO (3.13), tj. sferna Neumann-ova funkcija centrirana u položaju \vec{R} , može napisati kao razvoj po Bessel-ovim funkcijama centriranim u \vec{R}' , na sledeći način:

$$n_L(\kappa, \vec{r} - \vec{R}) = 4\pi \sum_{L'} \sum_{L''} C_{LL'L''} j_{L'}(\kappa, \vec{r} - \vec{R}') n_{L''}^*(\kappa, \vec{R} - \vec{R}'). \quad (4.1)$$

U gornjoj formuli indeksom L označeno je da su sve funkcije oblika (3.5).

Ovakav razvoj važi unutar sfere centrirane u \vec{R}' koja prolazi kroz \vec{R} , tj. kada je $|\vec{r} - \vec{R}'| < |\vec{R} - \vec{R}'|$.



Sl. 4.1.

Na slici su date oblast konvergencije za teorem o razvoju (šrafirana oblast) i oblast konvergencije za razvoj oko jednog centra (3.29) (crna površina).

Veličine $C_{LL'L''}$ zovu se Gaunt-ovi koeficijenti i definisani su relacijom (3.31). Ovi koeficijenti su različiti

od nule samo u sledećim slučajevima:

$$m'' = m' - m \quad (4.2)$$

$$l'' = |l - l'|, |l - l'| + 2, \dots, l + l'.$$

Obično se koristi nešto jednostavnija varijanta teoreme (4.1), u kojoj je $\vec{R}' = 0$:

$$n_L(\kappa, \vec{r} - \vec{R}) = 4\pi \sum_{L'} \sum_{L''} C_{LL'L''} j_{L'}(\kappa, \vec{r}) n_{L''}^*(\kappa, \vec{R}) \quad (4.3)$$

Sada teorema tvrdi da se repovi MTO (3.13) centrirani u \vec{R} mogu razviti po funkcijama $j_{L'}(\kappa, \vec{r})$ centriranim u koordinatnom početku. Razlog za formu $j_{L'}(\kappa, \vec{r}) = j_{l'}(\kappa, r) i^{l'} Y_{l'}^{m'}(\hat{r})$ je taj što će sada unutar sfere oko koordinatnog početka repovi od ostalih sfera imati isti oblik kao izraz proporcionalan $\cot(\eta_{l'})$ u (3.13).

4.2. KKR strukturne konstante

U ovom ćemo poglavlju dokazati da se policentrični razvoj MTO (3.28) može zameniti razvojem oko jednog centra (3.29). Iz ovog dokaza ćemo izvesti izraz za KKR strukturne konstante (3.30) i dokazati ermitovost matrice ovih konstanti.

Izraz (3.28) može se napisati u sledećem obliku:

$$\chi_L^{\vec{k}}(E, \kappa, \vec{r}) = \chi_L(E, \kappa, \vec{r}) + \sum_{\vec{R} \neq 0} e^{i\vec{k}\vec{R}} \chi_L(E, \kappa, \vec{r} - \vec{R}), \quad (4.4)$$

gde je drugi sabirak suma repova MTO centriranih u svim čvorovima kristalne rešetke, osim u koordinatnom početku. Ovaj član se, tada, može napisati kao:

$$\sum_{\vec{R} \neq 0} e^{i\vec{k}\vec{R}} \chi_L(E, \kappa, \vec{r} - \vec{R}) = \sum_{\vec{R} \neq 0} e^{i\vec{k}\vec{R}} \kappa N_L(\kappa, \vec{r} - \vec{R}) = \sum_{\vec{R} \neq 0} e^{i\vec{k}\vec{R}} \kappa n_L(\kappa, \vec{r} - \vec{R}) \quad (4.5)$$

pri čemu smo koristili izraze (3.24) i (3.25). Primenimo li teoremu o razvoju repova MTO (4.3), dobićemo:

$$\sum_{\vec{R} \neq 0} e^{i\vec{k}\vec{R}} \kappa n_L(\kappa, \vec{r} - \vec{R}) = \sum_{\vec{R} \neq 0} e^{i\vec{k}\vec{R}} \kappa 4\pi \sum_{L'} \sum_{L''} C_{LL'L''} j_{L'}(\kappa, \vec{r}) n_{L''}^*(\kappa, \vec{R}) \quad (4.6)$$

odakle sledi:

$$\chi_L^k(E, \kappa, \vec{r}) = \chi_L(E, \kappa, \vec{r}) + \sum_{L'} j_{L'}(\kappa, \vec{r}) 4\pi \sum_{L''} C_{LL'L''} \sum_{\vec{R} \neq 0} e^{i\vec{k}\vec{R}} \kappa n_{L''}^*(\kappa, \vec{R}) \quad (4.7)$$

Ako u ovaj izraz uvedemo strukturne konstante definisane relacijom (3.30) i iskoristimo izraz (3.26), po kome izvan MT sfere važi: $j_{L'}(\kappa, \vec{r}) = J_{L'}(\kappa, \vec{r})$, dobijamo razvoj oko jednog centra (3.29).

Oblast konvergencije ovog razvoja, koja je data na Sl.4.1. sledi iz činjenice da teorema o razvoju (4.3) važi u sferi koja prolazi kroz susedne čvorove, dok su repovi orbitala definisani samo izvan svojih MT sfera.

KKR strukturne konstante (3.30) predstavljaju koeficijente razvoja repova MTO oko jednog centra. One ne zavise od potencijala, a matrica $B_{l', m', l m}^k$ je ermitska, što ćemo sada dokazati.

Prisetimo se osobina sfernih harmonika:

$$Y_l^m(\hat{-R}) = (-1)^l Y_l^m(\hat{R}) \quad (4.8)$$

$$Y_l^m(\hat{R})^* = (-1)^m Y_l^{-m}(\hat{R}). \quad (4.9)$$

Iskoristimo ove osobine da dokažemo sledeću relaciju:

$$(-1)^{m'} C_{l', m', l m, l'', -m'}^* = C_{l m, l' m', l'' m'} \equiv C_{LL'L''} \quad (4.10)$$

gde su $C_{LL'L''}$ definisani izrazom (3.31). Iz ove definicije

sledi:

$$(-1)^{m'} C_{l', m', l m, l' - m'}^* = (-1)^{m'} \left[\int Y_{l'}^{m'}(\hat{x}) Y_l^{m'}(\hat{x}) Y_{l'}^{-m'}(\hat{x}) d\hat{x} \right]^*$$

Ako konjugujemo desnu stranu, dobićemo:

$$\begin{aligned} (-1)^{m'} C_{l', m', l m, l' - m'}^* &= (-1)^{m'} \int Y_{l'}^{m'}(\hat{x}) Y_l^m(\hat{x}) Y_{l'}^{-m'}(\hat{x}) d\hat{x} = \\ &= (-1)^{m'} \int Y_l^m(\hat{x}) Y_{l'}^{m'}(\hat{x}) (-1)^{-m'} Y_{l'}^{m'}(\hat{x}) d\hat{x} = C_{LL'L'} \end{aligned}$$

pri čemu smo koristili konjugovanu relaciju (4.9).

Da bi matrica KKR strukturnih konstanti bila ermitska, mora biti ispunjen sledeći uslov:

$$B_{LL'}^k(\mathbf{x}) = B_{L'L}^k(\mathbf{x}). \quad (4.11)$$

Konjugujemo relaciju (3.30) i zamenimo mesta indeksima L i L' :

$$B_{LL'}^k(\mathbf{x}) = 4\pi \sum_{L'} C_{LL'L'}^* \sum_{\vec{R} \neq 0} e^{-i\vec{k}\vec{R}} n_{L'}(\mathbf{x}, \vec{R}). \quad (4.12)$$

Izvršimo, zatim, smenu $\vec{R} \rightarrow -\vec{R}$ i setimo se da kristal poseduje centar inverzije, zbog čega važi: $\sum_{\vec{R}} = \sum_{-\vec{R}}$. Tako

dobijamo sledeći izraz:

$$B_{LL'}^k(\mathbf{x}) = 4\pi \sum_{L'} C_{LL'L'}^* \sum_{\vec{R} \neq 0} e^{i\vec{k}\vec{R}} n_{L'}(\mathbf{x}, -\vec{R}). \quad (4.13)$$

Pogledajmo malo detaljnije sfernu Neumann-ovu funkciju:

$$n_{L'}(\mathbf{x}, -\vec{R}) = i^{L'} Y_{l'}^{m'}(\hat{-R}) n_{l'}(\mathbf{x}, \vec{R}).$$

Iskoristimo li osobine sfernih harmonika (4.8) i (4.9):

$$\begin{aligned} n_{L'}(\mathbf{x}, -\vec{R}) &= i^{L'} (-1)^{L'} Y_{l'}^{m'}(\hat{R}) n_{l'}(\mathbf{x}, \vec{R}) = \\ &= (-1)^{L'} (-1)^{m'} Y_{l'}^{-m'}(\hat{R}) n_{l'}(\mathbf{x}, \vec{R}), \end{aligned}$$

dobićemo sledeći izraz:

$$n_{L', L'}(\kappa, -\hat{R}) = (-1)^{m'} n_{L', L'}^*(\hat{R}),$$

koji ćemo vratiti u (4.13). Ako pri tome izvršimo smenu $m' \rightarrow -m'$, dobićemo:

$$B_{L', L'}^k(\kappa) = 4\pi \sum_{L''} (-1)^{m'} C_{l', m', l'', -m'}^* \sum_{R \neq 0} e^{i\vec{k}R} \kappa n_{L', L'}^*(\hat{R}).$$

Zamenom izraza (4.10) u gornju relaciju, pokazali smo da je ispunjen uslov (4.11) ermitovosti matrice $B_{L', L'}^k$.

4.3. Kanonske strukturne konstante

Pri izvođenju LMTO sekularne matrice uveli smo strukturne konstante $S_{L', L'}^k(\kappa)$ relacijom (3.39). To smo uradili da bi sekularna matrica bila dobro definisana i u ASA, kada je $\kappa^2 = 0$. Naime, KKR strukturne konstante divergiraju u tački $\kappa^2 = 0$. Ako u definiciji (3.30) zamenimo asimptotiku sferne Neumann-ove funkcije (3.8), dobija se:

$$\lim_{\kappa \rightarrow 0} B_{L', L'}^k(\kappa) = 4\pi \sum_{L''} C_{LL', L''} \sum_{R \neq 0} e^{i\vec{k}R} \left(-\frac{(2l''-1)!!}{R^{l''+1}} \right) \lim_{\kappa \rightarrow 0} \frac{\kappa}{\kappa^{l''+1}}.$$

Kako je l'' pozitivna veličina, divergentnost KKR strukturnih konstanti u ASA je pokazana. Ispitajmo sada ponašanje strukturnih konstanti $S_{L', L'}^k(\kappa)$ u istoj tački:

$$\lim_{\kappa \rightarrow 0} S_{L', L'}^k(\kappa) = 4\pi \sum_{L''} C_{LL', L''} \sum_{R \neq 0} e^{i\vec{k}R} \lim_{\kappa \rightarrow 0} \frac{\kappa n_{L', L'}^*(\kappa R)}{\frac{\kappa^2 S}{2} n_{l'}(\kappa S) n_{l'}(\kappa S)}$$

Iz asimptotike (3.8) sledi:

$$\lim_{\kappa \rightarrow 0} S_{L', L'}^k(\kappa) = 4\pi \sum_{L''} C_{LL', L''} \left(-\frac{(2l''-1)!!}{(2l''-1)!! (2l''-1)!!} \right) \times$$

$$\sum_{\vec{R} \neq 0} x e^{i \vec{k} \vec{R}} \left[i^{l''} Y_{l''}^{m''}(\hat{\vec{R}}) \right]^* \frac{S^{l'+l+1}}{R^{l''+1}} \lim_{x \rightarrow 0} x^{l'+l-l''}. \quad (4.14)$$

Zbog osobine Gaunt-ovih koeficijenata, $C_{LL'L''}$, da su različiti od nule samo za vrednosti date izrazima (4.2), možemo pisati:

$$\lim_{x \rightarrow 0} x^{l'+l-l''} = \delta_{l'', l+l'} \quad (4.15)$$

i tvrditi da su strukturne konstante $S_{L'L}^k(x)$ regularne za tačku $x^2=0$.

Već smo dokazali da je matrica $B_{L'L}^k(x)$ hermitska. Iz ovoga i činjenice da su koeficijenti te matrice u izrazu (3.39) podeljeni realnom funkcijom, simetričnom na izmenu mesta indeksa l i l' , lako se zaključuje da je i matrica $S_{L'L}^k(x)$ hermitska.

Posmatrajmo sada Bloch-ovu sumu repova MTO i primenimo na nju teorem o razvoju, (4.3):

$$\sum_{\vec{R} \neq 0} e^{i \vec{k} \vec{R}} x n_L(x, \vec{r}-\vec{R}) = \sum_{\vec{R} \neq 0} e^{i \vec{k} \vec{R}} 4\pi \sum_{L'L''} C_{LL'L''} j_{L'}(x, \vec{r}) x n_{L''}^*(x, \vec{R}). \quad (4.16)$$

Zbog asimptotike (3.8), ovaj izraz dobija oblik:

$$\sum_{\vec{R} \neq 0} e^{i \vec{k} \vec{R}} \frac{i^l Y_l^m(\hat{\vec{r}-\vec{R}})}{|\vec{r}-\vec{R}|^{l+1}} = 4\pi \sum_{L'L''} C_{LL'L''} \sum_{\vec{R} \neq 0} e^{i \vec{k} \vec{R}} i^{l'} Y_{l'}^{m'}(\hat{\vec{r}}) r^{l'} x \times \frac{[i^{l''} Y_{l''}^{m''}(\hat{\vec{R}})]^*}{R^{l''+1}} \frac{(2l''-1)!!}{(2l'+1)!! (2l-1)!!} \delta_{l'', l'+l}. \quad (4.17)$$

pri čemu smo iskoristili relaciju (4.15). Pošto su koeficijenti $C_{LL'L''}$ različiti od nule samo za $m''=m'-m$, u gornjem će izrazu nestati suma po L'' . Ako pomnožimo ovu jednačinu sa $S^{l+1} = S^{l''-l+1}$, dobićemo razvoj oblika:

$$\sum_{\vec{R} \neq 0} e^{i \vec{k} \vec{R}} \left(\frac{S}{|\vec{r} - \vec{R}|} \right)^{l+1} i^l Y_l^m(\hat{\vec{r}} - \hat{\vec{R}}) = \sum_{L'} \frac{-1}{2(2l'+1)} \left(\frac{r}{S} \right)^{l'+l} i^{l'} Y_{l'}^{m'}(\hat{\vec{r}}) S_{L',L}^{\vec{k}} \quad (4.18)$$

Koeficijenti razvoja, $S_{L',L}^{\vec{k}}$ su kanonske strukturne konstante i dati su sledećim izrazima [13]:

$$S_{l',m',lm}^{\vec{k}} = g_{l',m',lm} \sum_{\lambda\mu}^{\vec{k}} \quad (4.19)$$

$$\lambda = l' + l; \quad \mu = m' - m$$

$$\sum_{\lambda\mu}^{\vec{k}} \equiv \sum_{\vec{R} \neq 0} e^{i \vec{k} \vec{R}} \left(\frac{S}{R} \right)^{\lambda+1} \left[\sqrt{4\pi} i^\lambda Y_{\lambda\mu}(\hat{\vec{R}}) \right]^* \quad (4.20)$$

$$g_{l',m',lm} = \frac{-2(2\lambda-1)!!}{(2l'-1)!!(2l-1)!!} (2\lambda+1)^{1/2} c^\lambda (l',m',lm) =$$

$$= (-1)^{m'+1} 2 \left[\frac{(2l'+1)(2l+1)}{2\lambda+1} \frac{(\lambda+\mu)! (\lambda-\mu)!}{(l'+m')! (l'-m')! (l+m)! (l-m)!} \right]^{1/2} \quad (4.21)$$

pri čemu važi: $(-1)!!=1$.

Faktor $[2(2l'+1)]^{-1}$ se pojavljuje, u formuli (4.18), da bi $S_{L',L}^{\vec{k}}$ bila ermitska matrica.

Poređenjem izraza (4.14) i (4.19) vidi se da se kanonske strukturne konstante mogu izraziti na sledeći način:

$$S_{L',L}^{\vec{k}} = \lim_{\kappa \rightarrow 0} \frac{B_{L',L}^{\vec{k}}(\kappa)}{\sqrt{\frac{S}{2}} \kappa n_l(\kappa S) \sqrt{\frac{S}{2}} \kappa n_l(\kappa S)} \quad (4.22)$$

Najvažnije dve osobine po kojima se kanonske strukturne konstante razlikuju od ostalih su:

a) ne zavise od energije $E = \kappa^2 + V_{MTZ}$ i

b) za $\kappa^2=0$ invarijantne su na uniformnu promenu skale rešetke.

Dalje, polovi $(|\vec{k} + \vec{G}|^2 - \kappa^2)^{-1}$ KKR strukturnih konstanti

se redukuju na singularitete u čvorovima recipročne rešetke.

Važi [13]:

$$\sum_{\lambda\mu}^k \sim (kS)^{\lambda-2}$$

tako da ss i sp strukturne konstante divergiraju, pp strukturne konstante imaju prekid u centru Brillouin-ove zone, dok $B_{L'L}^k(\kappa)$ imaju singularitete za sve tačke na paraboli slobodnog elektrona. Znači, u (4.19) nema sume po l'' kao u (3.30), a Gaunt-ovi koeficijenti (4.21) su zbog $l''=l'+l$ relativno jednostavni.

Lako se može pokazati da razvoj (4.4) za MTO u ASA (3.43) - (3.45) ima sledeći oblik:

$$\chi_L^k(\vec{r}) = \frac{\phi_L(-l-1, \vec{r})}{\sqrt{\frac{S}{2}} \phi_l(-l-1)} \sum_{L'} \frac{\phi_{L'}(l', \vec{r})}{2(2l'+1) \sqrt{\frac{S}{2}} \phi_l(l)} S_{L'L}^k \quad (4.20)$$

Ovo je razvoj koji se koristi za izvođenje LMTO sekularne matrice u ASA. Matrica koja se dobija na ovaj način, istovetna je sa matricom koju dobijamo kada na (3.40) - (3.42) primenimo ASA.

4.4. Ewald-ova procedura za izračunavanje strukturnih konstanti

Izračunavanje kanonske strukturne konstante (4.19) u slučaju kristala sa više atoma po primitivnoj ćeliji uključuje izračunavanje sume rešetke oblika:

$$\sum_{\lambda\mu}^k = \sum_{\hat{\Delta} \neq 0} e^{i\vec{k}\hat{\Delta}} \left(\frac{S}{\Delta}\right)^{\lambda+1} [\sqrt{4\pi} 1^\lambda Y_{\lambda\mu}(\hat{\Delta})]^* \quad (4.24)$$

gde je $\hat{\Delta} = \hat{R} - \hat{\delta}$, a $\hat{\delta}$ je vektor koji precizira položaj atoma unutar primitivne ćelije. Naravno, za slučaj jednog atoma po primitivnoj ćeliji $\hat{\delta}=0$.

Ovo sumiranje se može uraditi direktno, u realnom prostoru, ali za $l \leq 4$ veliki deo sume se mora razvijati posebno, Furije transformacijom. Zato ćemo ovo sumiranje izvršiti na drugi način, pomoću standardne Ewald-ove procedure [14]. U ovoj se proceduri činilac $(\frac{1}{\Delta})^{\lambda+1}$ iz formule (4.24) zamenjuje izrazom $\frac{\Delta^\lambda}{\Delta^{2\lambda+1}}$. Zatim se imenilac ovog izraza transformiše na sledeći način:

$$\frac{1}{\Delta^{2\lambda+1}} = \frac{2^{\lambda+1}}{\sqrt{\pi} (2\lambda-1)!!} J_{2\lambda} \quad (4.25)$$

gde je:

$$J_{2\lambda} = \int_0^\infty \xi^{2\lambda} e^{-\Delta^2 \xi^2} d\xi, \quad (-1)!!=1. \quad (4.26)$$

Gornja transformacija lako se pokazuje uzastopnim diferenciranjem izraza: $\int_0^\infty e^{-\alpha \xi^2} d\xi = \frac{1}{2} \sqrt{\frac{\pi}{\alpha}}$, po α , a zatim smenom $\alpha=\Delta^2$.

Dalje se interval integracije podeli na oblasti $(0, \gamma)$ i (γ, ∞) i suma rešetke (4.24) predstavi u sledećem obliku:

$$\Sigma = \Sigma_1 + \Sigma_2 \quad (4.27)$$

$$\Sigma_1 = \frac{4(-2l)^\lambda S^{\lambda+1}}{(2\lambda-1)!!} \sum_{\hat{\Delta} \neq 0} \int_0^\gamma d\xi \xi^{2\lambda} e^{-\Delta^2 \xi^2} e^{i\vec{k}\hat{\Delta}} \Delta^\lambda Y_{\lambda\mu}^*(\hat{\Delta}) \quad (4.28)$$

$$\Sigma_2 = \frac{4(-2l)^\lambda S^{\lambda+1}}{(2\lambda-1)!!} \sum_{\hat{\Delta} \neq 0} \int_\gamma^\infty d\xi \xi^{2\lambda} e^{-\Delta^2 \xi^2} e^{i\vec{k}\hat{\Delta}} \Delta^\lambda Y_{\lambda\mu}^*(\hat{\Delta}). \quad (4.29)$$

Nadalje nas interesuje slučaj jednog atoma po primitivnoj ćeliji, kada je $\vec{\delta}=0$. Sumu (4.28) možemo napisati na sledeći način:

$$\Sigma_1 = \frac{4(-2i)^\lambda S^{\lambda+1}}{(2\lambda-1)!!} \left\{ \sum_{\vec{R} \neq 0} e^{i\vec{k}(\vec{R}-\vec{\delta})} (|\vec{R}-\vec{\delta}|)^\lambda Y_{\lambda\mu}^*(|\vec{R}-\vec{\delta}|) \times \right. \\ \left. \times \int_0^\gamma d\xi \xi^{2\lambda} e^{-|\vec{R}-\vec{\delta}|^2 \xi^2} + e^{i\vec{k}\vec{\delta}} \delta^\lambda Y_{\lambda\mu}^*(\delta) \int_0^\gamma d\xi \xi^{2\lambda} e^{-\delta^2 \xi^2} \right\}. \quad (4.30)$$

Ako sada u gornjem izrazu pustimo da $\vec{\delta} \rightarrow 0$, dobićemo:

$$\lim_{\vec{\delta} \rightarrow 0} \Sigma_1 = \frac{4(-2i)^\lambda S^{\lambda+1}}{(2\lambda-1)!!} \left\{ \sum_{\vec{R} \neq 0} e^{i\vec{k}\vec{R}} R^\lambda Y_{\lambda\mu}^*(R) \int_0^\gamma d\xi \xi^{2\lambda} e^{-R^2 \xi^2} + \right. \\ \left. + \lim_{\delta \rightarrow 0} e^{i\vec{k}\vec{\delta}} \delta^\lambda Y_{\lambda\mu}^*(\delta) \int_0^\gamma d\xi \xi^{2\lambda} e^{-\delta^2 \xi^2} \right\} \quad (4.31)$$

Posmatrajmo drugi sabirak prethodnog izraza i uvedimo smenu $y=\delta\xi$:

$$\lim_{\vec{\delta} \rightarrow 0} \delta^\lambda \int_0^\gamma d\xi \xi^{2\lambda} e^{-\delta^2 \xi^2} = \lim_{\vec{\delta} \rightarrow 0} \delta^{-\lambda-1} \int_0^{\gamma\delta} dy y^{2\lambda} e^{-y^2} = \\ = \lim_{\vec{\delta} \rightarrow 0} \delta^{-\lambda-1} \int_0^{\gamma\delta} dy y^{2\lambda} (1-y^2), \quad (4.32)$$

odakle se dobija:

$$\lim_{\vec{\delta} \rightarrow 0} \delta^\lambda \int_0^\gamma d\xi \xi^{2\lambda} e^{-\delta^2 \xi^2} = \lim_{\vec{\delta} \rightarrow 0} \left\{ \frac{\gamma^{2\lambda+1}}{2^{\lambda+1}} \delta^\lambda + \frac{\gamma^{2\lambda+3}}{2\lambda+3} \delta^{\lambda+2} \right\} = \gamma \delta_{\lambda,0}. \quad (4.33)$$

Suma rešetke (4.24) data je izrazima (4.33), (4.31) i (4.29). U izrazu (4.29) oblast integracije dopušta direktnu smenu $\vec{\Delta}=\vec{R}$.

Parametar γ određuje se iz uslova najbolje konvergencije suma Σ_1 i Σ_2 i dat je sledećim izrazom [14]:

$$\gamma = \frac{\sqrt{\pi}}{\frac{8}{\sqrt{\Omega}}} \alpha, \quad (4.34)$$

gde je α množitelj za koga se pokazalo da je za bcc strukturu u intervalu 1.1 - 1.3.

5. PROGRAMI I REZULTATI

5.1. Paket programa LMTO

Sada ćemo ukratko predstaviti paket programa LMTOPACK, zasnovan na opisanoj metodi linearnih MTO. LMTOPACK je skup fortranskih programa prilagođenih za rad na računarima tipa VAX, koji služi za izračunavanje zonske strukture datog kristala. Osnovu paketa čine četiri programa: STR, LMTO, DDNS i SCFC koji se koriste za određivanje, redom: strukturnih konstanti, svojstvenih vrednosti energije, gustine stanja i različitih veličina vezanih za kristal u osnovnom stanju. Pored nabrojanih, paket sadrži pomoćne programe koji korisniku pružaju različite mogućnosti predstavljanja rezultata, kao i programe za izračunavanje parametara potrebnih za uspešan rad glavnih programa.

Spisak programa sadržanih u paketu dat je u Tabeli 5.1, a šema povezanosti programa i protoka informacija prilikom tipične primene paketa prikazana je na Sl. 5.1.

5.2. Program za strukturne konstante STR

Program STR izračunava kanonske strukturne konstante opisane u Gl.4. U tipičnoj primeni paketa programa LMTOPACK, ovaj program se pušta samo jednom za datu kristalnu strukturu. Izračunate matrice strukturnih konstanti, u nizu izabranih tačaka ireducibilnog dela Brillouin-ove zone, smeštaju se u posebnu datoteku STR2.DSK na disku. Kada se u primeni naiđe na takvu kristalnu strukturu, dovoljno je samo pozvati podatke iz ove datoteke za rešavanje svojstvenog problema u programu

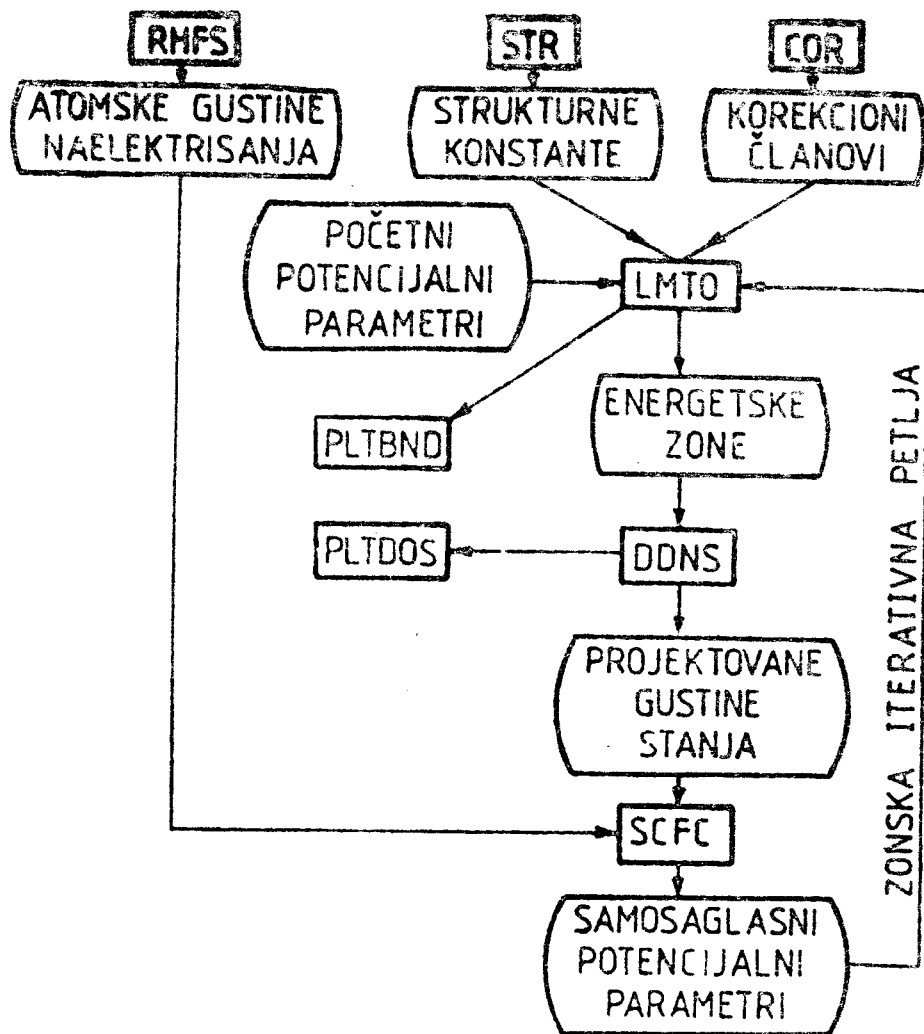
N A Z I V	F U N K C I J A
CANON	Izračunavanje kanonske i nehibridizovane zone
COR	Generira korekcije na strukturne konstante
DDNS	Izračunava l-te projekcije i ukupne gustine stanja i l-te projekcije i ukupne brojeve stanja
PSAR	Izračunava ekstremne površine i efektivne mase na Fermi površi
JDNS	Izračunavanje povezane gustine stanja
LMTO	Izračunavanje energetske zone
PLTBND	Crta energetske zone
PLTDOS	Crta gustine stanja
READB	Crta i štampa skupove podataka za energetske zone
KHFS	Generiše atomske i zamrznute-ljuske gustine naelektrisanja
SCFC	Izračunava samosaglasno potencijalne parametre i svojstva osnovnog stanja
STR	Generiše strukturne konstante
TDNS	Izračunava samo ukupnu gustinu stanja

Tabela 5.1. Spisak programa iz paketa LMTOPACK

LMTO.

Ulaz u program STR (smešten u datoteku STR2.DAT) kao osnovni podatak sadrži tri bazisna vektora, koji određuju elementarnu ćeliju realnog prostora i koordinate atoma u elementarnoj ćeliji.

Izlaz iz programa STR sastoji se od kanonskih strukturnih konstanti koje se koriste u programima CANON i LMTO (vidi



Sl. 5.1. Ilustracija programa i protoka informacija za samosaglasni LMTO proračun

Tabelu 5.1) za izračunavanje (nehibridizovanih i hibridizovanih) zonskih struktura. Uz strukturne matrice, ovaj program za izlazne podatke ima i podatke o vektorima realnog i recipročnog prostora, koji su potrebni programu COR.

Izgled jedne od mogućih ulaznih datoteka za STR dat je na Sl. 5.2.

Prva linija podataka je tekst koji daje informaciju o tipu rešetke. Taj će tekst, kao i ostali bitni podaci, biti

STRUKTURNE KONSTANTE IZ FUD LATTICE

1.000000 0.000000 0.000000 0.000000
0.000000 1.000000 0.000000 0.000000
0.000000 0.000000 1.000000 0.000000
0.000000 0.000000 0.000000 1.000000

2.000000 0.000000 0.000000 0.000000

0.000000 2.000000 0.000000 0.000000

0.000000 0.000000 2.000000 0.000000

0.000000 0.000000 0.000000 2.000000

Sl. 5.2. Datoteka STR2.DAT

prenet u sve ostale programe.

Prva dva broja u drugoj liniji su veličine AMAX i BMAX. Pomoću njih se izračunavaju radijusi sfera u diskretnom (RMAX) i inverznom (GMAX) prostoru, iz sledećih relacija:

$$AMAX = RMAX * ALAMDA$$

$$BMAX = GMAX / 2. * ALAMDA,$$

gde je ALAMDA veličina koja je određena brzinom konvergencije sume u strukturnoj konstanti. Tako vektori RMAX i GMAX predstavljaju kompromis između dobre konvergencije i kratkog vremena izvršavanja programa. Sa povećanjem ovih radijusa poboljšava se konvergencija suma, ali se povećava vreme rada programa.

Sledeća tri broja u istoj liniji određuju na koji način će program raditi. Prvi broj može imati tri vrednosti sa sledećim značenjima:

0 - daje skraćeni ispis rezultata

1 - ispisivanje vektora potrebnih programu COR

2 - ispisivanje matrice strukturnih konstanti.

Sledećim brojem regulišemo hoće li program uraditi test

konvergencije (ICNVRG=1) i odrediti najoptimalniju vrednost veličine ALAMDA, ili će ALAMDA biti učitana kao ulazni podatak (ICNVRG=0). Obično se pri prvom puštanju u rad programa za neku strukturu stavi ICNVRG=1, a pri svim ostalim, zbog skraćanja rada programa, učitava veličina ALAMDA dobijena iz testa konvergencije.

Trećim brojem određujemo hoće li se vektori primitivne ćelije čitati iz ulazne datoteke (IPRIM=0) ili će se generisati u programu (IPRIM=1).

Treća linija ulazne datoteke sadrži tri broja. Prvi, NL=4, reći će programu da treba da razmotri s,p,d, i f elektrone. Drugi, NQ=1, je broj atoma po primitivnoj ćeliji. Treći broj je vrednost za ALAMDA, određena pomoću testa za konvergenciju.

Četvrta linija sadrži oznaku za tip strukture (LAT=3 za bcc strukturu), pomoću koje se vrši selekcija Brillouin-ovih zona prema tabeli u potprogramu MESH.

Sledeće dve linije sadrže veličine osa i uglova elementarne ćelije. Za bcc strukturu, za koju smo izračunali matricu strukturnih koeficijenata, te su veličine:

$$a = b = c = 1$$

$$\alpha = \beta = \gamma = 90^\circ.$$

Sledi NQ linija koje daju položaje atoma u elementarnoj ćeliji.

Poslednja linija ulazne datoteke sadrži četiri broja: MODE, NPX, NPY i NPZ. Za MODE=0, tri broja koja slede služe da odrede mrežu tačaka u \vec{k} prostoru. Oni označavaju broj tačaka duž osa inverznog prostora. Kada je MODE=1, NPX daje broj

tačkaka visoke simetrije u kojima će se određivati zonska struktura. Zatim bi trebalo da sledi NPX linija sa koordinatama i oznakama tih podataka, da se centar Brillouin-ove zone (Γ tačka) tada pri čemu se mora paziti u obliku $\frac{\pi}{a}$ (0., 0., 0.01) zbog divergentnosti nekih strukturnih konstanti u koordinatnom početku.

Program se pokreće sledećom upravljačkom rutinom, smeštenom u datoteku STR2.COM:

```
$ FOR/G_FLOATING STR2
```

```
$ LINK STR2
```

```
$ RUN STR2
```

Prvom naredbom vrši se prevodenje programa, drugom se prevedeni program pretvara u povezani ili izvodljivi oblik. Tom prilikom se vrši i spajanje programa sa svim potrebnim potprogramima. Poslednjom naredbom pokreće se izvršenje programa.

U nastavku ćemo dati listing programa STR.

5.3. Rezultati

Ovde ćemo priložiti listing izlaznih podataka. Na početku listinga date su neke ulazne veličine kao i konstante koje program iz njih izračunava i koristi u daljem radu. Dalje je dat skraćeni ispis rezultata potprograma VECGEN koji generiše vektore direktnog i inverznog prostora iz vektora translacije primitivne ćelije, datih u jedinicama a .

Zatim su priložene matrice strukturnih konstanti za tri Bloch-ova vektora \vec{k} . Ovde je dat samo deo izlaza iz programa STR. Ceo izraz sadrži 285 strukturnih matrica.

STR FOR : STRUCTURE CONSTANTS FOR BCC LATTICE

NEW

AMAX 4.50000 BMAX 4.50000
 RMAX 2.57143 GMAX 15.75000
 NL 4 NQ 1 NLM 16 LMQ 16
 LAMDA 1.75000
 NOWRT 2 ICNVRG 0 IPRIM 1

A,B,C 1.000000 1.000000 1.000000
 ALPHA,BETA,GAMMA 90.0000 90.0000 90.0000

PRIMITIVE VECTORS IN UNIT CELL OF BCC

B0A 1.0000000000 C0A 1.0000000000

(0.50000, 0.50000, -0.50000)
 (-0.50000, 0.50000, 0.50000)
 (0.50000, -0.50000, 0.50000)

BASIS VECTORS

(0.00000, 0.00000, 0.00000)

PRIMITIVE VECTORS OF RECIPROCAL SPACE
 IN UNITS OF $2\pi/a$

(1.00000, 1.00000, 0.00000)
 (0.00000, 1.00000, 1.00000)
 (1.00000, 0.00000, 1.00000)

R1 0.0000 RA 2.5714
 G1 6.2900 3A 22.0400

NUMR 9 NUMG 9

RESULT FROM VECGEN FOR REAL SPACE VECTORS

ND	SX	SY	SZ	D
1	0.000000	0.000000	0.000000	0.000000

SHELL NUMBER 1 WITH 1 POINTS

2	-0.500000	-0.500000	-0.500000	0.866025
3	-0.500000	-0.500000	0.500000	0.866025
4	0.500000	-0.500000	-0.500000	0.866025
5	-0.500000	0.500000	-0.500000	0.866025
6	0.500000	-0.500000	0.500000	0.866025
7	-0.500000	0.500000	0.500000	0.866025
8	0.500000	0.500000	-0.500000	0.866025
9	0.500000	0.500000	0.500000	0.866025

SHELL NUMBER 2 WITH 8 POINTS

10	0.000000	-1.000000	0.000000	1.000000
11	-1.000000	0.000000	0.000000	1.000000
12	0.000000	0.000000	-1.000000	1.000000
13	0.000000	0.000000	1.000000	1.000000
14	1.000000	0.000000	0.000000	1.000000
15	0.000000	1.000000	0.000000	1.000000

SHELL NUMBER 3 WITH 6 POINTS

16	-1.000000	-1.000000	0.000000	1.414214
17	0.000000	-1.000000	-1.000000	1.414214
18	-1.000000	0.000000	-1.000000	1.414214
19	0.000000	-1.000000	1.000000	1.414214
20	-1.000000	0.000000	1.000000	1.414214
21	1.000000	-1.000000	0.000000	1.414214
22	-1.000000	1.000000	0.000000	1.414214
23	1.000000	0.000000	-1.000000	1.414214
24	0.000000	1.000000	-1.000000	1.414214
25	1.000000	0.000000	1.000000	1.414214
26	0.000000	1.000000	1.000000	1.414214
27	1.000000	1.000000	0.000000	1.414214

SHELL NUMBER 4 WITH 12 POINTS

28	-0.500000	-1.500000	-0.500000	1.658312
29	-1.500000	-0.500000	-0.500000	1.658312
30	-0.500000	-1.500000	0.500000	1.658312
31	-1.500000	-0.500000	0.500000	1.658312
32	-0.500000	-0.500000	-1.500000	1.658312
33	0.500000	-1.500000	-0.500000	1.658312
34	0.500000	-1.500000	0.500000	1.658312
35	-1.500000	0.500000	-0.500000	1.658312
36	-1.500000	0.500000	0.500000	1.658312
37	-0.500000	-0.500000	1.500000	1.658312

38	0.500000	-0.500000	-1.500000	1.658312
39	-0.500000	0.500000	-1.500000	1.658312
40	0.500000	-0.500000	1.500000	1.658312
41	-0.500000	0.500000	1.500000	1.658312
42	0.500000	0.500000	-1.500000	1.658312
43	1.500000	-0.500000	-0.500000	1.658312
44	1.500000	-0.500000	0.500000	1.658312
45	-0.500000	1.500000	-0.500000	1.658312
46	-0.500000	1.500000	0.500000	1.658312
47	0.500000	0.500000	1.500000	1.658312
48	1.500000	0.500000	-0.500000	1.658312
49	0.500000	1.500000	-0.500000	1.658312
50	1.500000	0.500000	0.500000	1.658312
51	0.500000	1.500000	0.500000	1.658312

SHELL NUMBER 5 WITH 24 POINTS

52	-1.000000	-1.000000	-1.000000	1.732051
53	-1.000000	-1.000000	1.000000	1.732051
54	1.000000	-1.000000	-1.000000	1.732051
55	-1.000000	1.000000	-1.000000	1.732051
56	1.000000	-1.000000	1.000000	1.732051
57	-1.000000	1.000000	1.000000	1.732051
58	1.000000	1.000000	-1.000000	1.732051
59	1.000000	1.000000	1.000000	1.732051

SHELL NUMBER 6 WITH 8 POINTS

60	0.000000	-2.000000	0.000000	2.000000
61	-2.000000	0.000000	0.000000	2.000000
62	0.000000	0.000000	-2.000000	2.000000
63	0.000000	0.000000	2.000000	2.000000
64	2.000000	0.000000	0.000000	2.000000
65	0.000000	2.000000	0.000000	2.000000

SHELL NUMBER 7 WITH 6 POINTS

66	-1.500000	-1.500000	-0.500000	2.179449
67	-1.500000	-1.500000	0.500000	2.179449
68	-0.500000	-1.500000	-1.500000	2.179449
69	-1.500000	-0.500000	-1.500000	2.179449
70	-0.500000	-1.500000	1.500000	2.179449
71	-1.500000	-0.500000	1.500000	2.179449
72	0.500000	-1.500000	-1.500000	2.179449
73	-1.500000	0.500000	-1.500000	2.179449
74	0.500000	-1.500000	1.500000	2.179449
75	-1.500000	0.500000	1.500000	2.179449
76	1.500000	-1.500000	-0.500000	2.179449
77	1.500000	-1.500000	0.500000	2.179449
78	-1.500000	1.500000	-0.500000	2.179449
79	-1.500000	1.500000	0.500000	2.179449
80	1.500000	-0.500000	-1.500000	2.179449
81	-0.500000	1.500000	-1.500000	2.179449
82	1.500000	-0.500000	1.500000	2.179449
83	-0.500000	1.500000	1.500000	2.179449
84	1.500000	0.500000	-1.500000	2.179449
85	0.500000	1.500000	-1.500000	2.179449
86	1.500000	0.500000	1.500000	2.179449
87	0.500000	1.500000	1.500000	2.179449
88	1.500000	1.500000	-0.500000	2.179449

SHELL NUMBER 8 WITH 24 POINTS

90	-1.000000	-2.000000	0.000000	2.236068
91	-2.000000	-1.000000	0.000000	2.236068
92	0.000000	-2.000000	-1.000000	2.236068
93	-2.000000	0.000000	-1.000000	2.236068
94	0.000000	-2.000000	1.000000	2.236068
95	-2.000000	0.000000	1.000000	2.236068
96	0.000000	-1.000000	-2.000000	2.236068
97	-1.000000	0.000000	-2.000000	2.236068
98	1.000000	-2.000000	0.000000	2.236068
99	-2.000000	1.000000	0.000000	2.236068
100	0.000000	-1.000000	2.000000	2.236068
101	-1.000000	0.000000	2.000000	2.236068
102	1.000000	0.000000	-2.000000	2.236068
103	0.000000	1.000000	-2.000000	2.236068
104	2.000000	-1.000000	0.000000	2.236068
105	-1.000000	2.000000	0.000000	2.236068
106	1.000000	0.000000	2.000000	2.236068
107	0.000000	1.000000	2.000000	2.236068
108	2.000000	0.000000	-1.000000	2.236068
109	0.000000	2.000000	-1.000000	2.236068
110	2.000000	0.000000	1.000000	2.236068
111	0.000000	2.000000	1.000000	2.236068
112	2.000000	1.000000	0.000000	2.236068
113	1.000000	2.000000	0.000000	2.236068

SHELL NUMBER 9 WITH 24 POINTS

114	-1.000000	-2.000000	-1.000000	2.449490
115	-2.000000	-1.000000	-1.000000	2.449490
116	-1.000000	-2.000000	1.000000	2.449490
117	-2.000000	-1.000000	1.000000	2.449490
118	-1.000000	-1.000000	-2.000000	2.449490
119	-1.000000	-1.000000	2.000000	2.449490
120	1.000000	-2.000000	-1.000000	2.449490
121	1.000000	-2.000000	1.000000	2.449490
122	-2.000000	1.000000	-1.000000	2.449490
123	-2.000000	1.000000	1.000000	2.449490
124	1.000000	-1.000000	-2.000000	2.449490
125	-1.000000	1.000000	-2.000000	2.449490
126	1.000000	-1.000000	2.000000	2.449490
127	-1.000000	1.000000	2.000000	2.449490
128	2.000000	-1.000000	-1.000000	2.449490
129	2.000000	-1.000000	1.000000	2.449490
130	-1.000000	2.000000	-1.000000	2.449490
131	-1.000000	2.000000	1.000000	2.449490
132	1.000000	1.000000	-2.000000	2.449490
133	1.000000	1.000000	2.000000	2.449490
134	2.000000	1.000000	-1.000000	2.449490
135	1.000000	2.000000	-1.000000	2.449490
136	2.000000	1.000000	1.000000	2.449490
137	1.000000	2.000000	1.000000	2.449490

SHELL NUMBER 10 WITH 24 POINTS

RESULT FROM VECGEN FOR RECIPROCAL SPACE VECTORS

NO	KX	KY	KZ	D
1	0.000000	0.000000	0.000000	0.000000

SHELL NUMBER 1 WITH 1 POINTS

2	-6.283185	-6.283185	0.000000	8.885766
3	0.000000	-6.283185	6.283185	8.885766
4	-6.283185	0.000000	6.283185	8.885766
5	0.000000	-6.283185	-6.283185	8.885766
6	6.283185	-6.283185	0.000000	8.885766
7	-6.283185	0.000000	-6.283185	8.885766
8	6.283185	0.000000	6.283185	8.885766
9	-6.283185	6.283185	0.000000	8.885766
10	0.000000	6.283185	6.283185	8.885766
11	6.283185	0.000000	-6.283185	8.885766
12	0.000000	6.283185	-6.283185	8.885766
13	6.283185	6.283185	0.000000	8.885766

SHELL NUMBER 2 WITH 12 POINTS

14	0.000000	-12.566371	0.000000	12.566371
15	-12.566371	0.000000	0.000000	12.566371
16	0.000000	0.000000	12.566371	12.566371
17	0.000000	0.000000	-12.566371	12.566371
18	12.566371	0.000000	0.000000	12.566371
19	0.000000	12.566371	0.000000	12.566371

SHELL NUMBER 3 WITH 6 POINTS

20	-6.283185	-6.283185	12.566371	15.390598
21	6.283185	-6.283185	12.566371	15.390598
22	-6.283185	6.283185	12.566371	15.390598
23	-6.283185	-6.283185	-12.566371	15.390598
24	6.283185	6.283185	12.566371	15.390598
25	6.283185	-6.283185	-12.566371	15.390598
26	-6.283185	6.283185	-12.566371	15.390598
27	6.283185	6.283185	-12.566371	15.390598
28	-6.283185	-12.566371	6.283185	15.390598
29	-12.566371	-6.283185	6.283185	15.390598
30	-6.283185	-12.566371	-6.283185	15.390598
31	6.283185	-12.566371	6.283185	15.390598
32	-12.566371	-6.283185	-6.283185	15.390598
33	-12.566371	6.283185	6.283185	15.390598
34	6.283185	-12.566371	-6.283185	15.390598
35	12.566371	-6.283185	6.283185	15.390598
36	-12.566371	6.283185	-6.283185	15.390598
37	-6.283185	12.566371	6.283185	15.390598
38	12.566371	-6.283185	-6.283185	15.390598
39	12.566371	6.283185	6.283185	15.390598
40	-6.283185	12.566371	-6.283185	15.390598
41	6.283185	12.566371	6.283185	15.390598
42	12.566371	6.283185	-6.283185	15.390598

43 6.283185 12.566371 -6.283185 15.390598

SHELL NUMBER 4 WITH 24 POINTS

44-12.566371-12.566371 0.000000 17.771532
45 0.000000-12.566371 12.566371 17.771532
46-12.566371 0.000000 12.566371 17.771532
47 0.000000-12.566371-12.566371 17.771532
48 12.566371-12.566371 0.000000 17.771532
49-12.566371 0.000000-12.566371 17.771532
50 12.566371 0.000000 12.566371 17.771532
51-12.566371 12.566371 0.000000 17.771532
52 0.000000 12.566371 12.566371 17.771532
53 12.566371 0.000000-12.566371 17.771532
54 0.000000 12.566371-12.566371 17.771532
55 12.566371 12.566371 0.000000 17.771532

SHELL NUMBER 5 WITH 12 POINTS

56 -6.283185-18.849556 0.000000 19.869177
57 0.000000-18.849556 6.283185 19.869177
58-18.849556 -6.283185 0.000000 19.869177
59 0.000000 -6.283185 18.849556 19.869177
60-18.849556 0.000000 6.283185 19.869177
61 -6.283185 0.000000 18.849556 19.869177
62 0.000000-18.849556 -6.283185 19.869177
63 6.283185-18.849556 0.000000 19.869177
64-18.849556 0.000000 -6.283185 19.869177
65 6.283185 0.000000 18.849556 19.869177
66-18.849556 6.283185 0.000000 19.869177
67 0.000000 6.283185 18.849556 19.869177
68 0.000000 -6.283185-18.849556 19.869177
69 18.849556 -6.283185 0.000000 19.869177
70 -6.283185 0.000000-18.849556 19.869177
71 18.849556 0.000000 6.283185 19.869177
72 -6.283185 18.849556 0.000000 19.869177
73 0.000000 18.849556 6.283185 19.869177
74 6.283185 0.000000-18.849556 19.869177
75 18.849556 0.000000 -6.283185 19.869177
76 0.000000 6.283185-18.849556 19.869177
77 18.849556 6.283185 0.000000 19.869177
78 0.000000 18.849556 -6.283185 19.869177
79 6.283185 18.849556 0.000000 19.869177

SHELL NUMBER 6 WITH 24 POINTS

80-12.566371-12.566371 12.566371 21.765592
81-12.566371-12.566371-12.566371 21.765592
82 12.566371-12.566371 12.566371 21.765592
83-12.566371 12.566371 12.566371 21.765592
84 12.566371-12.566371-12.566371 21.765592
85-12.566371 12.566371-12.566371 21.765592
86 12.566371 12.566371 12.566371 21.765592
87 12.566371 12.566371-12.566371 21.765592

SHELL NUMBER 7 WITH 8 POINTS

NUMVR 137 NUMVG 87

AMADL =1.79185851

3.58371702

VOL 0.5000000 SWS 0.4923725

MODE, NPX, NPY, NPZ, NPT 0 0 17 0 285

POINT NUMBER 1 PKX, PKY, PKZ 0.0000 0.0000 0.0100
1.0000

QR DIAGONAL BLOCK

-5.0727E+04
5.90390E-17 5.99974E+00
-6.71812E+02 -2.23871E-18 -1.19995E+01
2.94279E-17 1.56528E-19 2.23871E-18 5.99974E+00
-4.76298E-20 8.09407E-17 -2.22137E-22 3.28932E-16 8.98887E-01
-4.99177E-19 6.52800E-02 -2.28935E-16 3.14150E-22 -4.01859E-19 -3.59555E+00
-4.47194E+00 2.07595E-16 -1.13068E-01 1.98263E-16 0.00000E+00 9.84350E-19
5.39332E+00
9.63389E-19 -3.14150E-22 -2.39710E-16 6.52800E-02 -9.86143E-19 0.00000E+00
9.84350E-19 -3.59555E+00
-4.76298E-20 3.29092E-16 2.22137E-22 8.47504E-17 4.49373E+00 9.86143E-19
0.00000E+00 4.01859E-19 8.98887E-01
-5.80181E-17 0.00000E+00 1.17871E-18 -2.60482E+00 -2.97697E-17 -2.34397E-19
4.05154E-16 -1.75834E-01 -1.67848E-16
-5.34792E-01
-6.78641E-23 2.92894E-20 0.00000E+00 -2.04158E-18 -9.74045E-03 1.45841E-16
7.03190E-19 -8.10309E-16 2.15352E-01
-1.39959E-19 3.20875E+00
-5.52930E-17 -2.01800E+00 -6.54931E-20 0.00000E+00 -2.31612E-16 3.08020E-02
2.82420E-16 -9.07815E-19 6.40605E-16
3.07239E-20 5.42060E-19 -8.02189E+00
-2.57468E-02 5.20869E-19 3.29538E+00 5.34749E-20 -7.86162E-19 5.34885E-16
4.35606E-02 2.66268E-16 5.24127E-19
6.69639E-19 -8.69003E-20 -9.89662E-19 1.06958E+01
-5.78956E-17 0.00000E+00 -6.37932E-19 -2.01800E+00 6.16426E-16 1.36167E-18
5.67331E-16 3.08020E-02 -1.15297E-16
1.45013E+01 -1.42052E-18 1.18993E-19 9.89662E-19 -8.02189E+00
6.78641E-23 7.00092E-19 0.00000E+00 2.85292E-19 2.15352E-01 -7.79724E-16
1.05475E-18 2.92968E-16 -9.74045E-03
-1.34440E-19 -2.24653E+01 1.42052E-18 -8.69003E-20 -5.42060E-19 3.20875E+00
-5.80464E-17 -2.60482E+00 -4.04199E-19 0.00000E+00 -3.29420E-16 -1.75834E-01
3.89862E-16 3.51582E-19 -5.98019E-17
-3.38383E-19 1.34440E-19 1.45013E+01 -6.69639E-19 3.07239E-20 1.39959E-19
-3.34792E-01

0.00000E+00
-5.21613E-19 0.00000E+00
0.00000E+00 8.00166E-19 0.00000E+00

5.91415E-19 5.73221E-22 -8.00166E-19 0.00000E+00
 -4.78275E-20 -5.07772E-19 -1.13505E-19 -5.88827E-18 0.00000E+00
 -3.44431E-19 0.00000E+00 1.43620E-18 1.60521E-19 -2.62523E-19 0.00000E+00
 0.00000E+00 -2.03137E-18 0.00000E+00 -1.24378E-18 2.89296E-19 6.43048E-19
 0.00000E+00
 -3.44336E-19 -1.60530E-19 2.31362E-18 0.00000E+00 -1.93099E-18 -4.72418E-19
 6.43048E-19 0.00000E+00
 -1.74426E-22 -4.60535E-18 1.13512E-19 -8.29303E-19 0.00000E+00 1.93099E-18
 2.89296E-19 2.62523E-19 0.00000E+00
 1.03859E-18 6.84588E-20 -7.91466E-19 0.00000E+00 -2.92795E-19 1.16742E-19
 5.99861E-18 2.48131E-21 3.75650E-18
 0.00000E+00
 -3.46764E-20 -3.16986E-19 -2.37148E-19 1.37086E-18 0.00000E+00 1.43439E-18
 3.50227E-19 1.19972E-17 -3.03897E-21
 -1.99949E-19 0.00000E+00
 3.46874E-19 0.00000E+00 7.08802E-19 2.65140E-19 1.12682E-19 0.00000E+00
 2.77769E-18 4.52141E-19 -9.48463E-18
 6.14523E-19 7.74401E-19 0.00000E+00
 0.00000E+00 3.40269E-19 0.00000E+00 -5.78734E-19 2.61044E-19 -2.60228E-19
 0.00000E+00 2.61883E-18 -2.61044E-19
 -1.84313E-19 -1.73813E-18 -1.41386E-18 0.00000E+00
 5.66522E-19 -2.65144E-19 -4.16743E-19 0.00000E+00 4.45303E-18 -4.52141E-19
 2.76013E-19 0.00000E+00 -1.13399E-18
 0.00000E+00 3.90987E-19 2.38004E-18 1.41386E-18 0.00000E+00
 3.46785E-20 1.37087E-18 2.37152E-19 1.86373E-19 -2.94187E-21 -5.63269E-18
 3.50227E-19 -1.42533E-19 0.00000E+00
 -2.79945E-19 0.00000E+00 -3.90987E-19 -1.73813E-18 -7.74401E-19 0.00000E+00
 8.12307E-19 0.00000E+00 -7.91472E-19 -6.84598E-20 -4.38425E-18 2.40203E-21
 2.81635E-18 -1.16742E-19 2.90944E-20
 2.70792E-18 2.79945E-19 0.00000E+00 1.84313E-19 6.14523E-19 1.99949E-19
 0.00000E+00

.0000 POINT NUMBER 2 PKX,PKY,PKZ 0.1250 0.0000 0.0000 W

QQ DIAGONAL BLOCK

-1.56910E+02
 -3.77229E+01 -2.97950E+00
 -9.85662E-19 1.70123E-19 5.95899E+00
 3.77229E+01 8.93849E+00 -1.70123E-19 -2.97950E+00
 -2.71990E+00 -2.03619E-01 4.40939E-22 1.01809E+00 8.75622E-01
 7.33933E-20 -4.41046E-19 5.75920E-01 -6.23582E-22 -1.31075E-19 -3.50249E+00
 2.22079E+00 4.98762E-01 7.63913E-19 -4.98762E-01 -3.32860E-02 3.21067E-19
 5.25373E+00
 -7.32087E-20 -6.53033E-22 -5.75920E-01 -4.41046E-19 4.89690E-19 5.43558E-02
 3.21067E-19 -3.50249E+00
 -2.71990E+00 -1.01809E+00 4.61764E-22 2.03619E-01 4.43247E+00 -4.89690E-19
 3.32860E-02 1.31075E-19 8.75622E-01
 -1.79575E-01 7.87691E-03 -1.04691E-19 -2.56930E+00 1.18705E-01 5.90501E-20
 1.10599E+00 1.97261E-18 3.07323E-01
 -5.31070E-01
 1.34709E-22 1.97655E-19 -2.72864E-02 1.81330E-19 1.55628E-22 -5.81535E-01
 1.77150E-19 -2.21197E+00 -2.41595E-18
 1.22778E-19 3.18642E+00
 1.39098E-01 -1.96577E+00 -4.41971E-19 3.05071E-02 -4.59744E-01 -4.92140E-22

1.12614E+00 2.28700E-19 1.74872E+00
 2.48876E-02 -4.75517E-19 -7.96605E+00
 1.73951E-19 1.69893E-19 3.21008E+00 3.60868E-19 -2.60914E-19 1.06173E+00
 6.95991E-22 -1.06173E+00 -1.32040E-19
 -2.78251E-19 -7.03929E-02 8.68171E-19 1.06214E+01
 -1.39098E-01 3.05071E-02 -2.08075E-19 -1.96577E+00 -1.74872E+00 4.51917E-19
 1.12614E+00 -4.92140E-22 4.59744E-01
 1.41987E+01 5.90259E-19 9.63895E-02 -8.68171E-19 -7.96605E+00
 1.41071E-22 -3.47645E-19 -2.72864E-02 9.30541E-20 -2.41595E-18 2.21197E+00
 3.50053E-19 5.81535E-01 1.55628E-22
 -8.29156E-19 -2.19965E+01 -5.90259E-19 -7.03929E-02 4.75517E-19 3.18642E+00
 1.79575E-01 -2.56930E+00 2.00713E-19 7.87691E-03 -3.07323E-01 1.97261E-18
 1.10599E+00 1.16684E-19 -1.18705E-01
 2.12057E-01 8.29156E-19 1.41987E+01 2.78251E-19 2.48876E-02 -1.22778E-19 -
 .31070E-01

-6.58640E-21
 1.78610E-19 9.58832E-21
 -1.97037E-20 -1.11011E-19 -1.91766E-20
 1.41633E-18 -1.35002E-18 1.11011E-19 9.58832E-21
 -7.68454E-19 -6.28353E-19 -1.13734E-19 -7.45890E-19 -4.20541E-19
 -2.39567E-20 1.20751E-19 1.77725E-18 1.60844E-19 1.10623E-20 1.68216E-18
 -7.14671E-21 -1.63512E-18 -2.09147E-19 -1.53914E-18 3.13934E-18 -2.70970E-20
 2.52325E-18
 4.77715E-20 1.60850E-19 1.88807E-18 1.20751E-19 -3.77874E-18 -5.12652E-18
 2.70970E-20 1.68216E-18
 4.10798E-19 -2.03308E-18 -1.13738E-19 -6.67534E-19 4.50863E-19 3.77874E-18
 3.13934E-18 -1.10623E-20 -4.20541E-19
 1.31563E-19 -7.64350E-19 3.72364E-22 -1.10288E-18 7.31958E-20 1.17200E-19
 1.06393E-17 -1.23991E-21 1.59915E-16
 2.21859E-20
 -3.47463E-20 -1.25592E-19 2.64779E-18 -6.44954E-22 -8.97126E-20 -3.58585E-19
 3.51599E-19 2.12787E-17 1.51857E-21
 -9.67749E-20 -1.33116E-19
 29247E-19 9.44112E-19 2.80833E-19 -2.96031E-18 4.52422E-19 2.83696E-19
 6.94396E-19 4.53912E-19 -1.68223E-17
 3.68658E-19 3.74807E-19 3.32789E-19
 -4.76249E-20 -1.43384E-20 -1.54173E-18 -2.29299E-19 -5.72309E-23 -1.04482E-18
 4.01207E-19 -6.54683E-19 -2.62066E-19
 1.41659E-19 -1.04272E-18 -6.84302E-19 -4.43718E-19
 4.56012E-19 -2.87725E-18 1.75608E-20 9.44112E-19 1.33718E-19 9.91268E-23
 1.10820E-18 2.83696E-19 2.83486E-19
 1.60340E-18 -3.00505E-19 1.42781E-18 6.84302E-19 3.32789E-19
 -3.47475E-20 2.68264E-18 2.57349E-18 -7.85344E-21 -1.49521E-21 -1.69142E-19
 7.67833E-23 -5.72274E-19 -8.97126E-20
 5.16606E-19 -2.48397E-18 3.00505E-19 -1.04272E-18 -3.74807E-19 -1.33116E-19
 3.58601E-19 -2.61345E-19 -1.54882E-18 -7.42903E-19 -3.22014E-16 1.22083E-21
 3.45710E-20 2.55944E-23 1.16815E-19
 1.17432E-20 -5.16606E-19 1.60340E-18 -1.41659E-19 3.68658E-19 9.67749E-20
 2.21859E-20

QR DIAGONAL BLOCK

-7.66709E+01
 -1.87200E+01 -2.95950E+00
 -2.49414E-24 -1.28583E-18 5.91900E+00
 1.87200E+01 1.85228E-18 1.28583E-18 -2.95950E+00
 -2.52059E-19 -1.98940E-01 -2.22137E-22 -2.70509E-01 8.52894E-01
 2.56428E-19 -1.52999E-23 5.62687E-01 3.14150E-22 1.54283E-19 -3.41158E+00
 2.20588E+00 4.87302E-01 2.65002E-23 -4.87302E-01 -4.57307E-18 -3.77914E-19
 5.11736E+00
 5.53334E-19 -1.25660E-21 -5.62687E-01 -1.52999E-23 4.26893E-18 7.46780E-18
 3.77914E-19 -3.41158E+00
 -5.63632E-19 2.70509E-01 8.88549E-22 1.98940E-01 4.55815E+00 -4.26893E-18
 4.57307E-18 -1.54283E-19 8.52894E-01
 4.77134E-02 2.12140E-20 5.73697E-19 -2.64216E+00 1.15812E-01 2.25190E-22
 1.08840E+00 -1.98193E-23 2.85954E-01
 -5.27345E-01
 -6.78641E-23 -1.42054E-19 -7.34876E-20 -9.93673E-19 0.00000E+00 -5.67359E-01
 6.75571E-22 -2.17680E+00 2.42735E-23
 4.28292E-19 3.16407E+00
 1.35902E-01 -1.91474E+00 3.17642E-19 8.21616E-20 -4.48537E-01 0.00000E+00
 1.069E+00 8.72158E-22 1.72091E+00
 -1.85764E-19 -1.65877E-18 -7.91018E+00
 6.03436E-24 -1.99973E-19 3.12676E+00 -2.59354E-19 -1.01539E-21 1.03585E+00
 0.00000E+00 -1.03585E+00 -5.03541E-22
 -1.48585E-19 5.25419E-19 3.02848E-18 1.05469E+01
 -1.35902E-01 4.19129E-18 2.44916E-19 -1.91474E+00 -1.72091E+00 1.75871E-21
 1.09869E+00 0.00000E+00 4.48537E-01
 1.38990E+01 3.15196E-19 -7.19459E-19 -3.02848E-18 -7.91018E+00
 2.71456E-22 -3.03064E-18 -3.74881E-18 -1.09530E-19 7.65572E-19 2.17680E+00
 1.36229E-21 5.67359E-01 0.00000E+00
 -1.67291E-18 -2.15322E+01 -3.15196E-19 5.25419E-19 1.65877E-18 3.16407E+00
 -4.77134E-02 -2.64216E+00 1.74974E-18 1.08219E-18 -2.85954E-01 -6.25087E-19
 1.08840E+00 4.54097E-22 -1.15812E-01
 2.65786E-18 1.67291E-18 1.38990E+01 1.48585E-19 -1.85764E-19 -4.28292E-19 -5.27345E-01
 2.89910E-19
 -1.87200E+01 -7.88776E-20
 -1.57322E-19 -1.86089E-18 1.57755E-19
 -1.87200E+01 -8.94862E+00 1.86089E-18 -7.88776E-20
 -2.72298E+00 -1.98940E-01 0.00000E+00 2.70509E-01 -3.54005E-19
 -8.98648E-21 0.00000E+00 5.62687E-01 0.00000E+00 1.63283E-19 1.41602E-18
 5.87919E-20 -4.87302E-01 0.00000E+00 -4.87302E-01 -2.50502E-01 -3.99960E-19
 2.12403E-18
 8.00798E-19 -3.14150E-22 5.62687E-01 0.00000E+00 -3.77923E-18 4.09068E-01
 3.99960E-19 1.41602E-18
 2.72298E+00 2.70509E-01 2.22137E-22 -1.98940E-01 -2.34122E-20 3.77923E-18
 2.50502E-01 -1.63283E-19 -3.54005E-19
 -4.77134E-02 -5.92796E-02 9.48171E-22 -1.37660E+18 1.15812E-01 -2.97289E-23
 1.08840E+00 -1.98193E-23 2.85954E-01
 1.04141E-19
 0.00000E+00 3.87099E-19 2.05351E-01 -1.64228E-21 0.00000E+00 -5.67359E-01
 3.91867E-23 2.17680E+00 2.42735E-23
 -1.94321E-19 -6.24844E-19
 1.35902E-01 7.94740E-19 -8.65578E-19 -2.29589E-01 4.48537E-01 0.00000E+00
 1.09869E+00 -1.15139E-22 -1.72091E+00

1.17139E-01 7.52602E-19 1.56211E-18
0.00000E+00 -2.11639E-19 -1.29780E-18 7.06741E-19 -5.04805E-23 -1.03585E+00
0.00000E+00 -1.03585E+00 6.64758E-23
1.46357E-18 -3.31318E-01 -1.37406E-18 -2.08281E-18
1.35902E-01 2.29589E-01 2.59203E-19 7.94740E-19 -1.72091E+00 8.74348E-23
1.09869E+00 0.00000E+00 4.48537E-01
1.20992E-17 -3.10471E-18 4.53676E-01 1.37406E-18 1.56211E-18
6.78641E-23 2.68298E-18 -2.05351E-01 -1.15919E-19 -2.42735E-23 2.17680E+00 -
6.77267E-23 -5.67359E-01 0.00000E+00
-1.61929E-21 -1.87440E-17 3.10471E-18 -3.31318E-01 -7.52602E-19 -6.24844E-19
-4.77134E-02 1.35710E-20 -1.54902E-18 5.92796E-02 2.85954E-01 1.98193E-23 -
1.08840E+00 2.25756E-23 1.15812E-01
3.88940E-01 1.61929E-21 1.20992E-17 -1.46357E-18 1.17139E-01 1.94321E-19 1
.04141E-19

6. ZAKLJUČAK

Izračunavanje elektronske zonske strukture predstavlja usko specijalizovanu oblast fizike čvrstog stanja, pa ipak omogućava interpretaciju velikog broja eksperimentalnih činjenica. U ovom radu dat je kratak pregled metoda za izračunavanje zonske strukture, kao i razlozi zbog kojih smo se opredelili za proučavanje LMTO metoda. Treba naglasiti da se zbog svoje računске efikasnosti i mogućnosti primene na široki spektar materijala, LMTO metoda ubraja u najčešće korišćene. Posebnu prednost ovom metodu daje njegova osobina da se računanje može podeliti na dva nezavisna dela: prvi koji zavisi od potencijala i drugi koji zavisi od strukture kristala.

Ovaj rad se bavio ispitivanjem strukturnih konstanti - nosilaca informacija o uticaju konkretne strukture kristala na zonsku strukturu. Opisane su tri vrste strukturnih konstanti i njihove osobine. LMTO metod u aproksimaciji atomskih sfera (ASA) koristi kanonske strukturne konstante koje ne zavise od energije i invarijantne su na uniformnu promenu skale rešetke.

U radu je dat program za izračunavanje kanonskih strukturnih konstanti i njihove matrice su izračunate za kubnu zapreminski centriranu strukturu. Iz opisa datoteke ulaznih podataka vidi se da je veoma lako promeniti ove podatke i izračunati strukturne konstante za bilo koju drugu strukturu.

7. SPISAK LITERATURE

- [1] M. Born, J.R. Oppenheimer, Ann. Phys., 97, 457 (1927)
- [2] J.C. Slater: Phys. Rev. 51, 846 (1937)
- [3] O.K. Andersen: "Comments on the KKR Wavefunctions, Extension of the Spherical Wave Expansion Beyond the Muffin-Tins", in Computational Methods in Band Theory, ed. by P.M. Marcus, J.F. Janak, A.R. Williams (Plenum, New York 1971) p. 178
- [4] O. Jepsen: Phys. Rev. B 12, 2988 (1975)
- [5] O. Jepsen, O.K. Andersen, A.R. Mackintosh: Phys. Rev. B12, 3084 (1975)
- [6] P. Hohenberg, W. Kohn, Phys. Rev., 136, B 864 (1964)
- [7] W. Kohn, L.J. Sham, Phys. Rev., 140, A 1133 (1965)
- [8] S. Raimes: "The Wave Mechanics of Electrons in Metals", Amsterdam (1961)
- [9] H. L. Skriver: "The LMTO Method, Muffin-Tin Orbitals and Electronic Structure", Springer-Verlag (1984)
- [10] O.K. Andersen, O. Jepsen: Physica B91, 317 (1977)
- [11] Y.D. Talman: "Special Functions", Benjamin, New York, (1968)
- [12] Z. Popović: "Metod pseudopotencijala i problem proračuna Fermi površi kod polumetala" (Magistarski rad), Beograd (1987)
- [13] O.K. Andersen: Phys. Rev. B12, 3060 (1975)
- [14] K. B. КИРИЛОВ, С. Ю. САВРАСОВ: "ПРОГРАММА ДЛЯ САМОСОГЛАСОВАННОГО РАСЧЕТА ЗОННОЙ СТРУКТУРЫ МЕТОДОМ ЛМТО", МОСКВА (1987)

```

CC$RESET FREE
CC$SET DBLTOSNGL
CCFILE 5(KIND=DISK,TITLE='DATA/STR/FCP',FILETYPE=7)
CCFILE 6(KIND=PRINTER)
CCFILE 9(KIND=DISK,MAXRECSIZE=300,BLOCKSIZE=300,FILESIZE=,
CC      IAREASIZE=15,AREAS=10,TITLE='STR/FCP/P2')

```

```

C *****

```

```

C *
C *   CALCULATION OF CRYSTAL STRUCTURE CONSTANTS
C *   VERSION JUN. 1985

```

```

C *   H.L. SKRIVER
C *   RISØE NATIONAL LABORATORY
C *   DK-4000 ROSKILDE
C *   DENMARK

```

```

C *****

```

```

C *   FILES AND THEIR ATTRIBUTES

```

```

C *   FILE 5 : FORMATTED, TYPE=SEQUENTIAL, RECORDLENGTH=,
C *           NAME=DATA/STR/XXX
C *   FILE 6 : PRINTER
C *   FILE 9 : UNFORMATTED, TYPE=SEQUENTIAL, RECORDLENGTH=VARIABLE,
C *           NAME=STR/XXX/A

```

```

C *****

```

```

C *   INPUT (FILE 5) <MAIN>
C *   -----

```

```

C *   ALANDA : CONVERGENCE PARAMETER LAMDA
C *   A MAX   : RADIUS OF CONVERGENCE SPHERE IN REAL SPACE IS
C *           A MAX/LAMDA
C *   B MAX   : RADIUS OF CONVERGENCE SPHERE IN RECIPROCAL SPACE IS
C *           2.*ALANDA*B MAX
C *   BUA     : B/A LATTICE PARAMETER
C *   BSX     :
C *   BSX     : PRIMITIVE VECTORS IN REAL SPACE, UNITS OF A
C *   BSZ     :
C *   CUA     : C/A LATTICE PARAMETER
C *   DUMMY   : NOT USED
C *   ICNVRG  : =-1: MADELUNG CONSTANTS ONLY
C *           =0: NO CONVERGENCE TEST
C *           =1: CONVERGENCE TEST
C *   IPRIM   : =0: READ PRIMITIVE VECTORS ON FILE 5
C *           =1: GENERATE STANDARD PRIMITIVE VECTORS FROM
C *               A, B, C, ALPHA, BETA, AND GAMMA
C *   LAT     : BRILLOUIN ZONE, SEE <MESH>
C *   MODE    : =0: AUTOMATIC GENERATION OF K-POINTS, <MODE>
C *           =1: K-POINTS FROM INPUT
C *           =-1: K=0, FOR MULTIPOLE EXPANSION
C *   NL      : NUMBER OF L-QUANTUM NUMBERS, L MAX=NL-1
C *   NOWRT   : =0: SHORT PRINTOUT
C *           =1: PRINT VECTORS
C *           =2: PRINT STRUCTURE CONSTANT MATRIX
C *   NPOINT  : =NPX: NUMBER OF K-POINTS TO BE READ, MODE=1
C *   NPX     :
C *   NPY     : NUMBERS FOR K-MESH CONSTRUCTION, SEE <MESH>
C *   NPZ     :
C *   NQ      : NUMBER OF ATOMS IN THE PRIMITIVE CELL
C *   OKX     :
C *   OKY     : K-VECTOR IN UNITS OF PI/A, MODE=1. HEXAGONAL
C *   OKZ     : COORDINATES IF LAT=4
C *   POINT   : SYMMETRY LABEL, MODE=1

```

```

C      *   QX
C      *   QY   :BASIS VECTORS IN REAL SPACE IN UNITS OF A
C      *   QZ
C      *   TXT   :60 CHARACTERS OF TEXT FOR IDENTIFICATION
C
C *****
C
C      *   OUTPUT (FILE 9) <MAIN>
C      *   -----
C
C      *   DUM1   :NOT USED
C      *   KRX
C      *   KKY   :K-VECTOR IN UNITS OF (QX,QY,QZ)*PI/A
C      *   KKZ
C      *   LMJ   :DIMENSION OF STRUCTURE CONSTANT MATRIX, REAL
C      *   NLM   :SUM OF 2*L+1, =NL**2
C      *   NP    :COUNTER
C      *   NPT   :NUMBER OF K-POINTS IN IRREDUCIBLE ZONE,MODE=0
C      *           NUMBER OF K-POINTS READ,MODE=1
C      *   PKX
C      *   PKY   :K-VECTOR IN UNITS OF PI/A,RECTANGULAR COORD.
C      *   PKZ
C      *   SRL   :LOWER TRIANGLE OF STRUCTURE CONSTANT MATRIX,
C      *           REAL PART
C      *   SIL   :LOWER TRIANGLE OF STRUCTURE CONSTANT MATRIX,
C      *           IMAGINARY PART
C      *   SWS   :KIGNER-SEITZ RADIUS IN UNITS OF A
C      *   W#    :SYMMETRY WEIGHTS
C
C *****
C      IMPLICIT REAL*8 (A-H,O-Z)
C      COMPLEX*16 CIM,CCIM,SPHRM,DONPLX
C      COMMON/B1/CIM,CCIM,C(25,25),FAC(17),DAC(17),S(24),I(24),
C      1ALANDA,1WOPI,FPL30M,SWS,VOL,SWSL,BMAX,GMAX,ICMVG,DCST,
C      2NUMVR,NUMVG,NO,NPO,NL2,PLC0,NL,NLM,LNO,NOPKI,IP1,IP1C
C      COMMON/B2/SRL(4096),SIL(4096)
C      COMMON/MSH/DKX,DKY,DKZ,DHX,BOA,COA,ALF,BET,CAI,IRX(3),IY(3),
C      1TKZ(3),KX(2500),KY(2500),KZ(2500),N(2500)
C      COMMON/VEC/BSX(3),BSY(3),BSZ(3),BRX(3),BRY(3),BRZ(3),IX(6),IY
C      1QZ(6),ASX(500),ASY(500),ASZ(500),ARX(500),ARY(500),APZ(500),
C      2DR(500),DG(500),
C      3USX(500),USY(500),USZ(500),URX(500),URY(500),URZ(500)
C      INTEGER TLAT(14)/' SC',' FCC',' BCC',' REX',' ST',' BCF',
C      1'TRIG',' SO',' BACO',' BCO',' FCO',' SF',' PCA',' TPIU'/
C      INTEGER TXT(15)/'STR','FOR','','','12*','','','PRIP1'/
C      DATA IDUM/0/,DUM1/0.00/
C      OPEN(5,FORM='FORMATTED',RECL=80,NAME='STR.DAT',TYPE='OLD')
C      OPEN(6,FORM='FORMATTED',NAME='STR.OUT',TYPE='NEW')
C      OPEN(9,FORM='UNFORMATTED',NAME='STR.DSK',TYPE='NEW')
C      1 FORMAT(15A4)
C      2 FORMAT(3E15.7)
C      3 FORMAT(2I5,5X,F10.6)
C      4 FORMAT(1H ,//,11X,'BASIS VECTORS',//)
C      5 FORMAT(1H1,10X,15A4,/)
C      6 FORMAT(1H ,10X,'AMAX',F10.5,' BMAX',F10.5,/,11X,'GMAX',F10.5,
C      1' GMAX',F10.5,/,10X,' NL',I4,' NQ',I4,' NLM',I4,' LNO',I4,/,10
C      2' LAMDA',F10.5,/,10X,' NOWRT',I4,' ICMVG',I4,' IPRIM',I3,/)
C      7 FORMAT(4I5)
C      8 FORMAT(3F10.6,A4)
C      9 FORMAT(1H ,//,11X,'POINT NUMBER',15,5X,'PKX,PKY,PKZ',3F10.4,
C      15X,'W',F10.4,5X,A4)
C      10 FORMAT(1H ,/,11X,'VOL',F15.7,' SWS',F15.7)
C      11 FORMAT(1H ,11X,'( ',F10.5,',',F10.5,',',F10.5,' )')
C      12 FORMAT(1H ,//,11X,'PRIMITIVE VECTORS IN UNIT CELL OF ',//,/,1
C      1'BOA',F15.10,' COA',F15.10,/)

```

```

CC 13 FORMAT(3F10.5,3I5)
14 FORMAT(1H ,/,11X,'*MATRICES GENERATED AT AN EARLIER RI *',//)
16 FORMAT(1H ,/,11X,'MODE,APX,OPY,LPZ,NPT',5I5)
17 FORMAT(1H ,/,11X,'NGST ='12)

C
TDIM=64
CIM=DCMPLX(0.000,1.000)
CCIN=DCMPLX(0.000,-1.000)
PI=4.000*DATAN(1.000)
TWOPI=2.000*PI
FOURPI=4.000*PI
SORTPI=DSORT(PI)

C
READ(5,1) (TXT(I),I=4,15)

C
TXT(15)=' NEW'

C
CC READ(5,13) AMAX,BMAX,DUMMY,INDVRT,ICNVRC,IPRI
READ(5,'(4(6X,F4.2))') ALAMDA,AMAX,BMAX,DUMMY
CC READ(5,3) NL,NQ,ALAMDA
READ(5,'(3X,I2,4X,I2,7X,I2,8X,I2,7X,I2)')L,L1,
1 INDVRT,ICNVRC,IPRI
C READ(5,8) DUMMY

C
NLV=NL*NL
LMO=NLM*NQ
NL2=2*NL-1
L=NL2-1
KLM0=L*(L+1)+L+1
RMAX=AMAX/ALAMDA
GMAX=2.*ALAMDA*BMAX

C
CALL FACTOR(4*(NL-1))
CALL GAUHT

C
WRITE(6,5) TXT
WRITE(6,6) AMAX,BMAX,RMAX,GMAX,NL,NQ,NL1,LNL,ALAMDA,
INDVRT,ICNVRC,IPRI

C
C CONSTRUCT OR READ PRIMITIVE VECTORS BSX,BSY,BSZ OF REAL SPACE
C
C CALL PRIMV(LAT,IPRI)

C
C READ THE NQ BASIS VECTORS QX,OY,QZ IN THE PRIMITIVE CELL
C
DO 21 I=1,NQ
CC 21 READ(5,2) QX(I),OY(I),OZ(I)
21 READ(5,'(3F10.6)') QX(I),OY(I),OZ(I)
WRITE(6,12) TLAT(LAT),BOA,COA
DO 30 I=1,3
30 WRITE(6,11) BSX(I),BSY(I),BSZ(I)
WRITE(6,4)
DO 25 I=1,NQ
25 WRITE(6,11) QX(I),OY(I),OZ(I)

C
C GENERATE THE NUMVR AND NUMVG SHORTEST VECTORS
C OF REAL AND RECIPROCAL SPACE
C
C CALL VECGEN(NUMR,NUMG,LAT)

C
SWS=(3.000*VOL/FOURPI/NQ)**(1.000/3.000)
SWSL=SWS*ALAMDA
FPL3OM=PI*SORTPI/ALAMDA**3.000/VOL

C
CALL MADL

```

```

C
IF(ICHVRG.LT.0) STOP
WRITE(6,10) VOL,SWS
READ(5,7) MODE,NPX,NPY,NPZ
IF(MODE) 33,31,28

C
C
GENERATE MESH IN K-SPACE

C
31 CALL MESH(LAT,NPX,NPY,NPZ,NPT)

C
WRITE(6,16) MODE,NPX,NPY,NPZ,NPT
WRITE(9) TXT,NL,NQ,NLM,LMQ,SWS
WRITE(9) NPX,NPY,NPZ,LAT,NPT,BOA,COA,DOA,
NGST=1
BACKGR=0.

C
DO 23 NP=1,NPT
IF(NP.GT.3) NOKRT=0.
KKX=KX(NP)
KKY=KY(NP)
KKZ=KZ(NP)
CALL KTRNSF(LAT,KKX,KKY,KKZ,PKX,PKY,PKZ)
IF(NOKRT.GT.1) WRITE(6,9) NP,PKX,PKY,PKZ,P(UP),POINT
WW=W(NP)
WRITE(9) NP,PKX,PKY,PKZ,WW,POINT,KKX,KKY,KKZ
PKXP=PKX*PI
PKYP=PKY*PI
PKZP=PKZ*PI

C
CALL SMTRX(PKXP,PKYP,PKZP)

C
J1=-IDIM
DO 24 JJ=1,LMQ
J1=J1+IDIM
I1=J1+JJ
I2=J1+LMQ
WRITE(9) (SRL(LIN),LIN=I1,I2)
24 WRITE(9) (SIL(LIN),LIN=I1,I2)
23 CONTINUE
CC CLOSE(9,DISP=CRUNCH)
CLOSE(9)
STOP

C
C
READ K-VECTOR IN UNITS OF PIA

C
28 WW=0.D0
NPOINT=NPX
WRITE(6,16) MODE,NPX,NPY,NPZ,NPOINT
WRITE(9) TXT,NL,NQ,NLM,LMQ,SWS
WRITE(9) NPX,NPY,NPZ,LAT,NPOINT,BOA,COA,DOA,
KKX=0
KKY=0
KKZ=0
FX=PI
FY=PI/BOA
FZ=PI/COA
FHX=0.D0

C
DO 29 I=1,NPOINT
READ(5,8) OKX,OKY,OKZ,POINT
WRITE(6,9) I,OKX,OKY,OKZ,WW,POINT
WRITE(9) I,OKX,OKY,OKZ,WW,POINT,KKX,KKY,KKZ
PKXP=OKX*FX
PKYP=OKY*FY
PKZP=OKZ*FZ

```

```

C
C      CALL SMTRX(PKXP,PKYP,PKZP)
C
C      J1=-IDIM
C      DO 26 J=1,LMQ
C      J1=J1+IDIM
C      I1=J1+J
C      I2=J1+LMQ
C      WRITE(9) (SRL(LIN),LIN=I1,I2)
26 WRITE(9) (SIL(LIN),LIN=I1,I2)
C      CONTINUE
CC      CLOSE (9,DISP=CRUNCH)
C      CLOSE(9)
C      STOP
C
C      STRUCTURE CONSTANTS FOR K= 0. FOR USE IN MULTIPLE EXPANSION
C
C      33  RW=0.00
C      NPOINT=1
C      I=1
C      WRITE(6,16) MODE,NPX,NPY,NPZ,NPOINT
C      WRITE(9) TXT,NL,NQ,MLN,LMQ,SWS
C      WRITE(9) NPX,NPY,NPZ,LAT,NPOINT,BGA,CGA,SUM1
C      KKX=0
C      KKY=0
C      KKZ=0
C      POINT=' '
C      OKX=0.
C      OKY=0.
C      OKZ=0.
C      WRITE(6,9) I,OKX,OKY,OKZ,NL,POINT
C      WRITE(9) I,OKX,OKY,OKZ,RW,POINT,KKX,KKY,KKZ
C
C      EXCLUDE G = 0 IN SUM AND SET BACKGROUND TERMS TO BE SUBTRACTED
C
C      NGST=2
C      BACKGR=PT*SWS/VOL/ALAMDA**2
C
C      CALL SMTRX(0.,0.,0.)
C
C      J1=-IDIM
C      DO 32 J=1,LMQ
C      J1=J1+IDIM
C      I1=J1+J
C      I2=J1+LMQ
C      WRITE(9) (SRL(LIN),LIN=I1,I2)
32 WRITE(9) (SIL(LIN),LIN=I1,I2)
CC      CLOSE (9,DISP=CRUNCH)
C      CLOSE(9)
C      STOP
C      END
C      BLOCK DATA
C      *****
C      *
C      *      INSERT LM-DATA
C      *
C      *****
C      COMMON/LDATA/LL(81),MM(81)
C      DATA LL/0,3*1,5*2,7*3,9*4,11*5,13*6,15*7,17*8/
C      DATA MM/0,-1,0,1,-2,-1,0,1,2,-3,-2,-1,0,1,2,3,-4,-3,-2,-1,0,1,2,
C      3,4,-5,-4,-3,-2,-1,0,1,2,3,4,5,-6,-5,-4,-3,-2,-1,0,1,2,3,4,5,0,
C      2-7,-6,-5,-4,-3,-2,-1,0,1,2,3,4,5,6,7,-8,-7,-6,-5,-4,-3,-2,-1,0,
C      31,2,3,4,5,6,7,8/
C      END
C      SUBROUTINE VECGEN(MUNK,MMIG,LAT)

```

```

C *****
C *
C *   GENERATE VECTORS OF DIRECT AND RECIPROCAL SPACE FROM
C *   BASIC TRANSLATION VECTORS (BSX,BSY,BSZ)
C *
C *****
CC  IMPLICIT REAL*8 (A-H,O-Z)
    REAL*4 ZRN371,ZRN372
    COMPLEX*16 CIM,CCIM
    COMMON/D1/CIM,CCIM,CC(25,25),FAC(17),DAC(17),SERTM1,3ACFCL,
    1ALANDA,TWOPI,FPL30M,SWS,VOL,S,SL,RMAX,GMX,IC,VMG,POST,
    2NUMVR,NUMVG,NQ,NR0,HL2,KLM0,NL,PLP,LMD,DOEFT,II,IO,IOIIC
    COMMON/NSH/DKX,DKY,DKZ,DXH,BOA,COA,ALF,BLT,CAI,TRK(3),IFY(5),
    1TRZ(3),KX(2500),KY(2500),KZ(2500),A(2500)
    COMMON/VFC/BSX(3),BSY(3),BSZ(3),BKX(3),BKY(3),BKZ(3),AX(6),AY(6),
    1QZ(6),ASX(500),ASY(500),ASZ(500),AKX(500),AKY(500),AKZ(500),
    2DR(500),DG(500),
    3USX(500),USY(500),USZ(500),UKX(500),UKY(500),UKZ(500)
    DIMENSION CSX(500),CSY(500),CSZ(500),P(500),DQ(3),DF(3)
    INTEGER NSR(100),NSC(100)
    1 FORMAT(1H ,//,15X,'SHELL NUMBER',15,' WITH',15,' POINTS',//)
    2 FORMAT(1H ,10X,15,4F10.6)
    3 FORMAT(1H ,10X,'(',F10.5,',',F10.5,',',F10.5,')',//)
    4 FORMAT(1H1,14X,'RESULT FROM VECGEN FOR REAL SPACE VECTORS',//,
    114X,'NO',5X,'SX',8X,'SY',8X,'SZ',8X,'D',//)
    5 FORMAT(1H1,10X,'RESULT FROM VECGEN FOR RECIPROCAL SPACE VECTORS',
    1//,14X,'NO',5X,'KX',8X,'KY',8X,'KZ',8X,'D',//)
    6 FORMAT(1H ,//,11X,'PRIMITIVE VECTORS OF RECIPROCAL SPACE',//,11X
    1'IN UNITS OF 2*PI/A'//)
    7 FORMAT(1H ,//,11X,'R1',F10.4,' RA',F10.4,/,11X,'G1',F10.4,
    1' GA',F10.4,/)
    8 FORMAT(1H ,10X,'NUMVR',I4,' NUMVG',I4,/)
    9 FORMAT(1H ,'*** NR EXCEEDS DIMENSIONS OF ASX,ASY,ASZ',15,5F10.4)
    10 FORMAT(1H ,'*** NC EXCEEDS DIMENSIONS OF AKX,AKY,AKZ',15,5F10.4)
    11 FORMAT(1H ,10X,'NUMR',I4,' NUMG',I4,/)

C
C   WRITE(6,6)
C
C   PRIMITIVE VECTORS (BKX,BKY,BKZ) OF RECIPROCAL SPACE
C
    DO 20 I=1,3
    I1=1+MOD(I,3)
    I2=1+MOD(I1,3)
    CALL CROSS(BSX(I1),BSY(I1),BSZ(I1),BSX(I2),BSY(I2),BSZ(I2),
    1BKX(I),BKY(I),BKZ(I))
    20 CONTINUE
    VOL=DABS(BSX(1)*BKX(1)+BSY(1)*BKY(1)+BSZ(1)*BKZ(1))

C
    DO 21 I=1,3
    BKX(I)=BKX(I)/VOL
    BKY(I)=BKY(I)/VOL
    BKZ(I)=BKZ(I)/VOL
    21 WRITE(6,3) BKX(I),BKY(I),BKZ(I)
    DO 32 I=1,3
    BKX(I)=BKX(I)*TWOPI
    BKY(I)=BKY(I)*TWOPI
    32 BKZ(I)=BKZ(I)*TWOPI

C
C   CALCULATE RADII RA,GA OF SPHERES HOLDING ALL VECTORS USED IN LA
C   TICE SUMS. R1 IS LONGEST BASIS VECTOR. G1 IS LONGEST VECTOR IN
C   BRILLOUIN ZONE. MUST BE RECONSIDERED IN ANY NEW APPLICATIONS
C
    R1=1.E-06
    DO 35 IQ=1,NQ
    PUX=QX(IQ)

```



```

    PQY=QY(IQ)
    PQZ=QZ(IQ)
    DO 35 JQ=IQ,NQ
    X=PQX-QX(JQ)
    Y=PQY-QY(JQ)
    Z=PQZ-QZ(JQ)
    DQ=DSQRT(X*X+Y*Y+Z*Z)
    IF(DQ.LT.R1) GO TO 35
    R1=DQ
35  CONTINUE
    R1=R1*1.001
    RA=RMAX+R1
    IF(LAT.EQ.1) G1=DSQRT(3.000)*3.15
    IF(LAT.EQ.2) G1=DSQRT(5.000)*3.15
    IF(LAT.EQ.3) G1=6.29000
    IF(LAT.EQ.4) G1=DSQRT(16./9.+(1./COA)**2)*3.15
    IF(LAT.EQ.5) G1=DSQRT(2.+(1./COA)**2)*3.15
    IF(LAT.EQ.6) G1=DSQRT(0.5+(1./COA)**2)*6.29
    IF(LAT.EQ.7) G1=DSQRT(16./27.+(1./COA)**2)*6.52
    IF(LAT.EQ.9) G1=DSQRT(1.+(2./DOA)**2+(1./COA)**2)*3.15
CC   IF(LAT.EQ.13) G1=DSQRT(AMAX1(0.25/ROA**2*(1.+COTAN(CAM))**2
CC   1+1./COA**2,1./COS(CAM)**2+DABS(0.5/ROA*COTAN(CAM))**2
CC   2+0.25/ROA**2.))*6.29
    IF(GAM.EQ.0.000) GO TO 9736
    COTAN=1./DTAN(GAM)**2
    IF(LAT.EQ.13) G1=DSQRT(DMAX1(0.25/ROA**2*(1.+COTAN(CAM))
    1+1./COA**2,1./DCOS(GAM)**2+DABS(0.5/ROA*COTAN(CAM))**2
    2+0.25/ROA**2.))*6.29
9736 GA=GMAX+G1
    WRITE(6,7) R1,RA,G1,GA
C
    DO 36 I=1,3
    DD(I)=DSQRT(BSX(I)**2+BSY(I)**2+BSZ(I)**2)
36  DK(I)=DSQRT(BKX(I)**2+BKY(I)**2+BKZ(I)**2)
    DDM=DMAX1(DD(1),DD(2),DD(3))
    DKM=DMAX1(DK(1),DK(2),DK(3))
    DDM=TWOPY/DDM
    DKM=TWOPY/DKM
    NUMR=2*(INT(RA/DKM)+1)+1
    NUMG=2*(INT(GA/DDM)+1)+1
CC   ZRN371=SNGL(RA/DKM)
CC   ZRN372=SNGL(GA/DDM)
CC   NUMR=2*(1+IFIX(ZRN371)+1)+1
CC   NUMG=2*(1+IFIX(ZRN372)+1)+1
    NUMRH=NUMR/2+1
    NUMGH=NUMG/2+1
    WRITE(6,11) NUMR,NUMG
C
C   REAL SPACE
C
    IF(NOWRT.GT.0) WRITE(6,4)
    NR=0
    NR0=0
    DO 22 L=1,NUMR
    A=L-NUMRH
    DO 22 M=1,NUMR
    B=M-NUMRH
    DO 22 N=1,NUMR
    C=N-NUMRH
    SX=A*BSX(1)+B*BSX(2)+C*BSX(3)
    SY=A*BSY(1)+B*BSY(2)+C*BSY(3)
    SZ=A*BSZ(1)+B*BSZ(2)+C*BSZ(3)
    DX=DSQRT(SX*SX+SY*SY+SZ*SZ)
    IF(DX.GT.RA) GO TO 22
    IF(DX.LE.RMAX) NR0=NR0+1

```

```

NR=NR+1
IF(NR.GT.500) GO TO 33
D(NR)=DX
CSX(NR)=SX
CSY(NR)=SY
CSZ(NR)=SZ
22 CONTINUE

C
C
C
SORT VECTORS IN ORDER OF INCREASING D

DA=1.D-06
NSH=0
NSHL=-1
DO 23 K=1,NR
AMIN=1000.
DO 24 N=1,NR
IF(D(N)-AMIN)25,24,24
25 AMIN=D(N)
N1=N
24 CONTINUE
NSHL=NSHL+1
ASX(K)=CSX(N1)
ASY(K)=CSY(N1)
ASZ(K)=CSZ(N1)
DB=D(N1)
DR(K)=DB
IF(DB.GT.DA+1.D-06) GO TO 26
IF(NOWRT.GT.0) WRITE(6,2)K, ASX(K),ASY(K),ASZ(K),DB
GO TO 23
26 NSH=NSH+1
IF(NOWRT.GT.0) WRITE(6,1) NSH,NSHL
NSR(NSH)=NSHL
IF(NOWRT.GT.0) WRITE(6,2)K, ASX(K),ASY(K),ASZ(K),DB
NSHL=0
DA=DB
23 D(N1)=1000.
NSH=NSH+1
NSHL=NSHL+1
NSR(NSH)=NSHL
IF(NOWRT.GT.0) WRITE(6,1) NSH,NSHL
NUMVR=NR
NSHLR=NSH

C
C
C
RECIPROCAL SPACE

IF(NOWRT.GT.0) WRITE(6,5)
NG=0
DO 27 L=1,NUMG
A=L-UMGH
DO 27 M=1,NUMG
B=M-UMGH
DO 27 N=1,NUMG
C=N-UMGH
GX=A*BKX(1)+B*BKX(2)+C*BKX(3)
GY=A*BKY(1)+B*BKY(2)+C*BKY(3)
GZ=A*BKZ(1)+B*BKZ(2)+C*BKZ(3)
DX=DSQRT(GX*GX+GY*GY+GZ*GZ)
IF(DX.GT.GA) GO TO 27
NG=NG+1
IF(NG.GT.500) GO TO 34
D(NG)=DX
CSX(NG)=GX
CSY(NG)=GY
CSZ(NG)=GZ
27 CONTINUE

```

C
C
C

SORT VECTORS IN ORDER OF INCREASING D

```
DA=1.E-06
NSH=0
NSHL=-1
DO 28 K=1,NG
AMIN=1000.
DO 29 N=1,NC
IF(D(N)-AMIN)30,29,29
30 AMIN=D(N)
N1=N
29 CONTINUE
NSHL=NSHL+1
AKX(K)=CSX(N1)
AKY(K)=CSY(N1)
AKZ(K)=CSZ(N1)
DB=D(N1)
DG(K)=DB
IF(DB.GT.DA+1.E-07) GO TO 31
IF(NOWRT.GT.0) WRITE(6,2) K,AKX(K),AKY(K),AKZ(K),DB
GO TO 28
31 NSH=NSH+1
IF(NOWRT.GT.0) WRITE(6,1) NSH,NSHL
IF(NOWRT.GT.0) WRITE(6,2)K, AKX(K),AKY(K),AKZ(K),DB
NSG(NSH)=NSHL
NSHL=0
DA=DB
28 D(N1)=1000.
NSH=NSH+1
NSHL=NSHL+1
NSG(NSH)=NSHL
IF(NOWRT.GT.0) WRITE(6,1) NSH,NSHL
NUMVG=NG
NSHLC=NSH
WRITE(6,8) NUMVR,NUMVG
RETURN
33 WRITE(6,9) NR,DX,RA,RMAX
STOP
34 WRITE(6,10)NG,DX,GA,GMAX
STOP
END
```

SUBROUTINE SMTRX(PKXP,PKYP,PKZP)

C
C
C
C
C

```
*****
*
*   CALCULATION OF THE STRUCTURE CONSTANT MATRIX
*
*****
IMPLICIT REAL*8 (A-H,O-Z)
COMPLEX*16 SUMR,SUMG,SR,CCIM,CCIH,CIL,DCMPLX,YLND,CBEXP,CAPIDL,
1SRC
REAL*8 DREAL,DIMAG
COMMON/B1/CIM,CCIM,C(625),FAC(17),DAC(17),SORTP1,BACKUP,
1ALANDA,1WOPI,FPL30M,SWS,VOL,SWSL,RMAX,GMAX,ICNVAC,ICST,
2NUMVR,NUMVG,NG,NR0,NL2,KLH0,NL,HLM,LMC,NOWRT,1D1E,1D100
COMMON/B2/SRKL(4096),SIKLP(4096)
COMMON/LDATA/LL(81),MM(81)
COMMON/VEC/BSX(3),BSY(3),BSZ(3),BKX(3),BKY(3),BZ(3),GX(6),GY(6),
1QZ(6),ASX(500),ASY(500),ASZ(500),AKX(500),AKY(500),AKZ(500),
2DR(500),DG(500),
3USX(500),USY(500),USZ(500),UKX(500),UKY(500),USZ(500)
COMMON/YLND/YLM(81)
DIMENSION GLHS(500,9),GLH(9),FBLN(500,9),BDOTS(500),LRG(500),
1SR(81),CXPRDK(500),SUMR(81),SUMG(81)
100 FORMAT(1H ,9(1PE13.5))
```

```

101 FORMAT(1H ,///)
102 FORMAT(1H0,10X,'Q0 DIAGONAL BLOCK',/)
103 FORMAT(1H ,10(1PE11.3))
104 FORMAT(1H0,10X,'Q0 Q OFF DIAGONAL BLOCK , QP,Q =',PI5,/)
105 FORMAT(1H0,25X,'CONVERGENCE TEST')
106 FORMAT(1H0,'RECIPROCAL SPACE SUMS',/)
107 FORMAT(1H0,'REAL SPACE SUMS',/)

```

C
C
C

Q0 DIAGONAL BLOCKS

```

PKX=PKXP
PKY=PKYP
PKZ=PKZP
CXPRDK(1)=DCMPLX(1.000,0.000)
DO 22 I=2,NR0
DRI=DR(I)
USX(I)=ASX(I)/DRI
USY(I)=ASY(I)/DRI
USZ(I)=ASZ(I)/DRI
PDR=PKX*ASX(I)+PKY*ASY(I)+PKZ*ASZ(I)
CXPRDK(I)=CDEXP(PDR*CI)
ALFA=ALAMDA*DRI

```

C
C
C

CONVERGENCE FUNCTION, REAL SPACE

```

CALL GAMFC(ALFA,GLH)
DO 25 LP=1,NL2
25 GLHS(I,LP)=GLH(LP)
22 CONTINUE

```

C

```

TWOLAM=2.*ALAMDA
DO 35 I=NGST,NUMVG
X=AKX(I)+PKX
Y=AKY(I)+PKY
Z=AKZ(I)+PKZ
D=DSQRT(X*X+Y*Y+Z*Z)
IF(D.GT.GMAX) GO TO 35
BETA=D/TWOLAM
BETASQ=BETA*BETA
UKX(I)=X/D
UKY(I)=Y/D
UKZ(I)=Z/D

```

C
C
C

CONVERGENCE FUNCTION, RECIP. SPACE

```

DO 33 LP=1,NL2
L=LP-1
33 FBLN(I,LP)=BETA**(L-2)/EXP(BETASQ)
35 DG(I)=D

```

C
C
C

EVALUATION OF LATTICE SUMS FOR QPP .EQ. 0

```

DO 44 KLM=1,KLM0
SUMR(KLM)=DCMPLX(0.000,0.000)
44 SUMG(KLM)=DCMPLX(0.000,0.000)

```

C
C
C

REAL SPACE

```

DO 26 I=2,NR0
CALL YLMPK(USX(I),USY(I),USZ(I),NL2)
KLM=0
DO 26 LP=1,NL2
L=LP-1
N4=L*2+1
DO 26 M=1,N4

```

```

      KLM=KLM+1
26  SUMR(KLM)=SUMR(KLM)+GLHS(I,LP)*YLI(KLI)*CXPLD(LI)
C
C
C
      RECIPI. SPACE
      DO 34 I=NGST,NUMVG
      IF(DG(I).GT.GMAX) GO TO 34
      CALL YLMRK(UKX(I),UKY(I),UKZ(I),HL2)
      KLM=0
      DO 28 LP=1,HL2
      L=LP-1
      NM=L*2+1
      DO 28 M=1,NM
      KLM=KLM+1
28  SUMG(KLM)=SUMG(KLM)+FBLN(I,LP)*YLI(KLI)
34  CONTINUE
C
C
C
      SET UP STRUCTURE CONSTANT MATRIX FROM LATTICE SPMS
      CIL=CIM
      KLM=0
      DO 51 LP=1,HL2
      L=LP-1
      NM=L*2+1
      CIL=CIL*CCIM
      AR=SWSL**LP*2.**L/DAC(LP)/SQRTPI
      AG=FPL30M*AR
      DO 45 M=1,NM
      KLM=KLM+1
45  SR(KLM)=AR*SUMR(KLM)*CIL+AG*SUMG(KLM)
51  CONTINUE
      SR(1)=SR(1)-2.0*SWSL/SQRTPI-BACKGR
C
C
C
      INSERT INTO LOWER TRIANGLE
      J1=-IDIM
      J2=-IDIMC
      DO 27 JLM=1,NLM
      J2=J2+IDIMC
      J1=J1+IDIM
      L=LL(JLM)
      M=MM(JLM)
      DO 27 ILM=JLM,NLM
      LIN=J1+ILM
      LINC=J2+ILM
      LPP=L+LL(ILM)
      MPP=MM(ILM)-M
      KLM=LPP*LPP+LPP+MPP+1
      SRC=SR(KLM)*C(LINC)
      SRKLP(LIN)=DREAL(SRC)
      SIKLP(LIN)=DIMAG(SRC)
27  CONTINUE
C
C
C
      IF(ICNVRG.EQ.0) GO TO 58
C
C
C
      PRINT INDIVIDUAL CONTRIBUTIONS TO THE LATTICE SPMS. USED
      FOR TEST OF THE CHOICE OF SPLITTING PARAMETER <LAMBDA>
      WRITE(6,105)
      KLM=0
      DO 59 LP=1,HL2
      NM=LP*2-1
      AR=SWSL**LP*2.**(LP-1)/DAC(LP)/SQRTPI
      AG=FPL30M*AR/DAC(LP)
      DO 59 M=1,NM

```

```

KLM=KLM+1
SUMR(KLM)=SUMR(KLM)*AR
59 SUMG(KLM)=SUMG(KLM)*AG
WRITE(6,107)
WRITE(6,103) (SUMR(K),K=1,KLM)
WRITE(6,106)
WRITE(6,103) (SUMG(K),K=1,KLM)
58 IF(NOWRT.NE.2) GO TO 30

C
C
C PRINT STRUCTURE CONSTANT MATRIX

WRITE(6,102)
I1=-IDIM
DO 42 ILM=1,NLM
I1=I1+IDIM
I2=I1+ILM
42 WRITE(6,100) (SRKLP(LIN),LIN=ILM,I2,IDIM)
WRITE(6,101)
I1=-IDIM
DO 43 ILM=1,NLM
I1=I1+IDIM
I2=I1+ILM
43 WRITE(6,100) (SIKLP(LIN),LIN=ILM,I2,IDIM)
WRITE(6,101)

C
30 CONTINUE
IF(NQ.EQ.1) RETURN

C
C
C REPEAT FIRST DIAGONAL BLOCK

JQQ=0
DO 24 JQ=2,NQ
JQQ=JQQ+(1+IDIM)*NLM
J1=-IDIM
DO 24 JLM=1,NLM
J1=J1+IDIM
DO 24 ILM=JLM,NLM
LIN=J1+ILM
LING=JQQ+LIN
SRKLP(LING)=SRKLP(LIN)
24 SIKLP(LING)=SIKLP(LIN)
NROP=NRO+1

C
DO 29 I=NROP,NUMVR
PRD=PKX*ASX(I)+PKY*ASY(I)+PKZ*ASZ(I)
29 CXPRDK(I)=CDEXP(CIM*PRD)

C
C
C QQP OFF DIAGONAL BLOCKS

NQM=NQ-1
JQQ=-NLM*IDIM
DO 20 JQ=1,NQM
JQP=JQ+1
JQQ=JQQ+NLM*IDIM
QPX=QX(JQ)
QPY=QY(JQ)
QPZ=QZ(JQ)
DO 20 IQ=JQP,NQ
IUQ=(IQ-1)*NLM+JQQ
QPPX=QX(IQ)-QPX
QPPY=QY(IQ)-QPY
QPPZ=QZ(IQ)-QPZ
DO 36 I=1,NUMVR
X=ASX(I)-QPPX
Y=ASY(I)-QPPY

```

```

Z=ASZ(I)-UPPZ
D=DSQRT(X*X+Y*Y+Z*Z)
DRQ(I)=D
IF(D.GT.RMAX) GO TO 36
ALFA=ALAMDA*D
USX(I)=X/D
USY(I)=Y/D
USZ(I)=Z/D
C
C
C   CONVERGENCE FUNCTION, REAL SPACE
C
CALL GAMFC(ALFA,GLH)
DO 37 LP=1,NL2
37 GLHS(I,LP)=GLH(LP)
36 CONTINUE
C
DO 38 I=NGST,NUMVG
D=DG(I)
IF(D.GT.GMAX) GO TO 38
BDOTQ(I)=(UKX(I)*QPPX+UKY(I)*QPPY+UKZ(I)*QPPZ)*D
BETA=D/TWOLAM
BETASQ=BETA*BETA
C
C
C   CONVERGENCE FUNCTION, RECIP. SPACE
C
DO 39 LP=1,NL2
L=LP-1
39 FBLN(I,LP)=BETA**(L-2)/EXP(BETASQ)
38 CONTINUE
C
C
C   EVALUATION OF LATTICE SUMS FOR QPP .NE. 0
C
DO 46 KLM=1,KLM0
SUMR(KLM)=DCMPLX(0.000,0.000)
46 SUMG(KLM)=DCMPLX(0.000,0.000)
C
C
C   REAL SPACE
C
DO 40 I=1,NUMVR
IF(DRQ(I).GT.RMAX) GO TO 40
CALL YLMRK(USX(I),USY(I),USZ(I),NL2)
KLM=0
DO 21 IP=1,NL2
L=LP-1
NM=L*2+1
DO 21 M=1,NM
KLM=KLM+1
21 SUMR(KLM)=SUMR(KLM)+GLHS(I,LP)*YLM(KLM)*CKPPR(I)
40 CONTINUE
C
C
C   RECIP. SPACE
C
DO 41 I=NGST,NUMVG
IF(DG(I).GT.GMAX) GO TO 41
CALL YLMRK(UKX(I),UKY(I),UKZ(I),NL2)
KLM=0
DO 47 LP=1,NL2
L=LP-1
NM=L*2+1
DO 47 M=1,NM
KLM=KLM+1
47 SUMG(KLM)=SUMG(KLM)+FBLN(I,LP)*YLM(KLM)*C1*EXP(C1*ALFA*DT(I))
41 CONTINUE
C
C
C   SET UP STRUCTURE CONSTANT MATRIX FROM THE LATTICE SUMS

```

C

```
CIL=CIM
KLM=0
DO 56 LP=1,NL2
L=LP-1
NM=L*2+1
CIL=CIL*CCIM
AR=SWSL**LP*2.**L/DAC(LP)/SQRTPI
AG=FPL30M*AR
DO 48 M=1,NM
KLM=KLM+1
48 SR(KLM)=AR*SUMR(KLM)*CIL+AG*SUNG(KLM)
56 CONTINUE
SR(1)=SR(1)-BACKGR
```

C

C

C

INSERT INTO LOWER TRIANGLE

```
J1=-IDIM
J2=-IDIMC
DO 23 JLM=1,NLM
J1=J1+IDIM
J2=J2+IDIMC
L=LL(JLM)
M=MM(JLM)
DO 23 ILM=1,NLM
LIN=J1+ILM
LINC=J2+ILM
LINQ=IQQ+LIN
LPP=L+LL(ILM)
MPP=MM(ILM)-M
KLM=LPP*LPP+LPP+MPP+1
SRC=SR(KLM)*C(LINC)
SRKLP(LINQ)=DREAL(SRC)
23 SIKLP(LINQ)=DIMAG(SRC)
```

C

IF(ICNVRG.EQ.0) GO TO 60

C

C

C

TEST OF SPLITTING PARAMETERS

```
KLM=0
DO 61 LP=1,NL2
NM=LP*2-1
AR=SWSL**LP*2.**(LP-1)/DAC(LP)/SQRTPI
AG=FPL30M*AR
DO 61 M=1,NM
KLM=KLM+1
SUMR(KLM)=SUMR(KLM)*AR
61 SUNG(KLM)=SUNG(KLM)*AG
WRITE(6,107)
WRITE(6,103) (SUMR(K),K=1,KLM)
WRITE(6,106)
WRITE(6,103) (SUNG(K),K=1,KLM)
60 IF(NOWRT.NE.2) GO TO 20
```

C

C

C

PRINT STRUCTURE CONSTANT MATRIX

```
WRITE(6,104) IQ,JQ
DO 31 ILM=1,NLM
J1=IQQ+ILM
J2=J1+(NLM-1)*IDIM
31 WRITE(6,100) (SRKLP(LINQ),LINQ=J1,J2,1010)
WRITE(6,101)
DO 32 ILM=1,NLM
J1=IQQ+ILM
J2=J1+(NLM-1)*IDIM
```



```

32 WRITE(6,100) (SIKLP(LIND),LIND=J1,J2,101)
20 CONTINUE
RETURN
END
SUBROUTINE CROSS(AX,AY,AZ,BX,BY,BZ,CX,CY,CZ)
C *****
C *
C *   CROSS PRODUCT (CX,CY,CZ)=(AX,AY,AZ)*(BX,BY,BZ)
C *
C *****
C   IMPLICIT REAL*8 (A-H,O-Z)
C
C   CX=AY*BZ-BY*AZ
C   CY=BX*AZ-AX*BZ
C   CZ=AX*BY-BX*AY
C   RETURN
C   END
SUBROUTINE FACTOR(N)
C *****
C *
C *   CALCULATION OF FACTORIALS
C *
C *   FAC(N)=1*2*3*...*(N-1)
C *
C *   DAC(N)=1*1*3*5*...*(2*(N-1)-1)
C *
C *****
C   IMPLICIT REAL*8 (A-H,O-Z)
C   COMPLEX*16 CIM,CCIM
C   COMMON/B1/CIM,CCIM,C(25,25),FAC(17),DAC(17),SURTPI,FACECR,
C   1ALANDA,TWOPI,FPL30M,SWS,VOL,SWSL,PMAX,GMAX,ICMVG,POST,
C   2NUMVR,NUMVG,NQ,NR0,NL2,KLM0,NL,NLH,LMQ,ROBT,IB14,IB10
C
C   NP=N+1
C   FAC(1)=1.D0
C   FAC(2)=1.D0
C   DO 10 I=3,NP
10  FAC(I)=FAC(I-1)*(I-1)
C   DAC(1)=1.D0
C   DAC(2)=1.D0
C   DO 11 I=3,NP
11  DAC(I)=DAC(I-1)*(2*I-3)
C   RETURN
C   END
SUBROUTINE GAMFC(ALPHA,GLH)
C *****
C *
C *   CALCULATION OF CONVERGENCE FUNCTIONS
C *
C *   GLH = GAMMA(ALPHA**2,L+1/2)/ALPHA**(L+1)
C *
C *****
C   IMPLICIT REAL*8 (A-H,O-Z)
C   COMPLEX*16 CIM,CCIM
C   COMMON/B1/CIM,CCIM,C(25,25),FAC(17),DAC(17),SURTPI,FACECR,
C   1ALANDA,TWOPI,FPL30M,SWS,VOL,SWSL,PMAX,GMAX,ICMVG,POST,
C   2NUMVR,NUMVG,NQ,NR0,NL2,KLM0,NL,NLH,LMQ,ROBT,IB14,IB10
C   DIMENSION GLH(9)
C
C   DEL=ALPHA
C   ARG=ALPHA*ALPHA
C   GLH(1)=ERFCX(ALPHA,FEX)
C   FACL=0.5
C
C   INCOMPLETE GAMMA FUNCTION BY RECURSION

```

```

C
DO 20 LP=2,NL2
GLH(LP)=DEL+FACL*GLH(LP-1)
DEL=DEL*ARG
20 FACL=FACL+1.0
FLX=1./FEX
AINV=1.0/ALPHA
DO 21 LP=1,NL2
FEX=FEX*AINV
21 GLH(LP)=GLH(LP)*FEX
RETURN
END
SUBROUTINE YLHRR(XX,YY,ZZ,NLMAX)
*****
*
*   CALCULATES SPHERICAL HARMONICS
*   YLM=(DSQRT(4PI)/CYLM)*COMPLEX CONJUGATE(YL)
*   CYLM IS CALCULATED IN <GAUNT>
*
*****
IMPLICIT REAL*8(A-H,O-Z)
COMPLEX*16 YLM,DCMPLX,CIM,CCIM
COMMON/D1/CIM,CCIM,CC(25,25),FAC(17),DAC(17),S1MPI1,BAEFGH,
1ALANDA,TWUPI,FPL3OM,SWS,VOL,SJSL,RHAX,GMAX,ICMVG,FCST,
2NUMVR,NUMVG,NU,NRO,NL2,KLMO,NL,NLM,LMO,ROBT,ICM,ICMC
COMMON/YLMD/YLM(81)
COMMON/LDATA/LL(81),MM(81)
DIMENSION PLM(45),COSMP(9),SIRMP(9)

C
C   CALCULATE LEGENDRE POLYNOMIALS BY RECURSION
C
NLP=NLMAX
P=DSQRT(XX*XX+YY*YY)
X=ZZ
Y=P
XA=DABS(X)
IF(XA.GT.1.0-06) GO TO 10

C
C   DABS(X) = 0
C
DO 11 LP=1,NLP
L=LP-1
LA=L*(L+1)/2+1
TA=2.0**L
DO 11 MP=1,LP
M=MP-1
K=L+M
IF(K-2*(K/2).EQ.0) GO TO 12
J=LA+M
PLM(J)=0.00
GO TO 11
12 IA=K+1
IB=K/2+1
JC=(L-M)/2
IC=JC+1
J=LA+M
PLM(J)=((-1)**JC)*FAC(IA)/(TA*FAC(IB)*FAC(IC))
11 CONTINUE
GO TO 32
10 IF(XA.LT.0.9999990) GO TO 20

C
C   DABS(X) = 1
C
PLM(1)=1.00

```

```

DO 13 LP=3,NLP
L=LP-1
J=L*(L+1)/2+1
L2=2*L-1
K=J-L
M=J-L2
13 PLM(J)=(L2*X*PLM(K)-(L-1)*PLM(M))/L
DO 14 LP=2,NLP
L=LP-1
LA=L*(L+1)/2
DO 14 MP=2,LP
J=LA+MP
14 PLM(J)=0.00
GO TO 32

```

C
C
C

```

0 < DABS(X) < 1
20 PLM(1)=1.00
PLM(2)=X
PLM(3)=Y
PLM(5)=3.00*Y*X
DO 21 LP=3,NLP
L=LP-1
J=L*(L+1)/2+1
L2=2*L-1
K=J-L
M=J-L2
21 PLM(J)=(L2*X*PLM(K)-(L-1)*PLM(M))/L
DO 22 LP=4,NLP
L=LP-1
J=L*(L+1)/2+2
L2=2*L-1
K=J-L
M=J-L2
22 PLM(J)=(L2*X*PLM(K)-L*PLM(M))/(L-1)
DO 23 LP=3,NLP
L=LP-1
NM=L*2+1
LA=L*(L+1)/2
DO 23 MP=3,LP
M=MP-1
J=LA+MP
K=J-1
N=K-1
A=(M-1)*2.00*X/Y
B=(L+M-1)*(L-M+2)
23 PLM(J)=A*PLM(K)-B*PLM(N)
32 CONTINUE

```

C
C
C

```

FORM SPHERICAL HARMONICS
IF(P.GT.1.D-06) GO TO 34
COSPHI=1.00
SINPHI=0.00
GO TO 35
34 COSPHI=XX/P
SINPHI=YY/P
35 COSMP(1)=1.00
SINMP(1)=0.00
DO 33 MP=2,NLP
COSMP(MP)=COSMP(MP-1)*COSPHI-SINMP(MP-1)*SINPHI
33 SINMP(MP)=SINMP(MP-1)*COSPHI+COSMP(MP-1)*SINPHI
KLM=0
DO 36 LP=1,NLP
L=LP-1

```

```

NM=L*2+1
DO 36 MP=1,NM
KLM=KLM+1
M=MM(KLM)
MA=IABS(M)+1
MB=MA-1
LB=L*(L+1)/2+MA
IF(M.LE.0) GO TO 37
YLM(KLM)=PLI(LB)*DCMPLX(COSIP(MA),-SINIP(MA))
GO TO 36
37 YLM(KLM)=PLI(LB)*DCMPLX(COSIP(MA),SINIP(MA))
36 CONTINUE
RETURN
END
SUBROUTINE GAUNT

```

```

C *****
C *
C *   CALCULATION OF GAUNT COEFFICIENTS
C *
C *****
C   IMPLICIT REAL*8(A-H,O-Z)
C   COMPLEX*16 CII,CCII
C   COMMON/B1/CII,CCII,CC(25,25),FAC(17),DAG(17),SINTPI,BAC(66),
C   1ALANDA,TWOPI,FPL30M,SWS,VUL,SWSL,RMAX,GMAX,ICVFG,IGST,
C   2NUMVR,NUMVG,NC,NRO,NL2,KLMO,NL,BLH,LRC,QUART,ILH,LOTC
C   COMMON/LDATA/LL(81),MM(81)
C   DIMENSION CYLM(45)
C
C   IDIMC=25
C
C   CYLM = (-1)**M*DSQRT((2L+1)(L-1)!/(L+1)!)
C
C   DO 20 LP=1,ML2
C     L=LP-1
C     LA=L*(L+1)/2
C     NM=L*2+1
C     DO 20 MP=1,LP
C       M=MP-1
C       L1=L-M+1
C       L2=L+MP
C       KLM=LA+MP
C       ARG=NM*FAC(L1)/FAC(L2)
20  CYLM(KLM)=DSORT(ARG)*(-1)**M
C
C   CALCULATE CYLM*GAUNT COEFFICIENTS
C
C   DO 21 ILM=1,MLM
C     LP=LL(ILM)
C     MP=MM(ILM)
C     DO 21 JLM=1,MLM
C       L=LL(JLM)
C       M=MM(JLM)
C       LPP=LP+L
C       MPP=MP-M
C       MPPA=IABS(MPP)
C       KLM=LPP*(LPP+1)/2+MPPA+1
C
C   SIGN OF YLM FOR M .LT. 0
C
C   ISIGN=1
C   IF(MPP.LT.0) ISIGN=(-1)**MPPA
C   LPM=LPP+MPP+1
C   LIM=LPP-MPP+1
C   LMIP=LP+MP+1
C   LMIM=LP-MP+1

```

```

LN2P=L+B+1
LN2M=L-B+1
SETN=FAC(LPN)*FAC(LIN)
SETD=FAC(LP1P)*FAC(LM1M)*FAC(LN2P)*FAC(LN2M)
SET3=(2*LP+1)*(2*L+1)
SET4=(2*LP+1)
SETF=SET3*SETN/SET4/SLID
21 CC(ILM,JLM)=((-1)**(B+1))*SIGN*CYL*(LN2)*PSQRT(SETF)*2.000
RETURN
END
SUBROUTINE MADL

```

```

C *****
C *
C *   CALCULATES MODELING CONSTANTS
C *
C *****
C   IMPLICIT REAL*8 (A-H,O-Z)
C   COMPLEX*16 C1M,CC1M
C   COMMON/B1/C1M,CC1M,C(25,25),FAC(17),DAG(17),SERIPI,ALANDA,
1ALANDA,TWOPI,FPL3DH,SWS,VOL,SWSI,RMAX,STAX,ICNVG,ICSI,
2NUMVR,NUMVG,NQ,NR0,CL2,KLM0,RL,RLP,L4N,ROK1,IDLH,IDLH
C   COMMON/VEC/BSX(3),BSY(3),BSZ(3),BKX(3),BKY(3),BKZ(3),CX(6),CY(6),
1QZ(6),ASX(500),ASY(500),ASZ(500),AKX(500),AKY(500),AKZ(500),
2DR(500),DG(500),
3USX(500),USY(500),USZ(500),UKX(500),UKY(500),UKZ(500)
C   DIMENSION VMADL(6,6)
C
C   1 FORMAT(1H ,10X,'AMADL =',F10.8,/)
C   2 FORMAT(1H ,10X,6F12.8)
C   ALAMSG=ALANDA*ALANDA
C   FACTOR=TWOPI/VOL/ALAMSG/2.
C
C   QPP .EQ. 0
C
C   SUMG=0.
C   DO 20 I=2,NUMVG
C   DGSQ=DG(I)**2
C   BETASQ=DGSQ/4./ALAMSG
C   SUMG=SUMG+EXP(-BETASQ)/BETASQ
20 CONTINUE
C
C   AMADL=FACTOR*(1.-SUMG)
C
C   SUMR=0.
C   DO 21 I=2,NR0
C   DRI=DR(I)
C   ALPHA=ALANDA*DRI
C   ERFC=ERFCX(ALPHA,EXPSQ)
C   ERFC=ERFC/EXPSQ/SQRTPI
C   IF(ALPHA.GE.10.0D00) ERFC=0.0D00
C   SUMR=SUMR+ERFC/DRI
21 CONTINUE
C
C   AMADL=AMADL+2.*ALANDA/SQRTPI-SUMR
C   DO 22 JQ=1,NQ
22 VMADL(IQ,IQ)=AMADL*SWS*2.
C   IF(NQ.EQ.1) GO TO 26
C
C   QPP .NE. 0
C
C   NQM=NQ-1
C   DO 23 JQ=1,NQM
C   JQP=JQ+1
C   QPX=QX(JQ)
C   QPY=QY(JQ)

```

```

QPZ=QZ(JQ)
DO 23 IQ=JQP,NQ
QPPX=QX(IQ)-QPX
QPPY=QY(IQ)-QPY
QPPZ=QZ(IQ)-QPZ
SUMC=0.
DO 24 I=2,NUMVC
DGSQ=DG(I)**2
GDOTQ=AKX(I)*QPPX+AKY(I)*QPPY+AKZ(I)*QPPZ
BETASQ=DGSQ/4./ALAMSO
SUMC=SUMC+EXP(-BETASQ)/BETASQ*CGS(CDOTI)
24 CONTINUE
C
AMADL=FACTOR*(1.-SUMC)
C
SUMR=0.
DO 25 I=1,NUMVR
X=ASX(I)-QPPX
Y=ASY(I)-QPPY
Z=ASZ(I)-QPPZ
DRI=DSQRT(X*X+Y*Y+Z*Z)
IF(DRI.GT.RMAX) GO TO 25
ALPHA=ALAMDA*DRI
ERFC=ERFCX(ALPHA,EXPSQ)
ERFC=ERFC/EXPSQ/SQRTPI
IF(ALPHA.GE.9.9D00) ERFC=0.000
SUMR=SUMR+ERFC/DRI
25 CONTINUE
AMADL=AMADL-SUMR
VMADL(IQ,JQ)=AMADL*SBS*2.
23 CONTINUE
C
26 AMADL=0.
DO 27 IQ=1,NQ
27 AMADL=AMADL+VMADL(IQ,1)/2.
WRITE(6,1) AMADL
DO 28 IQ=1,NQ
28 WRITE(6,2) (VMADL(IQ,JQ),JQ=1,IQ)
RETURN
END
FUNCTION ERFCX(Z,EXZZ)
*****
*
* CALCULATES COMPLEMENTARY ERRORFUNCTION. TIMES
* DSQRT(PI) TIMES EXP(Z*Z)
*
*****
IMPLICIT REAL*8 (A-H,I-Z)
COMPLEX*16 CII,CCII
COMMON/B1/CI4,CCII,C(25,25),FAC(17),DAC(17),SUPTPI,BACKUP,
1ALAMDA,TWOPI,FPL30M,SBS,VOL,SESL,RMAX,GMAX,ICNVG,POST,
2NUMVR,NUMVG,NQ,NR0,NL2,KLN0,NL,NLN,LOG,POURT,ISIE,IBIT
DATA BOUND/3.E-11/
ZZ=Z*Z
CC IF(ZZ.GE.98.D00) GO TO 7342
EXZZ=EXP(ZZ)
CC GO TO 7343
CC 7342 CONTINUE
CC EXZZ=10.000
CC 7343 CONTINUE
C
C CHOOSE ALGORITHM
C
C IF(Z.LT.1.5) GO TO 100
C

```

C CONTINUED FRACTION EXPANSION : ABRAMOWITZ P. 290, 291. (7.1.14)

C

U=1.0000
V=0.0000
X=Z
Y=1.0000
Q=0.5000
F=(U+V*Q)/(X+Y*Q)

1 UA=U
U=U*Z+V*Q
V=UA
XA=X
X=X*Z+Y*Q
Y=XA
Q=Q+0.5
FA=F
F=(U+V*Q)/(X+Y*Q)
IF(DABS(FA-F).GT.BOUND*F) GO TO 1
ERFCEX=F
RETURN

100 ZZ=2.0*ZZ
ERF1=Z
RATIO=1.0
TERM=Z
2 RATIO=RATIO+2.0
TERM=TERM*ZZ/RATIO
ERF1=ERF1+TERM
IF(TERM.GT.BOUND) GO TO 2
ERFCEX=SQRTPI*EXZZ-2.0*ERF1
RETURN
END

SUBROUTINE PRIMV(LAT,IPRIM)

C *****
C *
C * CONSTRUCT PRIMITIVE TRANSLATIONAL VECTORS OF 3D LATTICE
C * FROM THE CRYSTALLOGRAPHIC DATA : A,B,C,ALPHA,BETA,GAMMA
C * IF IPRIM = 0 : READ PRIMITIVE VECTORS
C *
C *****

C IMPLICIT REAL*8 (A-H,O-Z)
C COMMON/MSH/MSX,MSY,MSZ,MSX(3),MSY(3),MSZ(3),MSX(6),MSY(6),MSZ(6),
C 1TKZ(3),KX(2500),KY(2500),KZ(2500),I(2500)
C COMMON/VFC/VSX(3),VSY(3),VSZ(3),VFX(3),VFY(3),VFZ(3),VA(6),VB(6),
C 1VZ(6),ASX(500),ASY(500),ASZ(500),AKX(500),AKY(500),AKZ(500),
C 2DK(500),DG(500),
C 3USX(500),USY(500),USZ(500),UKX(500),UKY(500),UKZ(500)
1 FORMAT(' THIS PART OF PRIMV NOT OPERATIONAL FOR LAT =',I4)
102 FORMAT(15,2E15.8)
103 FORMAT(3F10.6)
104 FORMAT(3E15.7)
105 FORMAT('0',10X,'A,B,C',3F10.6,'/',11X,'ALPHA,BETA,GAMMA',3F5.4,')

C

IF(IPRIM.EQ.0) GO TO 24

C

CONSTRUCT PRIMITIVE VECTORS FROM A,B,C,ALPHA,BETA,GAMMA

C

PI=4.*DTAN(1.000)

RADF=PI/180.

CC

READ(5,2)LAT

READ(5,'(4X,12)') LAT

READ(5,103) A,B,C

READ(5,103) ALPHA,BETA,GAMMA

WRITE(6,105) A,B,C,ALPHA,BETA,GAMMA

BOA=B/A

COA=C/A

ALF=ALPHA*RADE
BET=BETA*RADE
GAM=GAMMA*RADE
GO TO (99,2,3,4,99,99,16,99,99,99,99,99,22,99) LAB

C
C
C

FACE CENTERED CUBIC

2 BSX(1)=0.5000
BSY(1)=0.5000
BSZ(1)=0.000
BSX(2)=0.000
BSY(2)=0.5000
BSZ(2)=0.5000
BSX(3)=0.5000
BSY(3)=0.000
BSZ(3)=0.000
RETURN

C
C
C

BODY CENTERED CUBIC

3 BSX(1)=0.5000
BSY(1)=0.5000
BSZ(1)=-0.5000
BSX(2)=-0.5000
BSY(2)=0.5000
BSZ(2)=0.5000
BSX(3)=0.5000
BSY(3)=-0.5000
BSZ(3)=0.5000
RETURN

C
C
C

HEXAGONAL

4 BSX(1)=1.000
BSY(1)=0.000
BSZ(1)=0.000
BSX(2)=-0.5000
BSY(2)=DSQRT(3.000)/2.000
BSZ(2)=0.000
BSX(3)=0.000
BSY(3)=0.000
BSZ(3)=COA
RETURN

C
C
C

TRIGONAL

16 BSX(1)=0.000
BSY(1)=1.000
BSZ(1)=COA
BSX(2)=-DSQRT(3.000)/2.
BSY(2)=-0.5000
BSZ(2)=COA
BSX(3)=DSQRT(3.000)/2.
BSY(3)=-0.5000
BSZ(3)=COA
RETURN

C
C
C

BASE CENTRED MONOCLINIC

22 BSX(1)=0.000
BSY(1)=-B/A
BSZ(1)=0.000
BSX(2)=0.5*DSIN(GAM)
BSY(2)=-0.5*DCOS(GAM)
BSZ(2)=-0.5*COA


```
NPYM=NPY-1
NPZM=NPZ-1
GO TO (10,11,12,13,14,15,16,17,18,19,20,21,22,23),111
10 NP=0
```

C
C
C
C

```
SIMPLE CUBIC IRREDUCIBLE ZONE DEFINED BY
0 .LE. KZ .LE. KX .LE. KY .LE. P1/A
```

```
DKX=1.00/NPYM
DKY=DKX
DKZ=DKX
DHX=0.00
DO 30 J=1,NPY
Y=J-1
DO 30 I=1,J
X=I-1
DO 30 K=1,I
Z=K-1
NP=NP+1
IF(NP.GT.NDIM) GO TO 999
KX(NP)=X
KY(NP)=Y
KZ(NP)=Z
W=48.00
IF(X.EQ.Y.OR.X.EQ.Z.OR.Y.EQ.Z) W=W/2.00
IF(X.EQ.Y.AND.Y.EQ.Z) W=W/3.00
IF(Z.EQ.0) W=W/2.00
IF(X.EQ.0) W=W/2.00
IF(X.EQ.NPYM) W=W/2.00
IF(Y.EQ.NPYM) W=W/2.00
IF(X+Y+Z.EQ.3*NPYM) W=1.00
IF(X+Y+Z.EQ.0) W=1.00
NW(NP)=W
30 CONTINUE
NPT=NP
RETURN
11 NP=0
```

C
C
C
C
C

```
FCC IRREDUCIBLE ZONE DEFINED BY
0 .LE. KZ .LE. KX .LE. KY .LE. 2PI/A
KX + KY + KZ .LE. 3PI/A
```

```
IF(NPYM.NE.4*(NPYM/4)) GO TO 996
DKX=2.00/NPYM
DKY=DKX
DKZ=DKX
DHX=0.00
NPPX=NPY
NPH=NPY/2+1
NPTH=(NPYM/2)*3
DO 31 I=1,NPPX
Y=I-1
M1=NPPX-I+NPH
NQY=MIN0(I,M1)
DO 31 J=1,NQY
X=J-1
M5=M1-J+1
NPPZ=MIN0(J,M5)
DO 31 K=1,NPPZ
Z=K-1
NP=NP+1
IF(NP.GT.NDIM) GO TO 999
KX(NP)=X
KY(NP)=Y
KZ(NP)=Z
```

```

W=48.D0
IF(X.EQ.Y.OR.X.EQ.Z.OR.Y.EQ.Z) W=W/2.D0
IF(X.EQ.Y.AND.Y.EQ.Z) W=W/3.D0
IF(Z.EQ.0) W=W/2.D0
IF(X.EQ.0) W=W/2.D0
IF(Y.EQ.NPYM) W=W/2.D0
IF(X+Y+Z.EQ.NPTH) W=W/2.D0
IF(X+Y+Z.EQ.0) W=1.D0
WW(NP)=W
31 CONTINUE
NPT=NP
RETURN
12 NP=0

```

C
C
C
C
C

```

C C C C C
C   BCC IRREDUCIBLE ZONE DEFINED BY
C   0 .LE. KZ .LE. KY .LE. KX .LE. 2PI/A
C   KX + KY .LE. 2PI/A

```

```

IF(NPYM.NE.2*(NPYM/2)) GO TO 998
DKX=2.D0/NPYM
DKY=DKX
DKZ=DKX
DHX=0.D0
NPH=NPY/2+1
NPYH=NPYM/2
DO 32 I=1,NPY
X=I-1
JM=MIN0(I,NPY-I+1)
DO 32 J=1,JM
Y=J-1
DO 32 K=1,J
Z=K-1
NP=NP+1
IF(NP.GT.NDIM) GO TO 999
KX(NP)=X
KY(NP)=Y
KZ(NP)=Z
W=48.D0
IF(X.EQ.Y.OR.X.EQ.Z.OR.Y.EQ.Z) W=W/2.D0
IF(X.EQ.Y.AND.Y.EQ.Z) W=W/3.D0
IF(Z.EQ.0) W=W/2.D0
IF(Y.EQ.0) W=W/2.D0
IF(X+Y.EQ.NPYM) W=W/2.D0
IF(Y.EQ.Z.AND.X+Y.EQ.NPYM) W=3.D0
IF(Z.EQ.NPYM) W=2.D0
IF(X.EQ.NPYM) W=1.D0
IF(X+Y+Z.EQ.0) W=1.D0
WW(NP)=W
32 CONTINUE
NPT=NP
RETURN
13 NP=0

```

C
C
C
C
C

```

C C C C C
C   HEXAGONAL CLOSE PACKED IRREDUCIBLE ZONE DEFINED BY
C   0 .LE. 2KY .LE. KX .LE. 4/3 PI/A
C   0 .LE. KZ .LE. A/C PI/A

```

```

IF(NPYM.NE.2*(NPYM/2)) GO TO 998
NPYH=NPYM/2
NPH=NPY/2+1
NPZH=NPZ-1
AOC=1.D0/COA
DKX=4.D0/3.D0/NPYM
DKY=DSQRT(3.D0)/2.D0*DKX
DKZ=AOC/NPZH

```

```

DHX=-0.500*DKX
DO 33 K=1, NPZ
Z=K-1
DO 33 J=1, NPY
Y=J-1
IM=2*Y+1
DO 33 I=IM, NPX
X=I-1
NP=NP+1
IF (NP.GT.NDIM) GO TO 999
KX(NP)=X
KY(NP)=Y
KZ(NP)=Z
W=24.D0
IF (Z.EQ.0) W=W/2.D0
IF (Y.EQ.0) W=W/2.D0
IF (X.EQ.0) W=W/3.D0
IF (X.EQ.2*Y) W=W/2.D0
IF (Z.EQ.NPZM) W=W/2.D0
IF (X.EQ.NPYM.AND.Y.EQ.0) W=W/3.D0
IF (X.EQ.NPYM.AND.Y.NE.0) W=W/2.D0
IF (X+Y+Z.EQ.0) W=1.D0
IF (X+Y.EQ.0.AND.Z.EQ.NPZM) W=1.D0
WW(NP)=W
33 CONTINUE
NPT=NP
RETURN
14 NP=0

```

C
C
C
C
C

SIMPLE TETRAGONAL IRREDUCIBLE ZONE DEFINED BY
0 .LE. KY .LE. KX .LE. PI/A
0 .LE. KZ .LE. A/C PI/A

```

AOC=1.D0/COA
DKX=1.D0/NPYM
DKY=DKX
DKZ=AOC/NPZM
DHX=0.D0
DO 34 I=1, NPX
X=I-1
DO 34 J=1, NPY
Y=J-1
DO 34 K=1, NPZ
Z=K-1
NP=NP+1
IF (NP.GT.NDIM) GO TO 999
KX(NP)=X
KY(NP)=Y
KZ(NP)=Z
W=16.D0
IF (X.EQ.0) W=W/2.D0
IF (Y.EQ.0) W=W/2.D0
IF (Z.EQ.0) W=W/2.D0
IF (X.EQ.Y) W=W/2.D0
IF (X.EQ.NPYM) W=W/2.D0
IF (Y.EQ.NPYM) W=W/2.D0
IF (Z.EQ.NPZM) W=W/2.D0
WW(NP)=W
34 CONTINUE
NPT=NP
RETURN
15 NP=0

```

C
C
C

BODY CENTRED TETRAGONAL IRREDUCIBLE ZONE DEFINED BY
0 .LE. KY .LE. KX .LE. PI/A

C
C

```

0 .LE. KZ .LE. 2*A/C PI/A
IF(NPZM.NE.2*(NPZH/2)) GO TO 997
AUC=1.00/COA
DKX=1.00/NPYM
DKY=DKX
DKZ=2.00*AUC/NPZM
DHX=0.00
DO 35 I=1,NPY
X=I-1
DO 35 J=1,1
Y=J-1
DO 35 K=1,NPZ
Z=K-1
NP=NP+1
IF(NP.GT.NDIM) GO TO 999
KX(NP)=X
KY(NP)=Y
KZ(NP)=Z
W=16.00
IF(X.EQ.0) W=W/2.00
IF(Y.EQ.0) W=W/2.00
IF(Z.EQ.0) W=W/2.00
IF(X.EQ.Y) W=W/2.00
IF(X.EQ.NPYH) W=W/2.00
IF(Y.EQ.NPYH) W=W/2.00
IF(Z.EQ.NPZH) W=W/2.00
NW(NP)=W
35 CONTINUE
NPT=NP
RETURN
16 NP=0

```

C
C
C
C
C
C
C
C
C
C
C
C

```

TRIGONAL IRREDUCIBLE ZONE DEFINED BY
1) TRIGONAL PRIMITIVE TRANSLATIONS
0 .LE. 2 KY .LE. KX .LE. 4/(3 DSQRT(3)) PI/A
-A/C PI/A .LE. KZ .LE. A/C PI/A
2) HEXAGONAL PRIMITIVE TRANSLATIONS
0 .LE. 2 KY .LE. KX .LE. 4/3 PI/A
-A/C PI/A .LE. KZ .LE. A/C PI/A

```

```

IF(NPYM.NE.2*(NPYH/2)) GO TO 998
IF(NPZM.NE.2*(NPZH/2)) GO TO 997
IF(SOA.GT.0.00.AND.NPZH.NE.6*(NPZH/6)) GO TO 997
AUC=1.00/COA
NPYH=NPYM/2
NPH=NPY/2+1
NPZH=NPZM/2
NPZM=NPZ-1
DKX=4.00/3.00/NPYH
IF(SOA.GT.0.00) DKX=DKX/DSQRT(3.00)
DKY=DSQRT(3.00)/2.00*DKX
DKZ=2.00*AUC/NPZM
DHX=-0.500*DKX
DO 37 K=-NPZH, NPZH
Z=K
DO 37 J=1, NPH
Y=J-1
IM=2*Y+1
DO 37 I=IM, NPY
X=I-1
NP=NP+1
IF(NP.GT.NDIM) GO TO 999

```

```
KX(NP)=X
KY(NP)=Y
KZ(NP)=Z
W=12.00
IF(X.EQ.0) W=W/3.00
IF(Y.EQ.0) W=W/2.00
IF(Z.EQ.-NPZH) W=W/2.00
IF(X.EQ.2*Y) W=W/2.00
IF(Z.EQ.NPZH) W=W/2.00
IF(X.EQ.NPYH.AND.Y.EQ.0) W=W/3.00
IF(X.EQ.NPYH.AND.Y.NE.0) W=W/2.00
W(NP)=W
```

```
37 CONTINUE
NPT=NP
RETURN
```

C

```
17 NP=0
```

C

C

```
PRIMITIVE ORTHOROMBIC
```

C

C

```
RETURN
```

C

```
18 NP=0
```

C

C

C

C

C

C

```
BASE CENTRED ORTHOROMBIC IRREDUCIBLE ZONE DEFINED BY
0 .LE. KX .LE. PI/A
0 .LE. KY .LE. 2 PI/B
0 .LE. KZ .LE. PI/C
```

C

```
AJC=1.00/COA
DKX=1.00/NPXM
DKY=2.00/BOA/NPYH
DKZ=AJC/NPZH
DHX=0.00
DO 36 I=1,NPX
X=I-1
DO 36 J=1,NPY
Y=J-1
DO 36 K=1,NPZ
Z=K-1
NP=NP+1
IF(NP.GT.NDIM) GO TO 999
KX(NP)=X
KY(NP)=Y
KZ(NP)=Z
W=8.00
IF(X.EQ.0) W=W/2.00
IF(Y.EQ.0) W=W/2.00
IF(Z.EQ.0) W=W/2.00
IF(X.EQ.NPXM) W=W/2.00
IF(Y.EQ.NPYH) W=W/2.00
IF(Z.EQ.NPZH) W=W/2.00
W(NP)=W
```

```
36 CONTINUE
NPT=NP
RETURN
```

```
19 NP=0
```

C

C

C

```
BODY CENTRED ORTHOROMBIC
```

C

```
RETURN
```

```
20 NP=0
```

C

C

```
FACE CENTERD ORTHOROMBIC
```

```

RETURN
21 NP=0
C
C
C   SIMPLE MONOCLINIC
RETURN
22 NP=0
C
C
C   BASE CENTRED MONOCLINIC
IF (NPXH.NE.2*(NPXH/2)) GO TO 996
IF (NPYH.NE.2*(NPYH/2)) GO TO 998
NPYH=NPYH/2
TKX(1)=2./SIN(GAM)/BPA
TKY(1)=0.
TKZ(1)=0.
CC   TKX(2)=2.*COTAN(GAM)/BOA/NPYH
COTAN=1./(DTAN(GAM))
TKX(2)=2.*COTAN/BOA/NPYH
TKY(2)=2.0/BOA/NPYH
TKZ(2)=0.
TKX(3)=0.
TKY(3)=0.
TKZ(3)=2./COA/NPXM
DO 38 I=1,NPX
X=I-1
KM=1+NPX-I
DO 38 K=1,KM
Z=K-1
DO 38 J=-NPYH,NPYH
Y=J
NP=NP+1
IF (I.P.GT.NDIM) GO TO 999
KX(NP)=X
KY(NP)=Y
KZ(NP)=Z
W=4.00
IF (X.EQ.0) W=W/2.
IF (Z.EQ.0) W=W/2.
IF (X+Z.EQ.NPXM) W=W/2.
IF (Y.EQ.-NPYH) W=W/2.
IF (Y.EQ.NPYH) W=W/2.
W/(NP)=W
38 CONTINUE
NPT=NP
RETURN
23 NP=0
C
C
C   SIMPLE TRICLINIC
RETURN
996 WRITE(6,4) NPX
STOP
997 WRITE(6,3) NPZ
STOP
998 WRITE(6,2) NPY
STOP
999 WRITE(6,1) NP,NDIM
STOP
END
SUBROUTINE KTRNSF(LAT,K1,K2,K3,PKX,PKY,PKZ)
C *****
C *
C * TRANSFORMATION FROM SYMMETRY TO RECTANGULAR COORDINATES
C *

```

```

C *****
  IMPLICIT REAL*8(A-H,O-Z)
  COMMON/NSH/DKX,DKY,DKZ,DHX,DOA,COA,ALF,HFT,GAP,TKX(3),TKY(3),
  1TKZ(3),KX(2500),KY(2500),KZ(2500),H(2500)
C
  GO TO (21,21,21,21,21,21,21,21,21,21,21,21,22,21),LAT
21 PKX=DKX*K1+DHX*K2
   PKY=DKY*K2
   PKZ=DKZ*K3
   DK=PKX*PKX+PKY*PKY+PKZ*PKZ
   IF(DK.LT.1.D-08) GO TO 20
   RETURN
22 PKX=K1*TKX(1)+K2*TKX(2)+K3*TKX(3)
   PKY=K1*TKY(1)+K2*TKY(2)+K3*TKY(3)
   PKZ=K1*TKZ(1)+K2*TKZ(2)+K3*TKZ(3)
   DK=PKX*PKX+PKY*PKY+PKZ*PKZ
   IF(DK.LT.1.D-08) GO TO 20
   RETURN
C
C   AVOID (0,0,0)
C
20 PKX=0.00
   PKY=0.00
   PKZ=0.0100
   RETURN
   END

```